

ผลงานศาสตร์ของปฏิกริยาอสเตรอฟิเคลชันสำหรับไบโอดีเซลโดยใช้

ตัวเร่งปฏิกริยาฟอสฟังติก อะซิด

Kinetics of Esterification Reaction for Biodiesel Using Phosphotungstic

Acid as Catalysts

สุภาวดี เพ็งคง

Supawadee Pengkong

๑

เลขที่	TP359.85 ล/ว 4 2550 น.	2
Bib Key	200619	
	/ ๗ ๕ ๙.๑ ๔.๙/	

วิทยานิพนธ์นี้เป็นส่วนหนึ่งของการศึกษาตามหลักสูตรปริญญา

วิศวกรรมศาสตรมหาบัณฑิต สาขาวิชาเคมี

มหาวิทยาลัยสงขลานครินทร์

A Thesis Submitted in Partial Fulfillment of the Requirements for the Degree of

Master of Engineering in Chemical Engineering

Prince of Songkla University

2550

ลิขสิทธิ์ของมหาวิทยาลัยสงขลานครินทร์

(1)

ชื่อวิทยานิพนธ์ ผลงานศาสตร์ของปฏิกริยาเօสเตอโรฟิเกชันสำหรับไปโอดีเซลโดยใช้ตัวเร่งปฏิกริยาฟอสฟอทั่งสติก แอซิค

ผู้เขียน นางสาวสุภาวดี เพ็งคง
สาขาวิชา วิศวกรรมเคมี

อาจารย์ที่ปรึกษาวิทยานิพนธ์หลัก

คณะกรรมการสอบ

.....
(ผู้ช่วยศาสตราจารย์ ดร.สุกฤทธิรา รัตนวิໄโล)

.....
ประธานกรรมการ

(รองศาสตราจารย์ ดร.จรัญ บุญกาญจน์)

อาจารย์ที่ปรึกษาวิทยานิพนธ์ร่วม

.....
กรรมการ

(ผู้ช่วยศาสตราจารย์ ดร.สุกฤทธิรา รัตนวิໄโล)

.....
(รองศาสตราจารย์ ดร.ชาคริต ทองอุไร)

.....
กรรมการ

(รองศาสตราจารย์ ดร.ชาคริต ทองอุไร)

.....
(ผู้ช่วยศาสตราจารย์ ดร.พกานาด เจริญพัฒนาณฑ์) (ดร.สุธรรม สุขุมณี)

.....
กรรมการ

(รองศาสตราจารย์ ดร.กัลยา ศรีสุวรรณ)

.....
กรรมการ

(รองศาสตราจารย์ ดร.กัลยา ศรีสุวรรณ)

บันทึกวิทยาลัย มหาวิทยาลัยสงขลานครินทร์ อนุมัติให้นับวิทยานิพนธ์ฉบับนี้เป็นส่วนหนึ่งของการศึกษา ตามหลักสูตรปริญญาวิศวกรรมศาสตรมหาบัณฑิต สาขาวิชาวิศวกรรมเคมี

.....
(รองศาสตราจารย์ ดร.เกริกชัย ทองหนู)

คณบดีบันทึกวิทยาลัย

ชื่อวิทยานิพนธ์	รายงานผลศาสตร์ของปฏิกิริยาเอสเตอริฟิเคลชันสำหรับไบโอดีเซลโดยใช้ตัวเร่งปฏิกิริยาฟอสไฟฟั่งสติก แอเซติค
ผู้เขียน	นางสาวสุกาวดี เพ็งคง
สาขาวิชา	วิศวกรรมเคมี
ปีการศึกษา	2550

บทคัดย่อ

ปัจจุบันพลังงานทดแทนเป็นพลังงานที่มีความสำคัญ ไบโอดีเซลจัดเป็นพลังงานทดแทนรูปแบบหนึ่ง โดยวัตถุดินที่ใช้ในการผลิตที่มีความสำคัญในประเทศไทยคือ น้ำมันปาล์มดิน แต่ยังคงมีปัญหาเรื่องกรดไขมันอิสระสูง ในกระบวนการผลิตไบโอดีเซลแบบ 2 ขั้นตอนซึ่งประกอบด้วยขั้นตอนเอสเตอริฟิเคลชันและทราบส์เอสเตอริฟิเคลชัน โดยในขั้นตอนแรกเป็นขั้นตอนของการลดกรดไขมันอิสระให้เป็นเอสเตอร์ด้วยตัวเร่งปฏิกิริยาที่เป็นกรดเพื่อลดกรดไขมันอิสระให้ต่ำกว่าร้อยละ 1 โดยนำน้ำมัน จากนั้นจึงผ่านเข้าสู่กระบวนการทราบส์เอสเตอริฟิเคลชันซึ่งใช้ด่างเป็นตัวเร่งปฏิกิริยา ซึ่งได้ผลิตภัณฑ์เป็นเมทิลเอสเตอร์และกลีเซอรีน ในวิทยานิพนธ์นี้ได้ทำการศึกษา รายงานผลศาสตร์ของปฏิกิริยาเอสเตอริฟิเคลชันในการผลิตไบโอดีเซลจากน้ำมันปาล์มดินที่มีกรดไขมันอิสระประมาณร้อยละ 13.20 โดยนำน้ำมัน ทำปฏิกิริยากับเมทานอลโดยใช้ตัวเร่งปฏิกิริยาฟอสไฟฟั่งสติก แอเซติค บนอุ่มนิ่ง ซึ่งเป็นตัวเร่งปฏิกิริยาของแข็งที่มีฤทธิ์เป็นกรด โดยปัจจัยที่ศึกษา คือ เปรอเซนต์ของตัวเร่งปฏิกิริยา $\text{HPW}/\text{Al}_2\text{O}_3$, โดยใช้ที่ 5%, 10%, 15%, 20% และ 30% โดยนำน้ำมัน อัตราส่วนเชิงโมลของน้ำมันปาล์มดินต่อมেทานอล เป็น 1:5, 1:10, 1:15, 1:20 และ 1:40 อุณหภูมิ 60°C , 70°C และ 80°C และใช้เวลาในการทดลอง 180 นาที จากการทดลองพบว่า ปริมาณและสภาวะที่เหมาะสม คือ 30% $\text{HPW}/\text{Al}_2\text{O}_3$ อัตราส่วนเชิงโมลของน้ำมันปาล์มดินต่อมีทานอล 1:40 ปริมาณตัวเร่งปฏิกิริยาต่อน้ำมันปาล์มดินเป็น 1:6.25 กรณี อุณหภูมิ 80°C เวลาในการทำปฏิกิริยา 40 นาที จากการทดลองค่าพลังงานก่อการมันต์ของปฏิกิริยาไปข้างหน้าเท่ากับ 48.78 kJ/mol และค่าพลังงานก่อการมันต์ของปฏิกิริยาขอนกลับเท่ากับ 49.28 kJ/mol ซึ่งค่าคงที่ปฏิกิริยา (K) เพิ่มขึ้นเมื่ออุณหภูมิเพิ่มขึ้น

Thesis Title Kinetics of Esterification Reaction for Biodiesel Using Phosphotungstic Acid as Catalysts
Author Miss Supawadee Pengkong
Major Program Chemical Engineering
Academic Year 2007

ABSTRACT

Currently, renewable energy is important, especially biodiesel. The most of raw material is crude palm oil (CPO). The problem with processing crude oils is that it often contain significant amounts of free fatty acid (FFA) that can not be converted to biodiesel by using the commercially alkaline catalyst process. The two step process consist of esterification reaction and transesterification reaction . The first step of the process for reducing the FFA content of CPO less than 1% by esterification using solid acid catalyst. In second step methanol and alkaline catalyst convert the product of first step to ester and glycerol by transesterification process. In this experiment kinetics of esterification reaction was studied. CPO with 13.20% of FFA and methanol was used with phosphotungstic acid on alumina as catalysts, which is solid acid catalyst. In addition, three principal variables for esterification reaction were investigated, different percent by weight of HPW/Al₂O₃; 5%, 10%, 15%, 20% and 30%, molar ratio of CPO to methanol; 1:5, 1:10, 1:15, 1:20 and 1:40 vary temperature; 60 °C, 70 °C and 80 °C. Reaction time 180 minute was used. The results clearly demonstrate that the maximum methyl ester conversion for esterification is observed at 30% HPW/Al₂O₃ at molar ratio of CPO to methanol is 1:40 amount of catalyst to CPO is 1:6.25 grams, reaction temperature of 80 °C and reaction time is 40 minutes. The energy of activation for the forward reaction is 48.78 kJ/mol and for the reward reaction is 49.28 kJ/mol which increased with temperature.

กิตติกรรมประกาศ

ขอขอบพระคุณ ผู้ช่วยศาสตราจารย์ ดร.สุกฤทธิรา รัตนวีໄລ ประธานกรรมการที่ปรึกษาที่กรุณาให้คำปรึกษา คำแนะนำ รวมทั้งให้กำลังใจและวิธีการแก้ปัญหาในการทำวิทยานิพนธ์ ตลอดจนช่วยตรวจสอบแก้ไขวิทยานิพนธ์ให้คำนิ่งไปอย่างถูกต้องสมบูรณ์

ขอขอบพระคุณ รองศาสตราจารย์ ดร.ชาคริต ทองอุไร และ ผู้ช่วยศาสตราจารย์ ดร.ภกานาศ เกณฑ์พัฒนานนท์ กรรมการที่ปรึกษาร่วม รองศาสตราจารย์ ดร.จรัญ บุญกาญจน์ และ ดร.สุธรรม สุขุมภิ กรรมการผู้แทนคณะวิศวกรรมศาสตร์ และ รองศาสตราจารย์ ดร.กัลยา ศรีสุวรรณ กรรมการผู้แทนบัณฑิตวิทยาลัย ที่กรุณาให้คำแนะนำและตรวจสอบแก้ไขวิทยานิพนธ์ ให้ถูกต้องและสมบูรณ์ยิ่งขึ้น

ขอขอบพระคุณคณะวิศวกรรมศาสตร์ บัณฑิตวิทยาลัยและศูนย์เทคโนโลยีโลหะและวัสดุแห่งชาติ (MTEC) ที่จัดสรรเงินทุนในการวิจัย รวมทั้งศูนย์เครื่องมือวิทยาศาสตร์ ภาควิชา วิศวกรรมเครื่องกล คณะวิศวกรรมศาสตร์ มหาวิทยาลัยสงขลานครินทร์ ที่ให้ความอนุเคราะห์ในการวิเคราะห์ตัวอย่าง

ขอกราบขอบพระคุณ คุณพ่อและคุณแม่ที่ให้กำลังใจในการทำวิทยานิพนธ์ ขอบคุณ พี่ ๆ น้อง ๆ เพื่อน ๆ และเจ้าหน้าที่ภาควิชา วิศวกรรมเคมี คณะวิศวกรรมศาสตร์ ตลอดจนทุกท่านที่ไม่ได้กล่าวไว้ ณ ที่นี้ ที่มีส่วนให้ความช่วยเหลือและให้คำแนะนำในการทำวิทยานิพนธ์ จนทำให้วิทยานิพนธ์ฉบับนี้เสร็จสมบูรณ์

สุภาวดี เพ็งคง

สารบัญ

เรื่อง	หน้า
รายการตราง	(8)
รายการภาพประกอบ	(9)
บทที่ 1 บทนำ	1
1.1 บทนำต้นเรื่อง	1
1.2 วัตถุประสงค์	3
1.3 ประโยชน์ที่ได้รับจากการวิจัย	3
บทที่ 2 ตรวจสอบสาร	5
2.1 ส่วนประกอบของน้ำมันปาล์มดิน	6
2.2 การผลิตไปโอดีเซล	8
2.3 ข้อคือ – ข้อต้องของไปโอดีเซล	11
2.4 งานวิจัยที่เกี่ยวข้อง	12
2.5 ตัวเร่งปฏิกิริยา (Catalyst)	14
2.6 อัตราเร็วปฏิกิริยา	18
2.7 สมการอาเรนเนียส (Arrhenius Equation)	19
2.8 การวิเคราะห์ข้อมูลด้วยโปรแกรมสำเร็จรูป Polymath 6.0 Professional	20
2.9 การหาร้อยละการเปลี่ยน (%Conversion)	21
บทที่ 3 วิธีการทดลอง	22
3.1 วัสดุ	22
3.2 อุปกรณ์	22
3.3 วิธีการศึกษา	27
บทที่ 4 ผลและวิจารณ์	33
4.1 ลักษณะและคุณสมบัติของตัวเร่งปฏิกิริยา	33
4.2 การผลิตเม็ดอสเตรอร์จากน้ำมันปาล์มดิน	39
4.3 การศึกษาอัตราการเกิดปฏิกิริยาของปฏิกิริยาเอสเตอร์ฟิล์ฟิล์ชัน	49
บทที่ 5 สรุป	66
5.1 คุณลักษณะของตัวเร่งปฏิกิริยา	66
5.2 การศึกษาปฏิกิริยาเอสเตอร์ฟิล์ฟิล์ชัน	66

สารบัญ (ต่อ)

เรื่อง	หน้า
5.3 ข้อเสนอแนะ	67
เอกสารยังงั้น	68
ภาคผนวก	72
ภาคผนวก ก วิธีการวิเคราะห์	73
ภาคผนวก ข วิธีการคำนวณ	81
ภาคผนวก ค ถกมโนะและคุณภาพของใบโอดิเซลประเภทเมทิลเอสเตอร์ ของรถไบมัน	92
ภาคผนวก ง ข้อมูลคิบ	97
ภาคผนวก จ ผลจากการใช้โปรแกรม Polymath 6.0 professional	107
ประวัติผู้แต่ง	144

รายการตาราง

ตารางที่	หน้า
1 สูตร โครงสร้างของกรดไขมัน	7
2 องค์ประกอบทางเคมีของน้ำมันพืช ร้อยละ โดยน้ำหนักของกรดไขมัน	8
3 แสดงกระบวนการทดสอบ	30
4 แสดงเลขค่าคงที่ของการวิเคราะห์ด้วยเทคนิค FTIR ของ Pure HPW	39
5 องค์ประกอบน้ำมันปาล์มดินจากการวิเคราะห์ด้วยเทคนิค TLC	39
6 องค์ประกอบน้ำมันปาล์มดินจากการวิเคราะห์ด้วยเทคนิค GC-MS	40
7 การเปรียบเทียบผลการวิเคราะห์ปริมาณกรดไขมันอิสระ (FFA) ด้วยการไถเตรท กับการวิเคราะห์ด้วย TLC	40
8 การเปรียบเทียบผลการวิเคราะห์ปริมาณทิลเอสเตอร์ด้วยการวิเคราะห์ด้วย TLC กับการวิเคราะห์ด้วย GC	42
9 แสดงผลที่ได้จากการทำ Polynomial Regression ที่อุณหภูมิ 70°C อัตราส่วน เชิงโมลของ CPO:MeOH ต่าง ๆ	58
10 แสดงผลที่ได้จากการทำ Polynomial Regression ที่อัตราส่วนเชิงโมลของน้ำมัน ปาล์มดินต่อเมทานอลเป็น 1:40 ที่อุณหภูมิต่าง ๆ	59
11 แสดงค่าคงที่ของอัตราการเกิดปฏิกิริยาที่อุณหภูมิ 70°C อัตราส่วนเชิงโมล ของ CPO:MeOH ต่าง ๆ	61
12 แสดงค่าคงที่ของอัตราการเกิดปฏิกิริยาที่อัตราส่วนเชิงโมลของน้ำมัน ปาล์มดินต่อเมทานอลเป็น 1:40 ที่อุณหภูมิต่าง ๆ	61
13 แสดงค่าพลังงานก่อการมันต์ของปฏิกิริยาและแฟกเตอร์ความถี่ที่ อัตราส่วนเชิงโมลของน้ำมันปาล์มดินต่อเมทานอลเป็น 1:40	64
14 แสดงค่าแฟกเตอร์ความถี่และพลังงานก่อการมันต์ของปฏิกิริยาอสแตโรฟิเคลชันสำหรับ การผลิตใบโซเดียม	65

รายการภาพประกอบ

ภาพประกอบที่	หน้า
1 แสดงตำแหน่งของออกซิเจนทั้งสี่ชนิดใน Keggin Unit	16
2 แสดงลักษณะ Primary Structure ของ $H_3O_{40}PW_{12}$ (HPW)	16
3 แสดง Secondary Structure ของ $H_3O_{40}PW_{12}$ (HPW)	17
4 Reactor สำหรับการทำปฏิกิริยา	25
5 ปั๊ม (Peristatic pump)	25
6 Pharmed tubing	26
7 Timer “ELTIMO 020S”	26
8 แสดงเบ้าอัดตัวเร่งปฏิกิริยา	28
9 แสดงเครื่องอัดไอลูมิเนียม	28
10 แสดง XRD ของตัวเร่งปฏิกิริยา Pure Al_2O_3 (a), 5% HPW/ Al_2O_3 (b), 10% HPW/ Al_2O_3 (c), 15% HPW/ Al_2O_3 (d), 20% HPW/ Al_2O_3 (e), 30% HPW/ Al_2O_3 (f) และ Pure HPW (g)	34
11 แสดงลักษณะพื้นผิวของตัวเร่งปฏิกิริยาโดยใช้เทคนิค SEM กำลังขยาย x 300 Pure Al_2O_3 (a), 5% HPW/ Al_2O_3 (b), 10% HPW/ Al_2O_3 (c), 15% HPW/ Al_2O_3 (d), 20% HPW/ Al_2O_3 (e) และ 30% HPW/ Al_2O_3	36
12 แสดงหมู่ฟังก์ชันโดยใช้เทคนิค FT-IR Spectroscopy Pure Al_2O_3 (a), 5% HPW/ Al_2O_3 (b), 10% HPW/ Al_2O_3 (c), 15% HPW/ Al_2O_3 (d), 20% HPW/ Al_2O_3 (e), 30% HPW/ Al_2O_3 (f) และ Pure HPW (g)	37
13 แสดงหมู่ฟังก์ชันโดยใช้เทคนิค FT-IR Spectroscopy Pure Al_2O_3 (a), 5% HPW/ Al_2O_3 (b), 10% HPW/ Al_2O_3 (c), 15% HPW/ Al_2O_3 (d), 20% HPW/ Al_2O_3 (e), 30% HPW/ Al_2O_3 (f) และ Pure HPW (g)	38
14 แสดงผลการเปรียบเทียบผลการวิเคราะห์ปริมาณกรดไขมันอิสระ (FFA) ด้วยการตีเตรทกับการวิเคราะห์ด้วย TLC	41
15 แสดงผลการเปรียบเทียบผลการวิเคราะห์ปริมาณเมทิลอะสेटอเรต์ด้วยการวิเคราะห์ ด้วย TLC กับการวิเคราะห์ด้วย GC	42
16 แสดงปรอร์เซ็นต์ Conversion ของกรดไขมันอิสระกับเวลาในการทำปฏิกิริยาที่ ปริมาณตัวเร่งปฏิกิริยา 15% HPW/ Al_2O_3 ต่างๆ	43

รายการภาพประกอบ (ต่อ)

ภาพประกอบที่	หน้า
17 แสดงเปอร์เซ็นต์ Conversion ของกรดไนมันอิสระกับเวลาในการทำปฏิกิริยาที่เปอร์เซ็นต์ HPW/Al ₂ O ₃ , ต่าง ๆ	45
18 แสดงความสัมพันธ์ระหว่าง % Conversion ของกรดไนมันอิสระกับเวลาในการทำปฏิกิริยาที่เปอร์เซ็นต์โดยนำหันของ HPW/Al ₂ O ₃ , เป็น 5% และ 30%	46
19 แสดงความสัมพันธ์ระหว่าง % Conversion ของกรดไนมันอิสระกับเวลาในการทำปฏิกิริยาที่อัตราส่วนเชิงโมลของน้ำมันปาล์มคิดต่อมethanol เป็น 1:5, 1:10, 1:15, 1:20 และ 1:40	47
20 แสดงความสัมพันธ์ระหว่าง % Conversion ของกรดไนมันอิสระกับในการทำปฏิกิริยาเวลาที่อุณหภูมิในการทำปฏิกิริยาเป็น 60 °C, 70 °C และ 80 °C	48
21 แสดงความสัมพันธ์ระหว่างความเข้มข้นของกรดไนมันอิสระกับเวลาในการทำปฏิกิริยาที่อัตราส่วนเชิงโมลของน้ำมันปาล์มคิดต่อมethanol เป็น 1:5, 1:10, 1:15, 1:20 และ 1:40 อุณหภูมิ 70 °C	50
22 แสดงความสัมพันธ์ระหว่างความเข้มข้นของกรดไนมันอิสระกับเวลาในการทำปฏิกิริยาที่อุณหภูมิ 60 °C, 70 °C และ 80 °C อัตราส่วนเชิงโมลของน้ำมันปาล์มคิดต่อมethanol เป็น 1:40	51
23 แสดงความสัมพันธ์ระหว่างความเข้มข้นของเมทิลเอสเตอร์กับเวลาในการทำปฏิกิริยาที่อัตราส่วนเชิงโมลของน้ำมันปาล์มคิดต่อมethanol เป็น 1:5, 1:10, 1:15, 1:20 และ 1:40 อุณหภูมิ 70 °C	52
24 แสดงความสัมพันธ์ระหว่างความเข้มข้นของเมทิลเอสเตอร์กับเวลาในการทำปฏิกิริยาที่อุณหภูมิ 60 °C, 70 °C และ 80 °C อัตราส่วนเชิงโมลของน้ำมันปาล์มคิดต่อมethanol เป็น 1:40	53
25 แสดงความสัมพันธ์ระหว่างน้ำที่เกิดขึ้นกับเวลาในการทำปฏิกิริยาที่อัตราส่วนเชิงโมลของน้ำมันปาล์มคิดต่อมethanol เป็น 1:5, 1:10, 1:15, 1:20 และ 1:40 อุณหภูมิ 70 °C	54
26 แสดงความสัมพันธ์ระหว่างความเข้มข้นของน้ำที่เกิดขึ้นกับเวลาในการทำปฏิกิริยาที่อุณหภูมิ 60 °C, 70 °C และ 80 °C อัตราส่วนเชิงโมลของน้ำมันปาล์มคิด	55

รายการภาพประกอบ (ต่อ)	หน้า
ภาพประกอบที่	
ต่อเมทานอลเป็น 1:40	
27 แสดงความเข้มข้นของกรดไฮมันอิสระที่ได้จากการวัดจริงและการใช้ Polynomial Regression กับเวลาที่อุณหภูมิ 70°C อัตราส่วนเชิงโมลของ CPO:MeOH ต่าง ๆ	59
28 แสดงความเข้มข้นของกรดไฮมันอิสระที่ได้จากการวัดจริงและการใช้ Polynomial Regression กับเวลา ที่อัตราส่วนเชิงโมลของน้ำมันปาล์มดิบต่อ เมทานอลเป็น 1:40 ที่อุณหภูมิต่าง ๆ	60
29 แสดงความสัมพันธ์ระหว่าง $\ln k$ กับ $\frac{1}{T}$ ที่อัตราส่วนเชิงโมลของน้ำมันปาล์มดิบต่อเมทานอลเป็น 1:40	64

บทที่ 1

บทนำ

1.1 บทนำต้นเรื่อง

ปาล์มน้ำมัน (Oil Palm) มีชื่อทางวิทยาศาสตร์ว่า *Elaeis guineensis* เป็นพืชใบเดียงเดียวคระภูลปาล์มน (Palmae) เช่นเดียวกับมะพร้าว ตาล ชาต และระกำ น้ำมันถูกสกัดได้จากส่วนของผลชั้นในของเปลือก (Mesocarp) และเนื้อใน (Kernel) ปริมาณน้ำมันที่สกัดออกจากผลปาล์มน้ำมัน เมื่อคิดเทียบกับอโกลาในปริมาณเนื้อที่เท่ากันแล้ว ปาล์มน้ำมันจะสามารถให้ผลผลิตน้ำมันที่สูงกว่าพืชน้ำมันชนิดอื่น คือ ถั่วถั่ว ถั่วเหลือง เมล็ด콩กานตุ์ ตะไคร้ ฯ และ ละหุ่ง (กิตติภูมิ, 2548)

ใน โอดีเซลเป็นพลังงานทดแทนจากน้ำมันพืชเพื่อใช้ทดแทนน้ำมันดีเซล ซึ่งวัตถุคืนที่มีศักยภาพในการผลิตในโอดีเซลในประเทศไทย ได้แก่ น้ำมันพืชใช้แล้วและน้ำมันพืชสกัดใหม่อีก 8 ชนิด คือ 1. น้ำมันปาล์มน 2. น้ำมันมะพร้าว 3. น้ำมันถั่วเหลือง 4. น้ำมันถั่วถั่ว 5. น้ำมันละหุ่ง 6. น้ำมันงา 7. น้ำมันเมล็ดทานตะวัน 8. น้ำมันสนูด้า ตามยุทธศาสตร์การพัฒนาและส่งเสริมใน โอดีเซล วัตถุคืนหลักของใน โอดีเซล ได้แก่ ปาล์มน้ำมัน เนื่องจากปาล์มน้ำมันเป็นพืชที่มีศักยภาพในการแข่งขันสูงกว่าพืชชนิดอื่น ทั้งด้านการผลิตและการตลาด คือ มีต้นทุนการผลิตและราคาต่ำกว่าน้ำมันพืชชนิดอื่น นอกจากนี้ปาล์มน้ำมันยังสามารถนำไปใช้ประโยชน์ได้อย่างหลากหลายทั้งในสินค้าอุปโภคและบริโภค (สำนักงานเศรษฐกิจการเกษตร กระทรวงเกษตรและสหกรณ์, 2547)

ปัจจุบันพบว่าประเทศไทยมีความต้องการใช้น้ำมันเชื้อเพลิงเป็นจำนวนมากมาก โดยเฉพาะน้ำมันดีเซล ซึ่งมีสัดส่วนการใช้สูงกว่าน้ำมันเชื้อเพลิงชนิดอื่นๆ เป็นที่ทราบกันว่าราคาน้ำมันมีการปรับตัวสูงขึ้นอย่างต่อเนื่องไม่มีแนวโน้มที่จะลดลง อีกทั้งความต้องการเสริมสร้างความนิ่นคงในด้านของพลังงานของประเทศไทยถึงความต้องการลดมลพิษเพื่อให้สิ่งแวดล้อมดีขึ้น ทำให้มีหลายหน่วยงานได้ทำการวิจัยและพัฒนาการใช้วัตถุคืนภายในประเทศเพื่อนำมาผลิตเป็นแหล่งพลังงานทดแทน โดยที่ใน โอดีเซลเป็นพลังงานทดแทนจากน้ำมันพืชชนิดหนึ่งที่ใช้เพื่อทดแทนน้ำมันดีเซล ซึ่งวัตถุคืนที่มีศักยภาพในการผลิตใน โอดีเซลอันดับหนึ่งของประเทศไทย คือ น้ำมันปาล์มน

ในประเทศไทยทางยุโรปและสหรัฐอเมริกาได้ใช้น้ำมันดีเซลชีวภาพในรูปแบบของ ไบโอดีเซลเกือบทั้งหมด เพราะไม่ต้องปรับแต่งเครื่องยนต์ สามารถนำไปผสมกับน้ำมันดีเซลจาก ปิโตรเลียม ได้ในทุกสัดส่วนเนื่องจากสมบัติภายในพืชถูกถอดไปมากและสามารถรักษาความชื้น คงทน และคุณภาพได้ดีกว่าน้ำมันดีเซลชีวภาพชนิดอื่น ๆ นอกจากนั้นยังมีผลดีต่อสภาพแวดล้อม เช่น ไม่เพิ่มภาวะแก๊สร้อนกระจก (คาร์บอน ไดออกไซด์) เพราะที่มีการใช้คาร์บอน ไดออกไซด์ในการ สังเคราะห์แสง จึงมีการใช้มากกว่าการปลดปล่อยเมื่อถูกนำไปเป็นเชื้อเพลิง การเผาไหม้จะสมบูรณ์ กว่าน้ำมันดีเซล ซึ่งนำไปสู่การลดเชื้อเพลิง ลดปริมาณสารไฮโดรคาร์บอนที่เผาไหม้ ไม่หนด การลดปริมาณการรับอนุมอนออกไซด์ และการลดสารซัลไฟอเรต์ ไดออกไซด์ ซึ่งเป็นที่มาของ การเกิดฟืนกรด (ชาคริต, 2544)

ในการผลิตไบโอดีเซลโดยใช้ปฏิกริยาทรานส์อสเตรอริฟิเคชัน ซึ่งมีโซเดียม-ไฮดรอกไซด์เป็นตัวเร่งปฏิกริยา มีขั้นตอนสำคัญที่ใช้เป็นวัตถุดิน คือ จำเป็นต้องมีกรด ไขมันอิสระ (Free Fatty Acid, FFA) ต่ำกว่าร้อยละ 1 โดยน้ำหนัก เนื่องจากถ้ามีกรดไขมันมากกว่า ที่กำหนดจะเกิดปฏิกริยาลบปอนนิฟิเคชัน (Saponification) จะได้ผลิตภัณฑ์เป็นสบู่ ซึ่งจะทำให้ไม่ เกิดการแยกชั้นระหว่างกลีเซอรีนและเมทิลเอสเทอร์ ดังนั้น ในขั้นตอนการทำความสะอาด ไบโอดีเซลต้องใช้น้ำเป็นตัวทำความสะอาดซึ่งจะทำให้เกิดน้ำเสียขึ้นเป็นจำนวนมาก จากเหตุผลที่ กล่าวมาจึงจำเป็นต้องมีกระบวนการผลิตกรดไขมันอิสระให้ต่ำกว่าร้อยละ 1 โดยน้ำหนัก ซึ่งเป็นการ เพิ่มต้นทุนในการผลิตไบโอดีเซล จึงได้มีการศึกษาตัวเร่งปฏิกริยาอื่น โดยได้มีการปรับปรุง กระบวนการผลิตไบโอดีเซลเป็น 2 ขั้นตอน โดยขั้นตอนแรกเป็นการลดกรดไขมันอิสระให้มีค่า น้อยกว่า 1% โดยน้ำหนัก ด้วยปฏิกริยาเอสเตรอริฟิเคชัน (Esterification) ซึ่งเป็นกระบวนการที่ใช้ กรดเป็นสารเร่งปฏิกริยา จากนั้นนำผลิตภัณฑ์จากขั้นตอนแรกเข้าสู่ขั้นตอนที่สอง ซึ่งเป็นปฏิกริยา ทรานส์อสเตรอริฟิเคชัน (Transesterification) เป็นปฏิกริยาที่ใช้ตัวเร่งปฏิกริยา

การผลิตไบโอดีเซลแบบ 2 ขั้นตอนสามารถลดค่าใช้จ่ายในกระบวนการผลิต ไบโอดีเซลที่ใช้น้ำมันที่มีกรดไขมันสูงเป็นวัตถุดิน โดยเฉพาะในขั้นตอนการเกิดปฏิกริยา เอสเตรอริฟิเคชันเป็นวิธีการที่ป้องกันกรดไขมันอิสระสูงก่อนเข้าสู่กระบวนการกรานทรานส์อสเตรอริฟิเคชัน โดยทั่ว ๆ ไปในการทำปฏิกริยาเอสเตรอริฟิเคชันจะใช้ตัวเร่งปฏิกริยาของเหลวที่มีฤทธิ์เป็นกรด เช่น กรดซัลฟิคฟิวริก (Sulfuric Acid) กรดไฮโดรฟลูออริก (Hydrofluoric Acid) หรือกรดโทลูอิน ซัลฟอนิก (para-Toluenesulfonic Acid) แต่สารเหล่านี้มีอันตรายทำให้เกิดการกัดกร่อนและกำจัด ออกจากปฏิกริยาได้ยาก จึงมีการพัฒนาใช้ตัวเร่งปฏิกริยาชนิดใหม่ซึ่งเป็นของแข็งที่มีฤทธิ์เป็นกรด แทนตัวเร่งปฏิกริยาของเหลวที่เป็นกรด

ดังนั้นในโครงการวิจัยนี้จะเป็นการศึกษาวิธีการผลิตใบโอดีเซลเพื่อเพิ่มศักยภาพในการแปร่งขันทางด้านราคากับน้ำมันดีเซลที่มีอยู่ในปัจจุบัน โดยการเลือกวัตถุคุณที่มีราคาต่ำ คือ น้ำมันปาล์มดิบ (Crude Palm Oil, CPO) ซึ่งเป็นน้ำมันที่มีกรดไขมันอิสระสูง (น้ำมันที่มีปริมาณกรดไขมันอิสระสูงกว่า 1% โดยน้ำหนัก) มาผลิตใบโอดีเซล โดยจะสนใจในส่วนของขั้นตอนการเกิดปฏิกิริยาเอสเตอริฟิเคลชันซึ่งเป็นขั้นตอนลดกรดไขมันอิสระสูงให้ต่ำกว่า 1% โดยน้ำหนัก โดยใช้ตัวเร่งปฏิกิริยาที่มีฤทธิ์เป็นกรด จึงได้ทำการศึกษาการเกิดปฏิกิริยาเอสเตอริฟิเคลชัน โดยจะศึกษาด้านจนผลศาสตร์และปัจจัยในการผลิตใบโอดีเซลจากน้ำมันปาล์มกรดไขมันสูง โดยใช้ตัวเร่งปฏิกิริยาฟอสโฟทั่งสติก แอซิด (Phosphotungstic Acid, HPW) ซึ่งเป็นตัวเร่งปฏิกิริยาของแข็งที่มีฤทธิ์เป็นกรด มีความเสถียร สามารถกำจัดออกจากรปฏิกิริยาได้ง่ายทำให้การตกค้างของสารพิษมีน้อยลง อีกทั้งยังลดจำนวนน้ำเสียที่เกิดจากขั้นตอนการทำความสะอาดใบโอดีเซลได้อีกด้วย นอกจากนี้ตัวเร่งปฏิกิริยาชั้นสามารถถอนกำลังมาใช้ใหม่ได้ (Xin et al., 1998)

จึงมีความเป็นไปได้ในการที่จะใช้เป็นตัวเร่งปฏิกิริยาเอสเตอริฟิเคลชันของกรดไขมันอิสระให้เป็นเมทิลเอสเตอร์ในกระบวนการผลิตใบโอดีเซล

1.2 วัตถุประสงค์ของโครงการ

เพื่อศึกษาจนผลศาสตร์และปัจจัยในการผลิตใบโอดีเซลจากน้ำมันปาล์มกรดไขมันสูงโดยใช้ตัวเร่งปฏิกิริยาฟอสโฟทั่งสติก แอซิด

1.3 ประโยชน์ที่คาดว่าจะได้รับ

- (1) ทราบวิธีการลดกรดไขมันอิสระโดยใช้ตัวเร่งปฏิกิริยาฟอสโฟทั่งสติก แอซิด
- (2) ทราบปัจจัยด้านจนผลศาสตร์ในปฏิกิริยาเอสเตอริฟิเคลชัน ได้แก่ อัตราเร็วปฏิกิริยา ซึ่งอัตราเร็วปฏิกิริยานี้มีอิทธิพลของอัตราการถ่ายเทน้ำหนึ่งหรือความร้อนของมวลเข้ามาเกี่ยวข้อง ซึ่งสามารถใช้ในการออกแบบถังปฏิกิริยได้ ค่าคงที่ปฏิกิริยา ซึ่งมีทั้งค่าคงที่ปฏิกิริยาไปข้างหน้าและปฏิกิริยาขอนกลัน และค่าพัฒนาค่าคงมั่นที่ซึ่งจะทำให้ทราบถึงผลลัพธ์งานที่จะต้องใช้ในการทำปฏิกิริยา
- (3) ทราบถึงประสิทธิภาพของตัวเร่งปฏิกิริยาที่ใช้ในการทำปฏิกิริยาเอสเตอริฟิเคลชัน

- (4) ทราบอุปกรณ์และอัตราส่วนของน้ำมันปาล์มคิดต่อเมทานอลที่เหมาะสมใน การผลิตไบโอดีเซลในขั้นตอนของปฏิกริยา酵สเตอโรฟิเคนชัน
- (5) เพื่อเป็นข้อมูลพื้นฐานในการปรับปรุงวิธีการผลิตไบโอดีเซลแบบ 2 ขั้นตอน

บทที่ 2

ទរវជាលេកសារ

ปาล์มน้ำมันมีต้นกำเนิดอยู่ทางตะวันตกและตอนกลางของทวีปอเมริกา ต่อมาได้แพร่เข้าไปในทวีปอเมริกาใต้โดยสันนิษฐานว่าเกิดขึ้นในชุดล่าอาณาจักร ปาล์มน้ำมันจัดอยู่ในวงศ์ Palme หรือ Palmae เป็นวงศ์ใหญ่เดียวกันกับมะพร้าว คือ Eliaeas ปาล์มน้ำมันแบ่งออกเป็น 3 สายพันธุ์ คือ Eliaeas guineensis, Eliaeas oleifera และ Eliaeas odora สำหรับสองสายพันธุ์หลังไม่นิยมปลูกเนื่องจากเติบโตช้าและให้ผลเล็ก พันธุ์ที่นิยมปลูกเชิงเศรษฐกิจในปัจจุบัน คือ Eliaeas guineensis ปาล์มน้ำมันออกผลเมื่อจะปลาย ส่วนของผลมีเปลือกชั้นนอก (Exocarp) และชั้นกลาง (Mesocarp) ที่ประกอบด้วยเนื้อเยื่อไขมัน ซึ่งเมื่อถูกอกมาได้ผลผลิต เรียกว่า น้ำมันปาล์มดิบ (Crude Palm Oil, CPO) โดยมีไขมันรวมประมาณ 73.2% โดยน้ำหนัก สำหรับชั้นในของผล (Endocarp) จะหุ้มด้วยกล้า ภายในประกอบด้วยเนื้อซึ่งสามารถนำมาผลิตน้ำมัน โดยมีคุณสมบัติแตกต่างจากน้ำมันที่ได้จากเปลือกนอก เมื่อถูกอกมาเรียกผลผลิตส่วนนี้ว่า น้ำมันเมล็ด ใน (Kernel oil) (กิตติภูมิ, 2548)

ในปัจจุบันประเทศไทยสามารถผลิตไนโอดีเซล 500,000 ลิตร/วัน จากน้ำมันปาล์มที่เหลือจากการบริโภคในประเทศ โดยโรงงานสกัดน้ำมันปาล์มดิบสามารถรองรับการเพิ่มขึ้นของผลปาล์มดิบได้เกือบสองเท่า เนื่องจากกำลังการผลิตรวมของโรงงานสกัดน้ำมันปาล์มดิบทั่วประเทศไทยมีทั้งสิ้น 10.81 ล้านตันผลปาล์มสดต่อปี เมื่อเทียบกับวัตถุดิบ โรงงานสกัดน้ำมันปาล์มดิบจะมีกำลังผลิตส่วนเกินร้อยละ 50 (กรมพัฒนาที่ดินและอนุรักษ์พัฒนา กระทรวงพัฒนา, 2548)

สำหรับประเทศไทยเริ่มการวิจัยเรื่องพลังงานทดแทนจากโอดีเซล ประมาณ พ.ศ. 2524 โดยสถาบันวิจัยวิทยาศาสตร์และเทคโนโลยีแห่งประเทศไทย (วท.) ศึกษาวิจัยการใช้น้ำมันถั่วเหลืองและอสเตรอร์ของน้ำมันปาล์มน้ำเป็นพลังงานทดแทน ผลการวิจัยพบว่าน้ำมันถั่วเหลืองมีความหนืดสูง ทำให้เครื่องยนต์ติดยาก เครื่องยนต์สะคุต การสันดาปไม่สมบูรณ์ มีผลกระทบต่อในถังน้ำมันมาก ต่อมานี้การทดลองใช้อสเตรอร์ของน้ำมันปาล์มที่เรียกว่า FAME (Fatty Acid Methyl Ester) กับเครื่องยนต์ดีเซลพบว่าเชื้อเพลิงที่ได้มีความหนืดใกล้เคียงกับน้ำมันดีเซล และในปี พ.ศ. 2543 เกิดวิกฤตการณ์น้ำมันอีกครั้ง ทำให้ประเทศไทยเริ่มต้นควบและวิจัยเรื่องพลังงานทดแทนกันมากขึ้น ในโอดีเซลได้รับความสนใจอีกหนึ่งอย่างและใน พ.ศ. 2544 ชาวบ้านอีกหลายแห่งร่วมมือกันพัฒนาและผลิตไบโอดีเซลส่วนรวมที่เป็นผลสำเร็จสามารถนำไปใช้ประโยชน์ได้

น้ำมันใบโอดีเซลเป็นแห่งแรกในประเทศไทย และจำหน่ายให้แก่เกษตรกรเพื่อใช้ทดแทนน้ำมันดีเซล

ปัญหาส่วนใหญ่ของน้ำมันใบโอดีเซลสูตรพื้นบ้านคือ เรื่อง ได้กรองอุดตัน น้ำมัน มีความหนืดสูง และที่สำคัญคุณภาพของน้ำมันใบโอดีเซลสูตรพื้นบ้านนี้ไม่ได้มาตรฐานคุณภาพตามข้อกำหนดน้ำมันดีเซลของกระทรวงพาณิชย์ ทำให้บริษัทที่ผลิตอยู่ส่วนใหญ่ไม่ถอยยอมรับ เนื่องจากเกรงว่าน้ำมันชนิดนี้จะส่งผลเสียต่อเครื่องยนต์ต่อมานิยม ปตท. จำกัด มหาชน (ปตท.) ได้รับมอบหมายให้เป็นหน่วยรับซื้อน้ำมันปาล์มน้ำมันบริสุทธิ์เพื่อมาผสมกับน้ำมันดีเซล จำหน่าย ที่สถานีบริการน้ำมัน ปตท. ถนนรามคำแหง โดยเริ่มจำหน่ายในวันที่ 11 กรกฎาคม 2544 ในชื่อ ดีเซลปาล์มน้ำมันชนิดนี้มีคุณสมบัติเป็นไปตามข้อกำหนดคุณภาพน้ำมันดีเซลทั้งหมด ริ่วของ กระทรวงพาณิชย์และจากการสำรวจพบว่าผู้บริโภคส่วนใหญ่พอใจ เพราะไม่มีความแตกต่างจาก น้ำมันดีเซลปกติ ในเรื่องของการติดเครื่อง ขั้ตราเจริญ ไอเสีย ไม่มีกลิ่น และสามารถลดควันดำได้

นอกจากนี้ผู้บริโภคยังต้องการให้หน่วยงานภาครัฐให้การรับรองว่า การใช้น้ำมัน ปาล์มน้ำมันดีเซลนี้จะไม่ก่อให้เกิดผลเสียต่อเครื่องยนต์ในระยะยาว และต้องการให้มีการประชาสัมพันธ์ ให้ประชาชนทราบข้อมูลเพิ่มขึ้น รวมทั้งต้องการให้มีสถานีบริการเพิ่มขึ้น (กลุ่มสื่อส่งเสริม การเกษตรสำนักพัฒนาการถ่ายทอดเทคโนโลยี กรมส่งเสริมการเกษตร, 2547)

2.1 ส่วนประกอบของน้ำมันปาล์มน้ำมัน (Crude Palm Oil, CPO)

ปาล์มน้ำมันเป็นพืชเศรษฐกิจทางภาคใต้ของประเทศไทย กระบวนการผลิตเริ่มจากการหีบผลปาล์มน้ำมันเพื่อให้ได้น้ำมันปาล์มน้ำมันแล้วถักลั่นเป็นน้ำมันปาล์มน้ำมันบริสุทธิ์หรือน้ำมันปาล์มน้ำมันรีไฟฟ์ (Refined Palm Oil) จากนั้นจึงผ่านกระบวนการแยกลำดับส่วน (Fractionation) เพื่อแยก สเตียริน (Stearin) ซึ่งเป็นส่วนประกอบที่มีจุดหลอมเหลวสูงออกจากโอลีอิน (Olein) ซึ่งมีจุดหลอมเหลวต่ำ สเตียรินเป็นส่วนของแข็งของที่ก่อตัวขึ้นเมื่อถูกอุณหภูมิให้ต่ำลง โดยมีส่วนประกอบเป็นจำนวนมากเป็นกรดไขมันอิ่มตัว โดยเฉพาะอย่างยิ่งกรดปาล์มนิติก (Palmitic, C16:0) โอลีอินเป็นส่วนของเหลวที่เหลือจากการตกรดถักลั่นของสเตียริน ซึ่งมีส่วนประกอบของกรดไขมันไม่อิ่มตัวสูงกว่า เช่น กรดโอลีอิก (Oleic, C18:1) และลิโนเลอิก (Linoleic, C18:2) (Cornilius, 1973) โดยตารางที่ 1 แสดงสูตรโครงสร้าง ชื่อทางวิทยาศาสตร์ของกรดไขมันทั่วไป ตารางที่ 2 แสดงส่วนประกอบทางเคมีของน้ำมันพืช ซึ่งแสดงผลเป็นร้อยละ โดยน้ำหนักของกรดไขมัน

ตารางที่ 1 สูตรโครงสร้างของกรดไขมัน

Fatty acid	Systematic name	Structure ^a	Formula
Lauric	Dodecanoic	12:0	C ₁₂ H ₂₄ O ₂
Myristic	Tetradecanoic	14:0	C ₁₄ H ₂₈ O ₂
Palmitic	Hexadecanoic	16:0	C ₁₆ H ₃₂ O ₂
Stearic	Octadecanoic	18:0	C ₁₈ H ₃₆ O ₂
Arachidic	Eicosanoic	20:0	C ₂₀ H ₄₀ O ₂
Behenic	Docosanoic	22:0	C ₂₂ H ₄₄ O ₂
Lignoceric	Tetracosanoic	24:0	C ₂₄ H ₄₈ O ₂
Oleic	cis-9-Octadecanoic	18:1	C ₁₈ H ₃₄ O ₂
Linoleic	cis-9,cis-12-Octadecadienoic	18:2	C ₁₈ H ₃₂ O ₂
Linolenic	cis-9,cis-12,cis-15-Octadecatrienoic	18:3	C ₁₈ H ₃₀ O ₂
Erucic	cis-13-docosenoic	22:1	C ₂₂ H ₄₂ O ₂

^a x:y x แทนค่าจำนวนครึ่งอนในกรดไขมัน

y แทนค่าจำนวนพันธะคู่ในกรดไขมัน

ที่มา : Barnwal และ Sharma (2004)

ตารางที่ 2 องค์ประกอบทางเคมีของน้ำมันพืช ร้อยละโดยน้ำหนักของกรดไขมัน

ชนิดกรดไขมัน\ น้ำมันพืช	ร้อยละโดยน้ำหนักของกรดไขมัน									
	14:0	16:0	18:0	20:0	22:0	24:0	18:1	22:1	18:2	18:3
น้ำมันปาล์ม	0.2	45	4.5	0	0	0	40.2	0	10.1	0
น้ำมันข้าวโพด	0	12	2	0	0	0	45	0	41	0
น้ำมันเมล็ดฟ้าเย	0	28	1	0	0	0	13	0	58	0
น้ำมันลินซีค	0	5	2	0	0	0	20	0	18	55
น้ำมันถั่วเหลือง	0	11	2	1	2	1	48	0	32	1
น้ำมันเมล็ด共和	0	3	1	0	0	0	64	0	22	8
น้ำมันเมล็ดทานตะวัน	0	6	3	0	0	0	17	0	74	0
น้ำมันงา	0	9	2	0	0	0	53	0	39	0
น้ำมันถั่วเหลือง	0	12	3	0	0	0	23	0	55	6

ที่มา : Barnwal และ Sharma (2004)

2.2 การผลิตใบโอดีเซล

Fangruai และคณะ (1999) ได้อธิบายวิธีการผลิตใบโอดีเซล มี 4 วิธี ดังนี้ คือ

2.2.1 Dilution เป็นการผสมน้ำมันพืชกับน้ำมันดีเซลในสัดส่วนต่างๆ แต่มีข้อเสีย เมื่อใช้เป็นระยะเวลา长 เนื่องจากจะทำให้เกิดเบน่ำภาวะติดหัวพืดน้ำมันและลดประสิทธิภาพของเครื่องยนต์

2.2.2 Microemulsion เป็นการทำให้ของเหลว 2 ชนิด ที่ไม่ละลายเป็นเนื้อเดียวกัน ละลายเป็นเนื้อเดียวกัน โดยองค์ประกอบของ Microemulsion คือ น้ำมันพืช และกอโซล์ สารลดแรงตึงผิว (Surfactants) และตัวปรับน้ำมันเชื้อเพลิง (Cetane Improver) แต่มีข้อเสีย คือ จะเกิดเบน่ำสะสม อุบัติเหตุหัวพืดน้ำมันและวาล์วต่างๆ

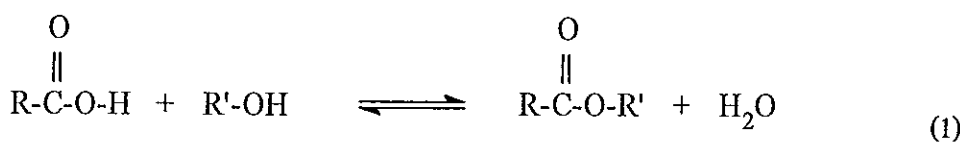
2.2.3 Pyrolysis เป็นการสลายโครงสร้างของน้ำมันพืชด้วยความร้อนให้เป็นไฮโดรคาร์บอนอินตัว ไฮโดรคาร์บอนไม่อินตัวและสารที่หล่อเลี้ยงด้วยออกซิเจน (Oxygenate) โดยมีตัวเร่งปฏิกิริยาประเภท Heterogeneous เช่น ซีโอลaidt หรือ โซเดียมคาร์บอเนต (Na_2CO_3) แต่มี

ข้อจำกัด คือ จะมีปริมาณเล็กที่เกิดขึ้นมากและลักษณะของน้ำมันไม่ผ่านเกณฑ์ที่กำหนดของจุดไฟลุก (Pour Point)

2.2.4 Transesterification เป็นกระบวนการเปลี่ยนไตรกลีเซอไรด์ (Triglyceride) ของน้ำมันพืชเป็นโมโนกลีเซอไรด์ (Mono Alkyl Ester) ด้วยแอลกอฮอล์และมีเป็นสารเร่งปฏิกิริยา

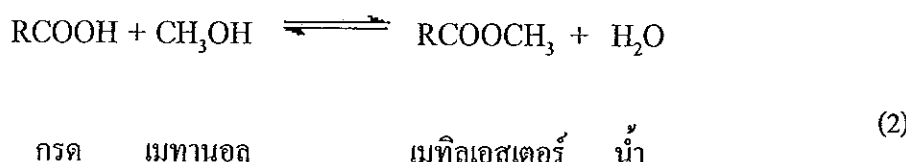
ได้มีการพัฒนาการผลิตใบโอดีเซลจากขั้นตอนเดียวเป็นแบบ 2 ขั้นตอน โดยขั้นตอนแรกเป็นปฏิกิริยาเอสเตอริฟิเคชัน (Esterification) จากนั้นนำผลิตภัณฑ์จากขั้นตอนแรกเข้าสู่ขั้นตอนที่สอง ซึ่งเป็นปฏิกิริยาทรานส์เอสเตอริฟิเคชัน (Transesterification)

(1) Esterification ซึ่งเป็นกระบวนการที่ใช้กรดเป็นสารเร่งปฏิกิริยา ในขั้นตอนแรกจะทำให้อดกรดไขมันอิสระให้เหลือน้อยกว่า 1% โดยน้ำหนัก ปฏิกิริยาเอสเตอริฟิเคชันแสดงได้ดังสมการที่ 1



กรด แอลกอฮอล์ เอสเตอร์ น้ำ

ถ้าแอลกอฮอล์ที่ใช้จะเป็นเมทานอล สมการ (1) จะเป็นดังนี้

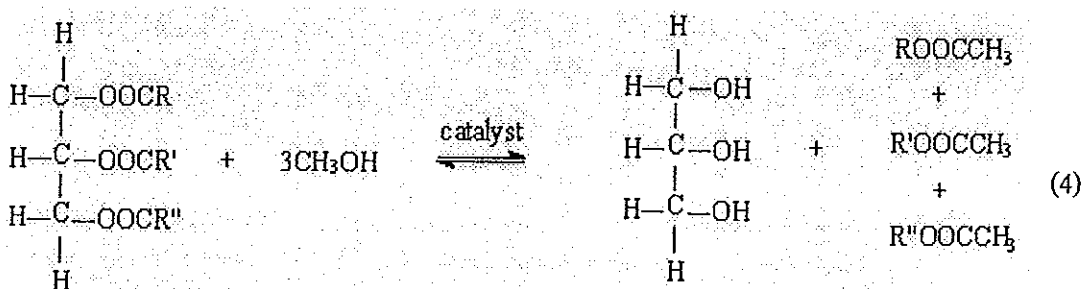


(2) Transesterification ซึ่งเป็นปฏิกิริยาที่ใช้ด่างเป็นสารเร่งปฏิกิริยาในการผลิตใบโอดีเซลโดยใช้ปฏิกิริยาทรานส์เอสเตอริฟิเคชัน (สมการที่ 3) ซึ่งนิยมใช้โซเดียมไฮดรอกไซด์ (NaOH) หรือ โพแทสเซียมไฮดรอกไซด์ (KOH) เป็นตัวเร่งปฏิกิริยาและจะมีปฏิกิริยา Saponification เกิดขึ้นด้วย ซึ่งจะได้ผลิตภัณฑ์เป็นสบู่ ดังสมการที่ 5



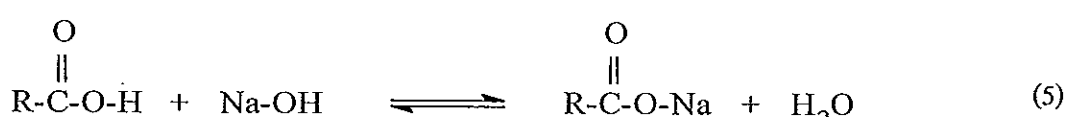
เอสเตอร์ แอลกอฮอล์ เอสเตอร์ แอลกอฮอล์

การผลิตไบโอดีเซลปูนิกริยาท่านส์เอสเตอเรติฟิเกชันที่เกิดขึ้นจะเกิดจากไครกลีเซอไรค์ที่ทำปูนิกริยา กับ เมทานอล โดยใช้สารเร่งปูนิกริยาจะได้กลีเซอรอล กับ เมทิลเอสเตอร์ ดังสมการที่ 4



ไครกลีเซอไรค์ เมทานอล กลีเซอรอล เมทิลเอสเตอร์

สมการที่ 5 แสดงปูนิกริยาสปอนนิฟิเกชัน (Saponification)



กรด โซเดียมไฮดรอกไซด์ ญี่ปุ่น น้ำ

โดยปัจจัยที่มีความสำคัญคือ ผลที่ได้ในกระบวนการผลิตไบโอดีเซล มี 5 ปัจจัย ได้แก่

- อุณหภูมิในการทำปูนิกริยา โดยทั่วไปปูนิกริยาส่วนใหญ่เป็นปูนิกริยาแบบดุด
ความร้อน เมื่ออุณหภูมิสูงขึ้นการเกิดปูนิกริยาจะเกิดขึ้นได้ดี
- อัตราส่วนระหว่างน้ำมันและแอลกอฮอล์

- ชนิดและความเข้มข้นของสารเร่งปฏิกิริยา
- การผสมสารตั้งต้น
- ความบริสุทธิ์ของสารทำปฏิกิริยา (Purity of Reactants)

2.3 ข้อดี – ข้อด้อยของไบโอดีเซล

ในการผลิตไบโอดีเซลเพื่อนำมาใช้เป็นพลังงานทดแทนน้ำมันดีเซลมีทั้งข้อดีและข้อด้อย ซึ่งสามารถแยกแยะได้ดังนี้

2.3.1 ข้อดีของไบโอดีเซล

(1) ประโยชน์ของการใช้ไบโอดีเซลค้านสิ่งแวดล้อม

การใช้ไบโอดีเซลสามารถลดมลพิษในอากาศยังเนื่องมาจากการเผาไหม้ของเครื่องยนต์สมบูรณ์ กรณีอุ่หหารเรือได้ทำการทดลองใช้น้ำมันไบโอดีเซลกับเครื่องยนต์ดีเซล พบว่ารถที่ใช้น้ำมันไบโอดีเซลเป็นเชื้อเพลิงสามารถลดควันดำได้มากกว่าร้อยละ 50 และสามารถลดแก๊สรักษ์โลกออกไซด์ (CO) ได้ร้อยละ 20 ลดฝุ่นละออง ได้ร้อยละ 39 ลดแก๊สซัลเฟอร์ไดออกไซด์ ได้ร้อยละ 99 นอกจากนี้การใช้ไบโอดีเซลทดแทนน้ำมันดีเซลนั้นสามารถลดวงจรชีวิต (Life-Cycle) ของแก๊สคาร์บอนไดออกไซด์ (CO₂) ได้ร้อยละ 78 ซึ่งเป็นผลให้ลดภาวะโลกร้อน

(2) ประโยชน์การใช้ไบโอดีเซลค้านสมรรถนะเครื่องยนต์

การใช้ไบโอดีเซลในเครื่องยนต์จะช่วยเพิ่มประสิทธิภาพการเผาไหม้ เนื่องจากไบโอดีเซลมีอوكซิเจนผสมอยู่ประมาณร้อยละ 10 ทำให้การเผาไหม้ของอากาศกับน้ำมันมีการกระจายตัวอย่างสม่ำเสมอ และเป็นการเพิ่มอัตราส่วนปริมาตรของอากาศต่อน้ำมันได้เป็นอย่างดี (คณะกรรมการธุรกิจการการผลิตงาน สถาปัฐแทนรายภูร, 2545) จึงทำให้เผาไหม้ในระบบอุดสูบเป็นไปอย่างสมบูรณ์ นอกจากนี้ ค่าแรงบิดเพิ่มขึ้นประมาณร้อยละ 7.5 และให้กำลังเพิ่มขึ้นร้อยละ 12 เมื่อเทียบกับน้ำมันดีเซล

2.3.2 ข้อด้อยของไบโอดีเซล

- (1) เป็นของแข็งที่อุณหภูมิสูงกว่าน้ำมันดีเซล
- (2) ปลดปล่อยแก๊สในโทรศัพท์ออกไซด์สูงกว่าน้ำมันดีเซล
- (3) ชั้นส่วนจากยางปืนน้ำมันจะเสื่อมคุณภาพเร็ว
- (4) ค่าพลังงานความร้อนต่ำกว่าน้ำมันดีเซลร้อยละ 10

การแก้ไขข้อด้อยเหล่านี้อาจกระทำด้วยการผสมกับน้ำมันดีเซล เช่น ผสมน้ำมันดีเซลร้อยละ 80 กับเมทิลเอสเตอร์ร้อยละ 20 (<http://www.biodiesel.eng.psu.ac.th>)

2.4 งานวิจัยที่เกี่ยวข้อง

Xin และคณะ (1998) ได้ทำการทดลองการทำปฏิกิริยาเอสเตอริฟิเคลชันของ Acrylic Acid กับ 1-Butanol โดยใช้ตัวเร่งปฏิกิริยาของแข็งที่เป็นกรด ได้พบว่า %Conversion ของ $H_3PW_{12}O_{40}$ (HPW) > $H_4SiW_{12}O_{40}$ (HSiW) > $H_6CoW_{12}O_{40}$ (HCoW) และจากการตรวจสอบความแรงของกรด พบว่า $H_3PW_{12}O_{40}$ (HPW) > $H_4SiW_{12}O_{40}$ (HSiW) > $H_4GeW_{12}O_{40}$ (HGeW) > $H_2P_2W_{18}O_{62}$ > $H_6CoW_{12}O_4$ (HCoW) จากการทดลองแสดงให้เห็นว่าปฏิกิริยาเอสเตอริฟิเคลชันที่เกิดบนตัวเร่งปฏิกิริยาของแข็งที่เป็น HPW จะเกิดได้ดีที่สุดคือ %Conversion สูงที่สุดและได้สรุปว่าอัตราเร็วปฏิกิริยาจะเพิ่มขึ้นตามความแรงของกรดที่เป็นตัวเร่งปฏิกิริยาของแข็ง

Crabbe และคณะ (2001) ได้ศึกษาการผลิตไบโอดีเซลจากน้ำมันปาล์มดิบและประเมินผลของการแยกน้ำมันออลและศึกษาคุณสมบัติของเชื้อเพลิง ได้แสดงความคิดเห็นไว้ว่า น้ำมันปาล์มดิบ (Crude Palm Oil ,CPO) เป็นน้ำมันพืชที่มีความสำคัญ 1 ใน 4 ของตลาดโลกและมีราคากูกกว่าน้ำมัน Conala น้ำมัน Rapeseed และน้ำมันถั่วเหลือง ซึ่งมีความเหมาะสมในการใช้ทดแทนน้ำมันดีเซล โดย Crabbe และคณะ ได้ผลิตเมทิลเอสเตอร์โดยใช้กรดซัลฟิวริกเป็นตัวเร่งปฏิกิริยาโดยทดลองที่อุณหภูมิ 75, 80 และ 95 °C โดยใช้สัดส่วนเชิงโมลของเมทานอลต่อน้ำมันปาล์มดิบเท่ากับ 3:1 ถึง 40:1 กรดซัลฟิวริก 1-5 % (vol/wt%) ใช้เวลา 3, 6, 9, 12 และ 24 ชั่วโมง จากการศึกษาพบว่าการทำปฏิกิริยารานส์เอสเตอริฟิเคลชันที่เหมาะสมควรใช้สัดส่วนเมทานอลต่อน้ำมันปาล์มดิบในอัตราส่วนเชิงโมลเป็น 40:1 กรดซัลฟิวริก 5% (vol/wt%) และทำปฏิกิริยาที่อุณหภูมิ 95 °C เป็นเวลา 9 ชั่วโมง

Shanmugam และคณะ (2004) ได้ทำการทดลองเปรียบเทียบปฏิกิริยาเอสเตอริฟิเคลชันของ Triethylene Glycol (TEG) กับ Methacrylic Acid (MAA) โดยใช้ตัวเร่งปฏิกิริยาของแข็งเปรียบเทียบกับกรดที่ใช้กันโดยทั่วไป จากการศึกษาผลของอุณหภูมิโดยใช้ตัวเร่งปฏิกิริยาเป็น HPW จะพบว่า %Conversion จะเพิ่มขึ้นเมื่ออุณหภูมิเพิ่มขึ้น จากการศึกษาด้านจลนพลาสต์ (Kinetics) โดยใช้ตัวเร่งปฏิกิริยาเป็น Phosphotungstic Acid (HPW), Silicotungstic Acid (HSiW), Amberlyst-15, p-Tolylsulfonic acid (PTSA), และ Sulfuric Acid (H_2SO_4) เมื่อเปรียบเทียบแล้วพบว่า %Conversion ของ HPW > HSiW > Amberlyst-15 > PTSO > H_2SO_4 และได้สรุปว่าปฏิกิริยาเอสเตอริฟิเคลชันของ Triethylene Glycol (TEG) กับ Methacrylic Acid (MAA) ที่ดำเนินการโดยใช้

ตัวเร่งปฏิกิริยาของแข็งที่เป็นกรดเมื่อใช้ตัวเร่งปฏิกิริยาเป็น HPW จะใช้ได้ผลดีกว่าตัวเร่งปฏิกิริยาชนิดอื่น ๆ ในระบบและได้ผลดีกว่าตัวเร่งปฏิกิริยาที่ใช้กันโดยทั่วไปที่เป็นของเหลว และตัวแปรค่านจนพลาศตร์ของ HPW กับ HSiW พบว่า HPW มีอัตราการเกิดปฏิกิริยารีบต้นสูงกว่า HSiW และใช้พลังงานก่ออันมั่นต์ (E_a) น้อยกว่า HSiW ดังนั้นถ้าเลือกใช้ HPW จะสามารถประหยัดพลังงานได้มากกว่า

Ramadhas และคณะ (2005) ได้ทำการศึกษาการผลิตไบโอดีเซลจากน้ำมันเมล็ดยางพาราที่มีกรดไขมันอิสระสูง โดยกล่าวว่ากรดไขมันอิสระที่มีค่าสูงจะส่งผลกระทบต่อกระบวนการผลิตเมทิลเอสเทอร์ที่ใช้ปฏิกิริยาทรานส์เอสเทอโรฟิเคนน์ ซึ่งใช้ค่างเป็นสารเร่งปฏิกิริยาเนื่องจากการดึงไขมันอิสระจะทำปฏิกิริยากับตัวเร่งปฏิกิริยาประเภทด่างทำให้เกิดผลิตภัณฑ์เป็นสูญและทำให้การแยกชั้นระหว่างกลีเซอรินและเมทิลเอสเทอโรฟิเคนน์ได้ยาก ดังนั้นจึงได้มีการปรับปรุงกระบวนการผลิตเมทิลเอสเทอร์ให้เป็น 2 ขั้นตอน โดยขั้นตอนแรกเป็นการลดกรดไขมันอิสระให้มีค่าน้อยกว่าร้อยละ 1 โดยนำหนักด้วยตัวเร่งปฏิกิริยาแบบกรดเพื่อให้เกิดปฏิกิริยาเอสเทอโรฟิเคนน์นำผลิตภัณฑ์จากขั้นตอนแรกเข้าสู่กระบวนการที่ใช้ตัวเร่งปฏิกิริยาแบบด่างเพื่อให้เกิดปฏิกิริยาทรานส์เอสเทอโรฟิเคนน์พบว่าสัดส่วน เชิงโมลของน้ำมันต่อแอลกออลเท่ากับ 1:6 ซึ่งใช้ตัวเร่งปฏิกิริยาประเภทด่างให้ประสิทธิภาพดีที่สุด โดยทำการทดลอง 30 นาที ที่อุณหภูมิ 45 ± 5 °C ซึ่งข้อดีของการผลิตเมทิลเอสเทอร์ให้เป็น 2 ขั้นตอน คือ สามารถลดค่าใช้จ่ายในการกระบวนการผลิต เมทิลเอสเทอร์ที่ใช้น้ำมันที่มีกรดไขมันอิสระสูงเป็นวัตถุคุณ

กิตติภูมิ และคณะ (2005) ได้ทำการศึกษาปัจจัยที่มีต่อการผลิตเมทิลเอสเทอร์จากน้ำมันปาล์มดิบ โดยใช้ปฏิกิริยาเอสเทอโรฟิเคนน์ด้วยวนานเดีย-ไทยเนยมะตะลิสต์ และแอมเบอร์-ลิสต์ 15 พบว่า การเพิ่มสัดส่วนเชิงโมลน้ำมันปาล์มต่อเมทานอลทำให้เปอร์เซ็นต์การเกิดเมทิลเอสเทอร์เพิ่มขึ้น อย่างไรก็ตามการเพิ่มสัดส่วนเชิงโมลน้ำมันปาล์มต่อเมทานอลมากกว่า 1:45 มีผลทำให้การเพิ่มเปอร์เซ็นต์เมทิลเอสเทอร์ที่ยังเล็กน้อย

จากข้อมูลที่ได้ศึกษาทำให้มีความเป็นไปได้ว่าในการผลิตไบโอดีเซลแบบ 2 ขั้นตอน โดยขั้นตอนแรกเป็นปฏิกิริยาเอสเทอโรฟิเคนน์ซึ่งใช้วัตถุดิบเป็นน้ำมันปาล์มดิบ เมทานอล และใช้ตัวเร่งปฏิกิริยาฟอสฟิทั่งสติก อะซิค บันอะลูมินา เพื่อลดกรดไขมันอิสระก่อนเข้าสู่กระบวนการทรานส์เอสเทอโรฟิเคนน์

2.5 ตัวเร่งปฏิกิริยา (Catalyst)

คำว่า Catalysis มาจากภาษากรีก 2 คำ กือ กะตะ (Cata) ซึ่งหมายถึง ลดลง และคำว่า ไลไซค์ (Lysein) ซึ่งหมายถึง แตกหักหรือแยก ความหมายที่ย่อนรับกันทั่วไป กือ สารที่เพิ่มอัตราการวิ่งเข้าหาๆ ตามคุณสมบัติของระบบปฏิกิริยาเคมี โดยที่ตัวมันเองไม่ได้ถูกใช้ไปในกระบวนการหรือหมายถึงสารที่ช่วยเร่งอัตราเร็วของปฏิกิริยา โดยลดพลังงานก่อตัวมันต์ (Activation Energy) ของปฏิกิริยาให้น้อยลง เช่น แก๊สออกซิเจนและไออกไซด์คาร์บอนไม่ทำปฏิกิริยาที่อุณหภูมิห้อง แต่เมื่อมีแพลทินัม (Pt) เป็นตัวเร่งปฏิกิริยา จะทำให้ปฏิกิริยาเกิดขึ้นอย่างรวดเร็ว

ตัวเร่งปฏิกิริยา สามารถแบ่งออกได้เป็น 3 ประเภท โดยพิจารณาจากเพื่อของตัวเร่งปฏิกิริยากับ เฟสของสารตั้งต้น

(1) ตัวเร่งปฏิกิริยาชนิดวิภาคพันธุ์ (Heterogeneous Catalyst) เป็นตัวเร่งปฏิกิริยาชนิดที่มีเฟสแตกต่างจากสารตั้งต้นหรือไม่วรุนตัวเป็นเนื้อเดียวกัน

(2) ตัวเร่งปฏิกิริยาชนิดเอกพันธุ์ (Homogeneous Catalyst) เป็นตัวเร่งปฏิกิริยาที่ไม่มีขอบเขตของเฟส โดยที่เฟสของตัวเร่งปฏิกิริยากับเฟสของสารตั้งต้นสามารถรวมเป็นเนื้อเดียวกัน

(3) เอนไซม์ (Enzyme) เป็นตัวเร่งปฏิกิริยาที่มีโมเลกุลขนาดใหญ่ ซึ่งเกี่ยวข้องกับปฏิกิริยาทางชีวเคมีและเป็นตัวเร่งปฏิกิริยาที่ไม่สามารถจัดรวมไว้กับ 2 กลุ่มแรกได้ เนื่องจากเอนไซม์เป็นสารประกอบอินทรีย์เชิงซ้อนที่มีขนาดใหญ่ โดยปกติแล้วจะเป็นสารประกอบโปรตีน ตักษะของเอนไซม์จะอยู่ระหว่างตัวเร่งปฏิกิริยาชนิดที่รวมเป็นเนื้อเดียวกันและชนิดไม่วรุนเป็นเนื้อเดียวกัน

2.5.1 สักษณะทั่วไปของตัวเร่งปฏิกิริยา

(1) ตัวเร่งปฏิกิริยาจะเร่งปฏิกิริยา โดยเดินในเส้นทางที่มีค่าพลังงานกระตุ้นของแต่ละขั้นตอนของตัวเร่งปฏิกิริยาที่น้อยกว่าปฏิกิริยาที่ไม่ใช้ตัวเร่งปฏิกิริยา

(2) คุณของปฏิกิริยาจะไม่เปลี่ยนแปลงแต่เร่งปฏิกิริยาไปข้างหน้าให้เร็วขึ้น สำหรับปฏิกิริยาที่มีการผันกลับ

(3) ตัวเร่งปฏิกิริยาจำนวนเล็กน้อยเพียงพอที่จะทำให้เกิดปฏิกิริยาได้อย่างรวดเร็ว

(4) ตัวเร่งปฏิกิริยาจะไม่มีการเปลี่ยนแปลงทางเคมีเมื่อปฏิกิริยาสิ้นสุดแต่อาจมีการเปลี่ยนแปลงทางฟิสิกส์ได้บ้าง

(5) อุณหภูมิจะมีผลต่ออัตราการเกิดปฏิกิริยาน้อยมากเมื่อมีตัวเร่งปฏิกิริยาอยู่ตัวเดียวในปฏิกิริยา

(6) ตัวเร่งปฏิกิริยามีความจำเพาะเจาะจงในการทำปฏิกิริยาและผลิตภัณฑ์ที่ได้ขึ้นอยู่กับตัวเร่งปฏิกิริยาที่ใช้

ซึ่งในงานวิจัยนี้ทำการศึกษาตัวเร่งปฏิกิริยาฟอสฟอทังสติก แอดซิด ซึ่งเป็นตัวเร่งปฏิกิริยาในกลุ่มวิธีพันธุ์ (Heterogeneous Catalyst) เป็นตัวเร่งปฏิกิริยาที่มีความเสถียรและเป็นตัวเร่งปฏิกิริยาที่ดีในการออกซิไดซ์ อิกทั้งยังลดปัญหาสนู๊ฟ์เกิดขึ้นและสะดวกในการแยกตัวเร่งปฏิกิริยาที่ใช้แล้วเพื่อนำกลับมาใช้ใหม่อีกด้วย

2.5.2 ฟอสฟอทังสติก แอดซิด (Phosphotungstic Acid, HPW)

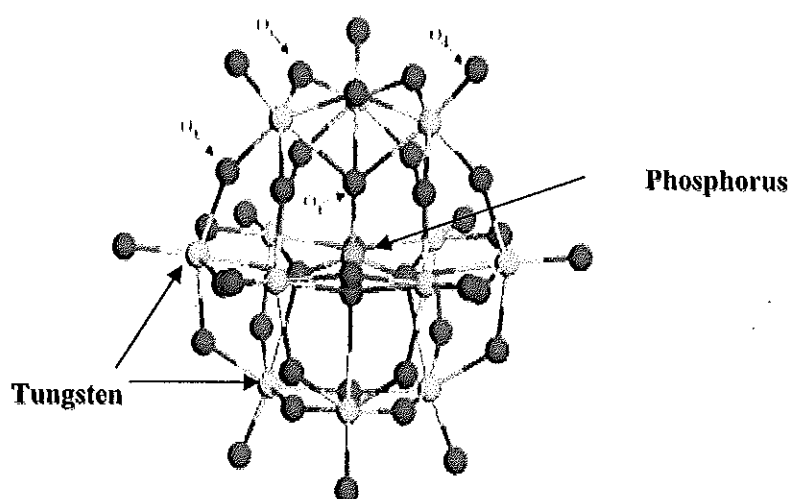
ฟอสฟอทังสติก แอดซิด เป็นตัวเร่งปฏิกิริยาของแม่เหล็กยอนอะบีนีติยา ไมสูตรโนเมเลกุล คือ $12\text{WO}_3\text{H}_3\text{PO}_4 \cdot x\text{H}_2\text{O}$ สามารถละลายได้ในน้ำ (Water), อะเซตอีน (Acetone) และไดเอթิลเอเทอร์ (Diethyl Ether) ไม่ละลายในตัวที่ละลายอินทรีที่ไม่มีชาร์จ (non-Polar Organic Solvents) ฟอสฟอทังสติก แอดซิด เป็นตัวเร่งปฏิกิริยาที่มีความเสถียรและมีความแรงของกรดสูง (Pasi A. Jalil *et al.*, 2003) นอกจากจะใช้เป็นตัวเร่งปฏิกิริยาแล้วยังใช้เป็น Reagent ในการวิเคราะห์ทางเคมีและชีวภาพ ใช้ในอุตสาหกรรมเม็ดสี เป็นสารเติมแต่งในบางอุตสาหกรรม เป็นตัวค้านทานน้ำในพลาสติกและใช้เป็นตัวประisan (Chem-Supplyty Ltd., 2004)

จากคุณสมบัติทางกายภาพของฟอสฟอทังสติก แอดซิด (HPW) นั้นพบว่าเป็นตัวออกซิไดซ์ที่ดีและโครงสร้างที่มีความพิเศษคือมีทั้ง Primary และ Secondary Structure

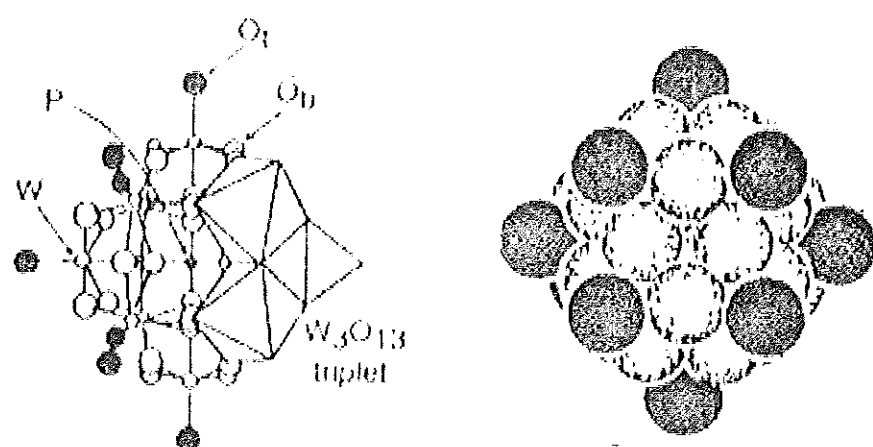
(1) Primary Structure

Primary Structure เกิดขึ้นจากการจับตัวกันของแอนิโอดอน ซึ่งมีโครงสร้างแบบ Keggin หรือมีลักษณะแบบลูกบาศก์ต่อเชื่อมกัน มีสูตรโนเมเลกุล $\text{XM}_{12}\text{C}_{40}^{n-}$ การศึกษาส่วนใหญ่นั้นสารมีความเสถียรและเป็นกรดแก่ โดย Keggin Unit จะประกอบด้วยอะตอนกลางของ XO_4 เป็นรูปทรงสี่หน้าและล้อมรอบด้วย 12 ของ MO_6 เป็นรูปทรงแปดหน้า อะตอนกลางของ X เป็นฟอสฟอรัส และมีออกซิเจน 4 ชนิด ในโครงสร้างคือ Central Tetrahedron (O_4) และมีส่วนของออกซิเจน 12 อะตอนเชื่อมต่อกันกับ Addenda atoms โดยไม่มีการร่วมกับอะตอนกลางของออกซิเจนซึ่งเรียกว่าเป็น Corner-Sharing (O_6) และมีอีก 12 อะตอนที่เชื่อมต่อกันกับ Addenda Atoms 2 อะตอนเหมือนกับอะตอนกลางของออกซิเจน เรียกว่า Endeg-Sharing (O_6) และ 12 อะตอนออกซิเจนที่ปลายสุดคือ Terminal (O_4) ซึ่งการศึกษา Primary Structure ของ $\text{PW}_{12}\text{O}_{40}^{3-}$ หรือเจียนได้

เป็น $H_3O_{40}PW_{12}$ (HPW) โดยมีอะตอมกลางเป็นฟอสฟอรัสและตัวของ Addenda Atom เป็นทังสแตน ซึ่งแสดงคังภาพประกอบที่ 1 และภาพประกอบที่ 2



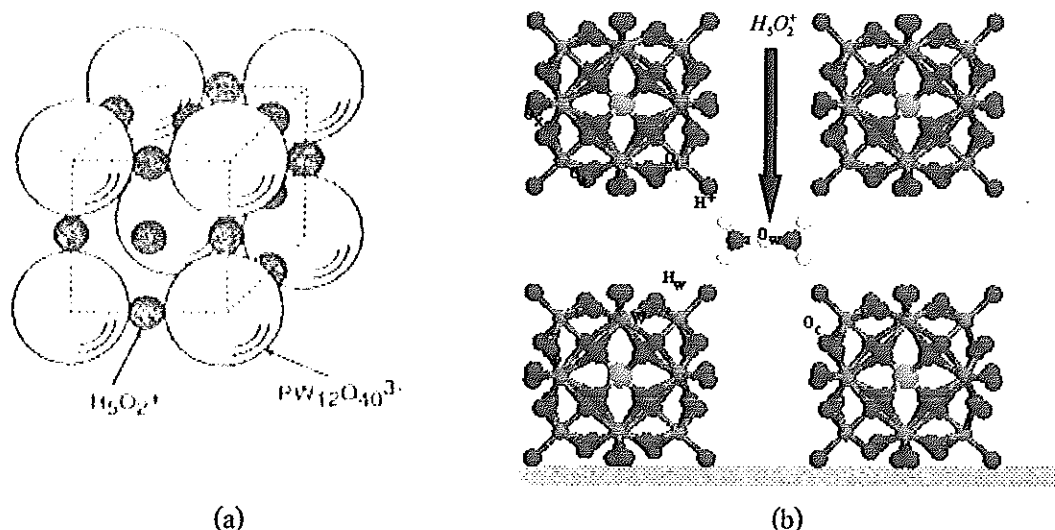
ภาพประกอบที่ 1 แสดงตำแหน่งของออกซิเจนทั้งสี่ชนิดใน Keggin Unit
ที่มา: <http://www.people.virginia.edu>



ภาพประกอบที่ 2 แสดงลักษณะ Primary Structure ของ $H_3O_{40}PW_{12}$ (HPW)
ที่มา : Mizuno และ Misono (1998)

(2) Secondary Structure

Secondary Structure เกิดจากการรวมตัวกันของ Keggin Unit ด้วยการเชื่อมต่อ คิวบิกโปรตอน (Proton) หรือชี้วัดของน้ำ โดยไม่เลกุดของน้ำต่อ กับ Keggin Unit ที่จุดแหลมทิช โดย การเชื่อมต่อ โดยไฮเดรตโปรตอน ($H_3O_2^+$) โดยที่เทอร์มินอลออกซิเจน (Terminal Oxygen, O_t) จะมี พันธะการต่อ กับไฮโดรเจนอะตอมของ $H_3O_2^+$ ดังแสดงในภาพประกอบที่ 3



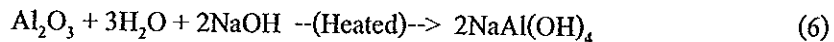
ภาพประกอบที่ 3 แสดง Secondary Structure ของ $H_3O_2^+PW_{12}$ (HPW)

ที่มา: (a) Mizuno และ Misono (1998)

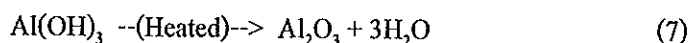
(b) <http://www.people.virginia.edu>

(3) อะลูมิเนียมออกไซด์ (Aluminum Oxide)

อะลูมิเนียมออกไซด์เป็นสารประกอบเคมีของอะลูมิเนียมและออกซิเจน มีสูตรเคมี ดังนี้ Al_2O_3 มีมวลโมเลกุลเท่า 101.96 g/mol จุดหลอมเหลว 2030 °C จุดเดือด 2977 °C ไม่ละลาย ในน้ำ ละลายได้เล็กน้อยในกรดและด่าง ในทางเคมีมีคุณสมบัติและหนึ่งเรียกว่า อะลูมินา (Alumina) อะลูมิเนียมออกไซด์เป็นส่วนประกอบหลักของแร่บอกราไซด์ (Bauxite) หรือ แร่อะลูมิเนียม ในอุตสาหกรรมบอกราไซด์ถูกทำให้บริสุทธิ์เป็นอะลูมิเนียมออกไซด์ โดยกระบวนการไบเออร์ (Bayer Process) และเปลี่ยนเป็นโลหะอะลูมิเนียมโดย กระบวนการยอดล์-ชีรูลต์ (Hall-Heroult Process) บอกราไซด์ที่ไม่บริสุทธิ์จะประกอบด้วย $Al_2O_3 + Fe_2O_3 + SiO_2$ โดยกระบวนการไบเออร์ดังสมการที่ 6



Fe_2O_3 ไม่ละลายในค่าง ส่วน SiO_2 จะละลายเป็นซิลิกาต์ (Silicate) Si(OH)_6^- โดยการกรอง Fe_2O_3 จะถูกกำจัดออก เมื่อเติมกรดลงไป Al(OH)_3 จะตกตะกอนซิลิกาต์ (Silicate) จะเหลืออยู่ในสารละลาย ดังสมการที่ 7



โดยที่ Al_2O_3 ก็คือ อะลูมินา (Alumina)

2.6 อัตราเร็วปฏิกิริยา

อัตราเร็วปฏิกิริยา หมายถึง การเปลี่ยนแปลงเชิงมวลหรือจำนวน โนลเนื่องจากปฏิกิริยาของสารทำปฏิกิริยาหรือผลิตภัณฑ์ต่อเวลาต่อปริมาตรของสารผ่านในปฏิกิริยา

ถ้าให้ i เป็นชนิดของสาร (Species) ใด ๆ ในปฏิกิริยาอัตราเร็วปฏิกิริยาตามสาร i เวียนเป็นสมการได้ดังนี้

$$r_i = \frac{1}{V} \frac{dn_i}{dt} = \frac{dC_i}{dt} \quad (8)$$

เมื่อ r_i ก็คือ อัตราเร็วปฏิกิริยา

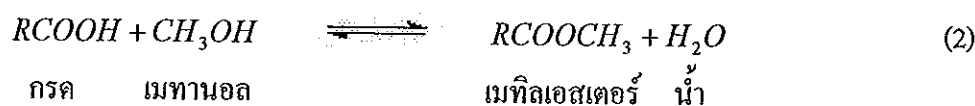
V ก็คือ ปริมาตรของถังปฏิกิริยา

dn_i ก็คือ จำนวน โนลที่เปลี่ยนแปลง

dt ก็คือ เวลาที่ใช้ทำปฏิกิริยา

dC_i ก็คือ ความเข้มข้นที่เปลี่ยนแปลง

ในงานวิจัยนี้จะทำการศึกษาจานวนผลศาสตร์ของกระบวนการเอสเตอริฟิเคชัน



จากปฏิกิริยาเอสเตอริฟิเคชัน (Esterification) อัตราการหายไปของกรด (RCOOH) เวียนได้เป็น

$$-r_{RCOOH} = -\frac{d[RCOOH]}{dt} = k_{fw}[RCOOH]^\alpha [CH_3OH]^\beta - k_{bw}[RCOOCH_3]^\gamma [H_2O]^\lambda \quad (9)$$

เมื่อ α เป็นอันดับของปฏิกิริยาที่เกี่ยวข้องกับ RCOOH
 β เป็นอันดับของปฏิกิริยาที่เกี่ยวข้องกับ CH₃OH
 γ เป็นอันดับของปฏิกิริยาที่เกี่ยวข้องกับ RCOOH₃
 λ เป็นอันดับของปฏิกิริยาที่เกี่ยวข้องกับ H₂O
 k_{fw}, k_{bw} เป็นค่าคงที่ปฏิกิริยาไปข้างหน้าและปฏิกิริยาผันกลับ ไม่
 ขึ้นกับความเข้มข้นของสารทำปฏิกิริยาแต่ขึ้นกับอุณหภูมิ

2.7 สมการอาร์เรเนียส (Arrhenius Equation)

ในปี ก.ศ. 1889 สวันเด อาร์เรเนียส แสดงให้เห็นว่าค่าคงที่ปฏิกิริยาขึ้นอยู่กับ อุณหภูมิ ดังสมการ

$$k = A e^{-E_a/RT} \quad (10)$$

เมื่อ E_a คือ พลังงานก่อตัวมันต์ของปฏิกิริยา (J/mol)
 R คือ ค่าคงที่ของแก๊ส (เท่ากับ 8.314 J/K.mol)
 T คือ อุณหภูมิสัมบูรณ์ (K)
 e คือ ฐานของลอการิทึมธรรมชาติ
 A คือ ความถี่ของการชน เรียกว่าแฟกเตอร์ความถี่ (Frequency Factor)

มีค่าคงที่ในช่วงอุณหภูมิที่กว้างพอควรสำหรับแต่ละปฏิกิริยา

สมการที่ (10) เรียกว่าสมการอาร์เรเนียส (Arrhenius Equation) ซึ่งบอกให้เรา ทราบว่าค่าคงที่อัตราแปรผันกับ A หรือความถี่ของการชน โดยตรง นอกจากนี้การที่มีเครื่องหมาย ลบอยู่หน้า E_a/RT แสดงว่าค่าคงที่อัตราลดลงเมื่อพลังงานก่อตัวมันต์มีค่าสูงขึ้นและเมื่ออุณหภูมิ สูงขึ้นอาจเพิ่มสมการนี้ใหม่ในรูปของลอการิทึมธรรมชาติ ดังนี้

$$\begin{aligned}\ln k &= \ln A e^{-E_a/RT} \\ \ln k &= \ln A - \frac{E_a}{RT}\end{aligned}\quad (11)$$

สังเกตว่าสมการที่ (11) เปลี่ยนเป็นสมการเส้นตรงได้ คือ

$$\ln k = \left(-\frac{E_a}{R} \right) \frac{1}{T} + \ln A \quad (12)$$

$$y = mx + b \quad (13)$$

$$\text{โดยที่ } y = \ln k, m = \left(-\frac{E_a}{R} \right), x = \frac{1}{T}, b = \ln A$$

ดังนั้น เมื่อเปลี่ยนกราฟระหว่าง $\ln k$ กับ $\frac{1}{T}$ จะได้เส้นตรงที่มีความชันเท่ากับ $\left(-\frac{E_a}{R} \right)$ และมีจุดตัดแกนต์ซึ่งเท่ากับ $\ln A$

2.8 การวิเคราะห์ข้อมูลด้วยโปรแกรมสำเร็จรูป Polymath 6.0 Professional

เนื่องจากโปรแกรม Polymath 6.0 Professional เป็นโปรแกรมที่ใช้งานง่าย สามารถวิเคราะห์ข้อมูลแบบเชิงเส้นและไม่เชิงเส้น

การกำหนดอันดับปฏิกิริยาหรือค่าคงที่ปฏิกิริยาทำได้อย่างง่ายดายด้วย Polymath 6.0 Professional เพียงแต่ใส่ผลการทดลองในโปรแกรม แล้วกำหนดแบบจำลองของสมการอัตราเร็วปฏิกิริยา จากนั้นโปรแกรมจะทำการคำนวณค่าพารามิเตอร์ของแบบจำลองสมการอัตราเร็ว ปฏิกิริยาที่ต้องการ โปรแกรมนี้มีการคำนวณช่วงความน่าเชื่อถือ 95% และความแปรปรวน (Variance) ไว้ด้วย ดังนั้นจึงช่วยในการตัดสินใจว่าพารามิเตอร์ที่คำนวณได้นั้นเป็นค่าที่เหมาะสมหรือไม่

2.9 การหาร้อยละการเปลี่ยน (%Conversion)

ในทางปฏิบัติหรือในทางอุตสาหกรรมที่เกี่ยวกับปฏิกิริยาเคมี จะพบว่าปฏิกิริยาไม่ได้ถูกดำเนินไปจนครบทั้งสารตั้งต้นที่เข้าทำปฏิกิริยาได้ถูกใช้ไปอย่างสมบูรณ์ ดังนั้นจึงมีเกณฑ์กำหนดว่าปฏิกิริยานั้น ๆ มีการเปลี่ยนแปลงเท่าใด โดยจะใช้ร้อยละการเปลี่ยน หรือ %Conversion เป็นตัวกำหนด ในงานวิจัยนี้จะใช้ %Conversion ของ Free Fatty Acid (FFA) เป็นตัวกำหนด ซึ่งคำนวณได้จาก

$$\text{%Conversion ของ FFA} = \frac{\text{จำนวนโมลของ FFA ที่ทำปฏิกิริยา}}{\text{จำนวนโมลของ FFA ที่ป้อนเข้า}} \times 100 \quad (14)$$

หรือ

$$\text{%Conversion ของ FFA} = \frac{n_1 - n_2}{n_1} \times 100 \quad (15)$$

เมื่อ n_1 คือ จำนวนโมลของ FFA ที่เข้าระบบ
 n_2 คือ จำนวนโมลของ FFA ที่ออกจากระบบ

บทที่ 3

วัสดุ อุปกรณ์และวิธีการ

3.1 วัสดุ

3.1.1 วัตถุดิน คือ น้ำมันปาล์มดิน นำมาจากโครงการส่งเสริมอุตสาหกรรมน้ำมันปาล์ม ขนาดเด็กตามพระราชดำริ มหาวิทยาลัยสงขลานครินทร์ วิทยาเขตหาดใหญ่ โดยลักษณะภายนอก มีสีส้มและมีลักษณะเป็นของเหลวที่อุณหภูมิห้อง

3.1.2 สารเคมี

- (1) เมทานอล CH_3OH Commercial Grade, Fish hook บริษัทศรีไทยเกย์ม-อินพอร์ต จำกัด มีน้ำ 6%
- (2) ฟอสฟอยท์สติกแอดซิດ (HPW) Lot & Filling Code 1218495 43805112, Fluka
- (3) อะลูมิเนียมออกไซด์ (Al_2O_3), Riedel-de Haen AG D-30926 seelze
- (4) น้ำมันพาราฟิน (Liq Paraffin BP.), B.L.Hua & Co.,Ltd
- (5) กรดซัลฟิวริก (H_2SO_4) H_2SO_4 A.R., code no. 1.00731, Merck

3.2 อุปกรณ์

3.2.1 เครื่องมือวิเคราะห์

(1) เครื่องมือวิเคราะห์ X-Ray Diffraction (XRD) PW 3710 mpd control wide anglegoniometer, Ni-filtered Cu K radiation at 30 kV and 25 MA, Philips, Amello, Netherland. เป็นเครื่องมือวิเคราะห์ที่ใช้รังสีเอ็กซ์ที่ทราบความยาวคลื่น ไปกระทบอนุภาค หรือวัตถุที่มุ่งตั้ง ๆ กัน โดยมี Detector เป็นตัวรับข้อมูล ซึ่งสารที่ต่างชนิดกันทำให้เกิดการเลี้ยวเบนของรังสีต่างกันที่มุ่ง องค์ต่างกัน ทำให้ทราบรูปแบบโครงสร้างของผลึก อีกทั้งยังสามารถหาขนาดอนุภาคอย่างคร่าว ๆ ได้ โดยใช้เครื่องมือวิเคราะห์ XRD ที่ สูนย์เครื่องมือวิทยาศาสตร์ มหาวิทยาลัยสงขลานครินทร์

(2) เครื่องมือวิเคราะห์ Scanning Electron Microscope (SEM) JEOL JSM-5800LV, Highvacuum mode เป็นกล้องอิเล็กตรอนแบบส่องกระดาษที่ใช้ในการศึกษาลักษณะ

โครงสร้าง หรือองค์ประกอบของพื้นผิวโดยอาศัยการ觀ดของลำอิเล็กตรอนไปบนผิวสัมผัส การใช้แสงธรรมชาติซึ่งจะทำให้มีกำลังขยายสูงกว่ากล้องจุลทรรศน์ธรรมชาติ โดยสามารถขยายภาพได้มากกว่า 1,000 เท่า จนถึงระดับ 100,000 เท่าขึ้นไป โดยใช้เครื่องมือวิเคราะห์ SEM ที่ศูนย์เครื่องมือวิทยาศาสตร์ มหาวิทยาลัยสงขลานครินทร์

(3) เครื่องมือวิเคราะห์ Fourier-transformed infrared spectrophotometer (FT-IR) Pellet (KBr), EQUINOX55, Bruker, Germany. เป็นเครื่องมือวิเคราะห์หมุนผิงก์ชันของสารประกอบโดยใช้เครื่องมือวิเคราะห์ FT-IR ที่ศูนย์เครื่องมือวิทยาศาสตร์ มหาวิทยาลัยสงขลานครินทร์

(4) เครื่องมือวิเคราะห์ Gas Chromatography / Mass Spectrometry (GC-MS) HP 5890 GasChromatograph-HP 5972 Mass Selective เป็นเครื่องมือที่ใช้วิเคราะห์ชนิดของสารตัวอย่างที่มีปริมาณน้อยมาก สามารถวิเคราะห์มวลได้ในช่วง 2 -700 amu และมีการแยกแยะรายละเอียด 0.1amu วิเคราะห์ประกอบด้วยตู้แยกสารประกอบที่สามารถควบคุมอุณหภูมิถึง 300 องศาเซลเซียส และที่มีความละเอียด 1 องศาเซลเซียส มีหัววัดการดูดกลืนของแสงยานอินฟราเรด (infrared detector) เก็บบันทึกข้อมูลด้วยคอมพิวเตอร์ มีสเปคลัมมวลสารมาตรฐาน (Standard Library Spectra) พร้อมโปรแกรมค้นหา (Library search) เพื่อใช้ในการแยกแยะชนิดและวิเคราะห์หาส่วนประกอบของสารตัวอย่างรวมเร็วๆ ก็ต้องและแม่นยำ โดยใช้เครื่องมือวิเคราะห์ GC-MS ที่ศูนย์เครื่องมือวิทยาศาสตร์ มหาวิทยาลัยสงขลานครินทร์

(5) เครื่องมือวิเคราะห์ Thin Layer Chromatography/Hydrogen Flame Ionization Detection (TLC/FID), Iatroscan Model MK-6s เป็นเครื่องมือวิเคราะห์ที่ใช้สำหรับแยกองค์ประกอบของสารเนื้อเดียวที่มีองค์ประกอบของสารตั้งแต่ 2 ชนิด ขึ้นไป ละลายในของเหลวเดียวกัน โดยอาศัยหลักการว่า สารแต่ละชนิดมีความสามารถในการละลายต่างกัน และมีสมบัติในการซึมผ่านตัวดูดซับบางชนิดต่างกัน ดังนั้นเครื่องมือวิเคราะห์ TLC/FID จึงประกอบด้วยส่วนสำคัญ 2 ส่วน คือ ตัวดูดซับและตัวทำละลาย การใช้ TLC/FID แยกสารเนื้อเดียวชนิดเดียว กัน แต่ใช้ตัวดูดซับหรือตัวทำละลายต่างกัน อาจทำให้ผลที่ได้ต่างไปด้วย ซึ่งสารที่ถูกดูดซับได้น้อยจะเคลื่อนที่ไปได้ไกล สารที่ถูกดูดซับได้มากจะเคลื่อนที่ไปได้ใกล้ โดยใช้เครื่องมือวิเคราะห์ TLC/FID ที่ภาควิชาวิศกรรมเครื่องกล คณะวิศวกรรมศาสตร์ มหาวิทยาลัยสงขลานครินทร์

(6) เครื่องมือวิเคราะห์หาปริมาณน้ำในสารตัวอย่าง (Karl Fisher) เป็นเครื่องวัดปริมาณน้ำตัวอย่าง โดยฉีดสารตัวอย่างลงไปในสารละลายไอโอดีต ทำให้ไอโอดีตเกิดการสูญเสียอิเล็กตรอนให้แก่สารละลายและไอโอดีตซึ่งในสารละลายแคลไทโอลิตจะมีไฮโดรเจนไอออนอยู่ทำให้มีไฮโดรเจนไอออนรับอิเล็กตรอนจากลายเป็นแก๊สไฮโดรเจน ซึ่งเครื่อง Karl Fisher นี้จะ

วัดปริมาณน้ำจากปริมาณอิเล็กตรอนที่ “ไอ ไอ ไดต์สูญเสีย” ไป โดยใช้เครื่องมือวิเคราะห์ Karl Fisher ที่ภาควิชาวิศกรรมเคมี คณะวิศวกรรมศาสตร์ มหาวิทยาลัยสงขลานครินทร์

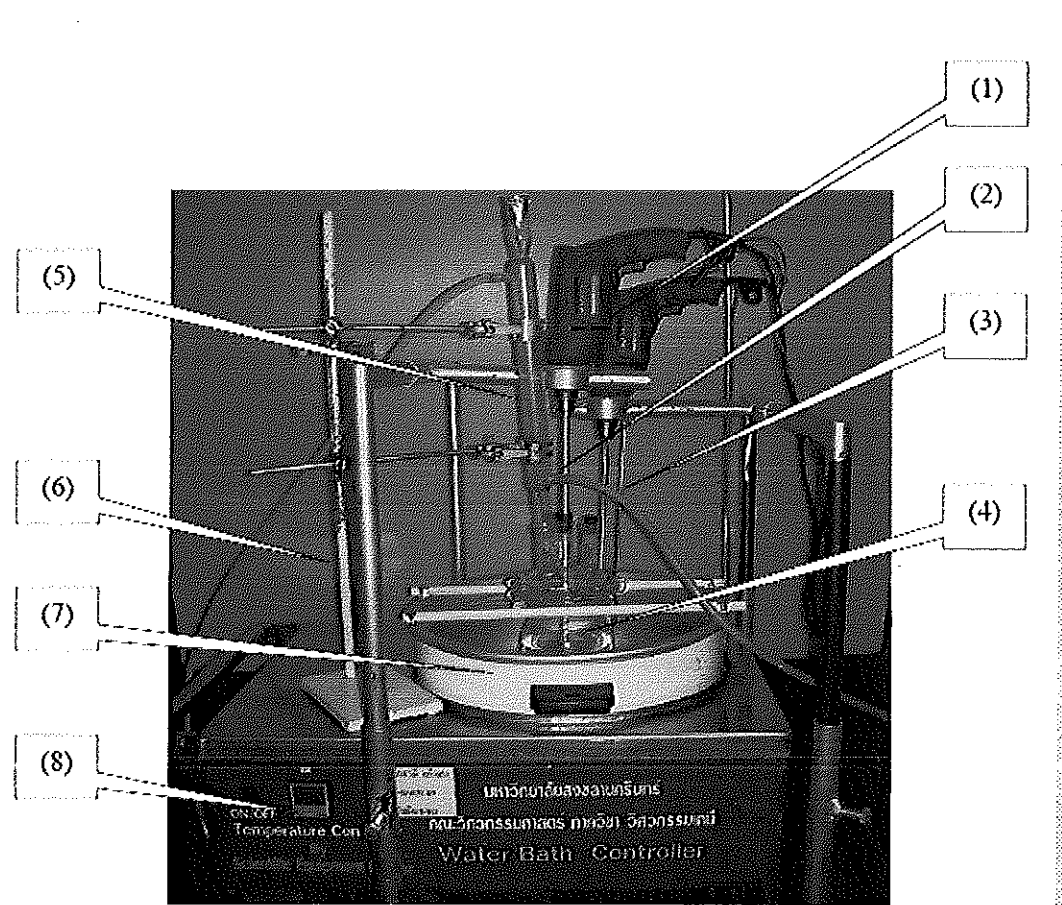
3.2.2 อุปกรณ์ที่ใช้ในการทำปฏิกิริยา

อุปกรณ์ที่ใช้ในการทำปฏิกิริยานี้ เป็นอุปกรณ์ที่ประยุกต์ขึ้นมา ซึ่งประกอบด้วย

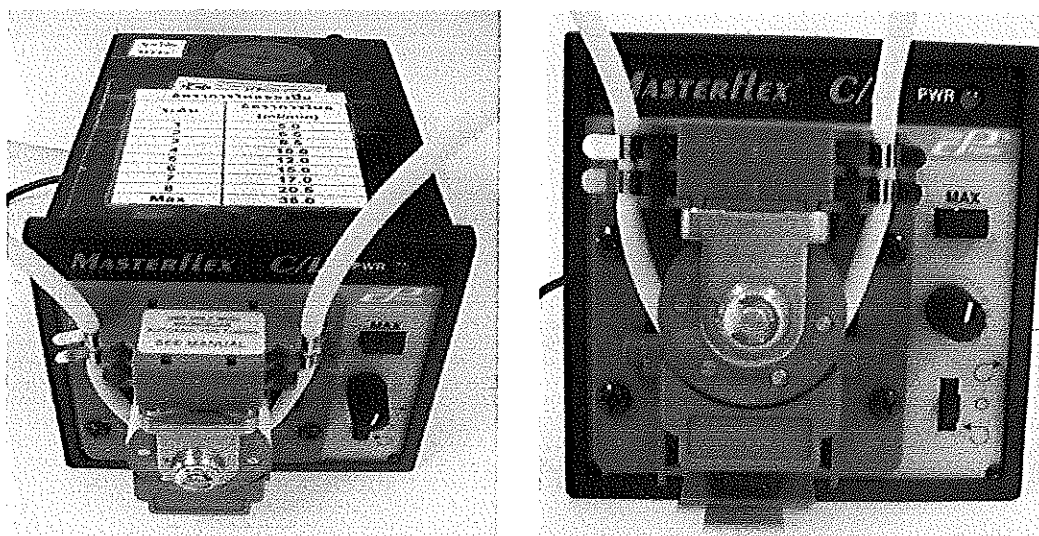
- (1) ส่วน 230V- 50 – 60 Hz 350W, Bosch ใช้สำหรับเป็นมอเตอร์ให้ใบพัดทำงานได้ สามารถปรับความเร็วรอบได้
- (2) ใบพัดกวน ใช้สำหรับให้สารผสมกันได้
- (3) Thermocouple Type CA (K) ใช้สำหรับวัดอุณหภูมิในถังปฏิกิริยา
- (4) Reactor ขนาด 1 ลิตร ใช้สำหรับรองรับสารที่จะทำปฏิกิริยา
- (5) Reflux Condenser ใช้สำหรับให้เมทานอลที่ระเหยควบแน่นกลับไปชั้ง

Reactor

- (6) ขาตั้ง ใช้สำหรับยึดจับ Reflux Condenser
- (7) หม้อหุงข้าวขนาด 7 ลิตร ตัดแปลงเพื่อใช้เป็น Oil Bath
- (8) ตัวควบคุมอุณหภูมิ ใช้สำหรับควบคุมอุณหภูมิในปฏิกิริยา ความคลาดเคลื่อนเท่ากับ $\pm 1^{\circ}\text{C}$ ตั้งแสดงในภาพประกอบที่ 4
- (9) ปั๊ม (Peristatic Pump, Masterflex) ใช้สำหรับดึงสารตัวอย่าง ดังแสดงในภาพประกอบที่ 5
- (10) Pharmed Tubing, Masterflex ทนอุณหภูมิได้ $-59^{\circ}\text{C} - 135^{\circ}\text{C}$ ใช้สำหรับเป็นสายในการดึงสารตัวอย่าง ดังแสดงในภาพประกอบที่ 6
- (11) Timer “ELTIMO 020S” 230 V AC $\pm 10\%$ 45-60 Hz ใช้สำหรับควบคุมเวลาในการดึงสารตัวอย่างของ Peristatic Pump ดังแสดงในภาพประกอบที่ 7



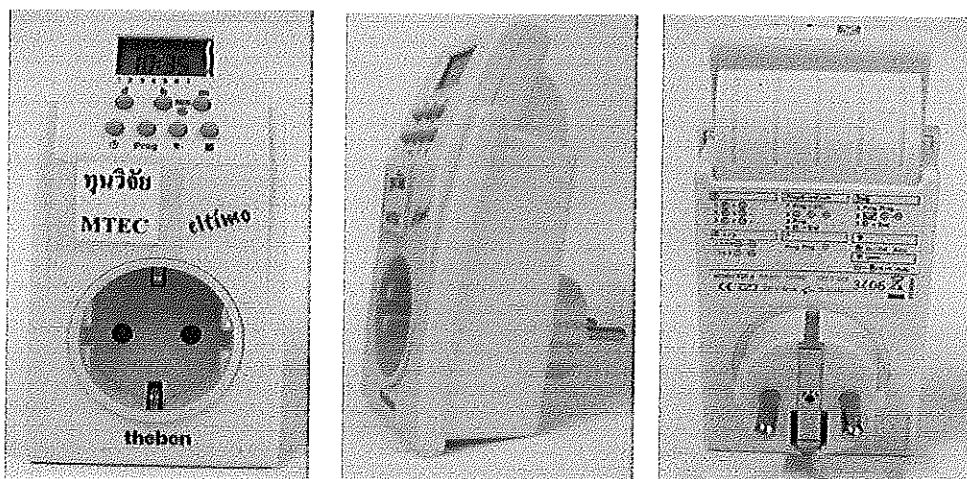
ภาพประกอบที่ 4 Reactor สำหรับการทำปฏิกิริยา



ภาพประกอบที่ 5 ปั๊ม (Peristatic Pump)



ภาพประกอบที่ 6 Pharmed Tubing



ภาพประกอบที่ 7 Timer "ELTIMO 020S"

3.2.3 อุปกรณ์ที่ใช้ในการเตรียม Catalyst

- (1) บิวเร็ต
- (2) โถดูดความชื้น (Desiccator)
- (3) หลอด灭菌
- (4) ขวดวัดปริมาตร (Volumetric flask)
- (5) นีกเกอร์

- (6) งานแพะเชือ
- (7) ตัวจับบีด (Clamp) และขาตั้ง
- (8) ช้อนตักสาร
- (9) แท่งแก้วคน

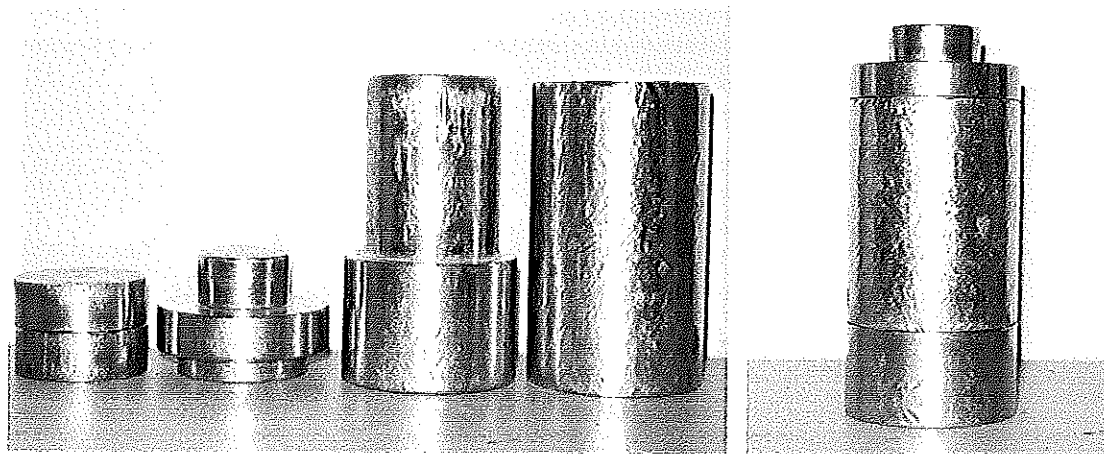
3.3 วิธีการศึกษา

3.3.1 การเตรียมตัวเร่งปฏิกิริยา

- (1) นำ HPW และ Al_2O_3 ไปอบไว้ที่ อุณหภูมิ 70°C เป็นเวลา 24 ชั่วโมงแล้วนำมาเก็บไว้ในโถดูความชื้น จนกระทั่งสารเย็นตัว
- (2) นำ Al_2O_3 ไปหา Wetness Point โดยทำการทดลองตัวอย่างละ 3 กรัม แล้วนำมาหาค่าเฉลี่ย
- (3) ทำการคำนวณหาปริมาณของสารละลายที่ต้องใช้ต่อสารทั้งหมด ที่ய่อร์เซ็นต์ HPW ต่าง ๆ กัน โดยการทดลองนี้ใช้ที่ 5%, 10%, 15%, 20% และ 30% HPW/ Al_2O_3 โดยนำหนัก
- (4) เตรียมสารละลาย HPW ที่แต่ละ %HPW ซึ่งมีปริมาณเท่ากับปริมาณที่ Wetness Point ของแต่ละ %HPW นั้น ๆ
 - (5) ทำการ Support สารละลาย HPW ลงบน Al_2O_3 ตาม %HPW ที่กำหนดไว้
 - (6) นำไปอบที่ 70°C เป็นเวลา 24 ชั่วโมง
 - (7) เก็บสารตัวอย่างไว้ในโถดูความชื้น เพื่อป้องกันความชื้น
 - (8) นำสารตัวอย่างไปวิเคราะห์ด้วย SEM FT-IR และ XRD
 - (9) นำตัวเร่งปฏิกิริยาไปอัด

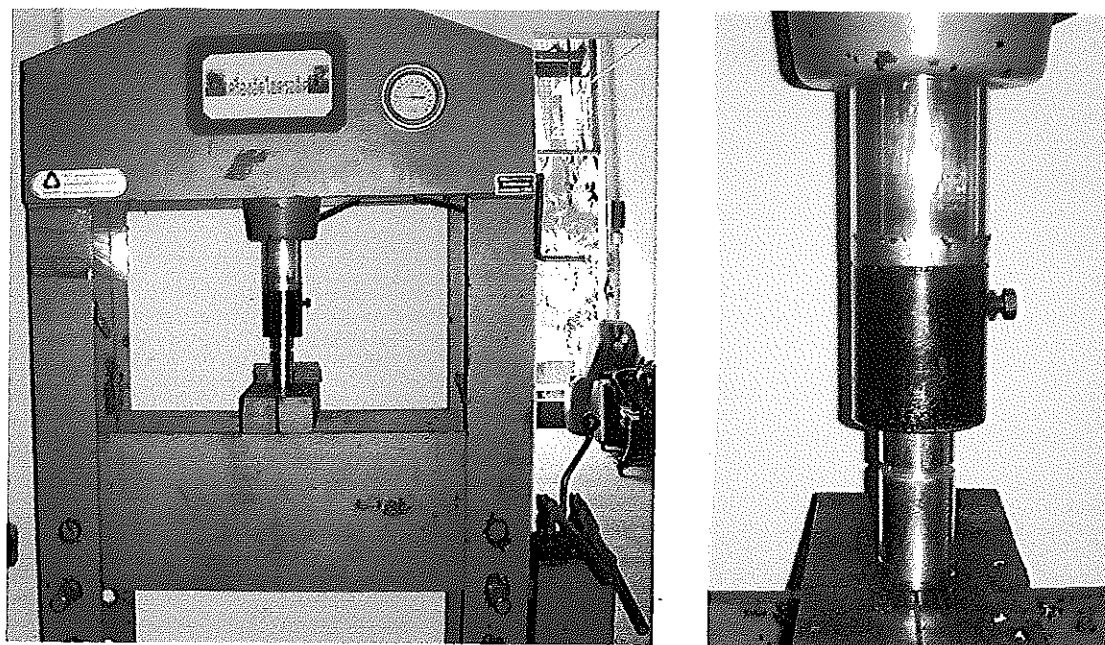
3.3.2 ขั้นตอนการอัดตัวเร่งปฏิกิริยา

- (1) นำผงตัวเร่งปฏิกิริยาใส่ในเม็ดอัด แล้วปิดฝา ดังภาพประกอบที่ 8



ภาพประกอบที่ 8 แสดงเบ้าอัดตัวเร่งปฏิกิริยา

(2) อัดด้วยความดันประมาณ 20 Ton/in^2 ให้กดลงที่เบ้าอัด โดยใช้เครื่องอัดไฮดรอลิก (Hydraulic Press) ใช้เวลาในการอัดประมาณ 30 นาที อัดซ้ำทุก ๆ 5 นาที เพื่อให้การอัดเกิดขึ้นอย่างสมบูรณ์



ภาพประกอบที่ 9 แสดงเครื่องอัดไฮดรอลิก

(3) นำตัวเร่งปฏิกิริยาที่เป็นแผ่นออกจากเบ้าอัด แล้วทำให้แตก

(4) นำตัวเร่งปฏิกิริยาที่แตกไปร่อนตะแกรง (20/42 Mesh) จะได้ตัวเร่งปฏิกิริยาที่มีขนาดเท่า ๆ กัน ขนาดของตัวเร่งปฏิกิริยาสามารถคำนวณได้จากสมการ

$$\overline{D}_{pi} = \frac{D_{pi} + D_{pi+1}}{2}$$

เมื่อ

$$D_{pi} = \text{ขนาดรูเปิดของตะแกรงที่ } i = 0.833 \text{ mm (20 Mesh)}$$

$$D_{pi+1} = \text{ขนาดรูเปิดของตะแกรงที่ } i+1 = 0.351 \text{ mm (42 Mesh)}$$

$$\overline{D}_{pi} = \text{ขนาดเฉลี่ยของอนุภาคที่ผ่านตะแกรง } i+1 \text{ แต่ถ้างอยู่บนตะแกรง } i$$

$$\overline{D}_{pi} = \frac{0.833 + 0.351}{2} = 0.592 \text{ mm}$$

ดังนั้น ขนาดเฉลี่ยของอนุภาคที่ใช้เท่ากับ 0.592 มิลลิเมตร

3.3.3 ศึกษาคุณสมบัติของตัวเร่งปฏิกิริยาโดยใช้เทคนิคต่างๆ

- (1) ศึกษาโครงสร้างของตัวเร่งปฏิกิริยาโดยใช้ XRD
- (2) ศึกษาลักษณะพื้นผิวของตัวเร่งปฏิกิริยาโดยใช้ SEM
- (3) ศึกษานิวฟิงก์ชันของตัวเร่งปฏิกิริยาโดยใช้ FT-IR

3.3.4 ศึกษาปัจจัยในการผลิตไนโอลีเชล

- (1) ศึกษาองค์ประกอบของน้ำมันปาล์มดิบที่ใช้ในการผลิตเมทิลเอสเตอร์โดยใช้

Gas Chromatography/Mass Spectroscopy

(2) ศึกษา %Conversion ของ FFA ที่ทำปฏิกิริยาเอกสาริฟิเคชันระหว่างน้ำมันปาล์มดิบกับเมทานอลในสภาวะต่าง ๆ โดยการเปลี่ยนแปลงเปอร์เซ็นต์น้ำหนักของฟอสโฟทัจสติก แอซิด ที่อยู่บนอะลูมิเนียมออกไซด์ อัตราส่วนเชิงโน้มของน้ำมันปาล์มดิบคือเมทานอลและอุณหภูมิ

(3) ศึกษาปัจจัยที่มีต่อการลด FFA จากน้ำมันปาล์มดิบโดยใช้ปฏิกิริยาเอกสาริฟิเคชันด้วยตัวเร่งปฏิกิริยา โดยนำน้ำมันปาล์มดิบ ตัวเร่งปฏิกิริยาและเมทานอลที่จะทำการศึกษาใส่ลงในขวดก้นกลมต่อเข้ากับชุดการทดลอง ให้ความร้อนและมีการควบคุมทดลอง

3.3.5 สภาวะที่ใช้ในการทดลอง

(1) เบอร์เซ่น โดยนำหัวนักของฟอสฟอทั่งสติก แอซิด ที่อยู่บนอะลูมิเนียมออกไซด์ ที่แตกต่างกัน 5 ค่า คือ 5%, 10%, 15%, 20% และ 30% HPW/Al₂O₃

(2) อัตราส่วนของน้ำมันปาล์มดิบ (CPO) ต่อมีโซฮอล (MeOH) ที่แตกต่างกัน 5 ค่า โดยใช้สัดส่วนเชิงโน้มของน้ำมันปาล์มดิบต่อมีโซฮอลเป็น 1:5, 1:10, 1:15, 1:20 และ 1:40

(3) อุณหภูมิที่แตกต่างกัน 3 ค่า คือ 60 °C, 70 °C และ 80 °C

ในการทดลองเริ่มต้นจากการทำการทดลองเพื่อหาปริมาณตัวเร่งปฏิกิริยาที่เหมาะสม โดยกำหนดให้อัตราส่วนเชิงโน้มของน้ำมันปาล์มดิบ (CPO) ต่อมีโซฮอล (MeOH) อุณหภูมิ และเบอร์เซ่นโดยนำหัวนักของฟอสฟอทั่งสติก แอซิด บนอะลูมิเนียมออกไซด์มีค่าคงที่ และทำการเปลี่ยนนำหัวนักของตัวเร่งปฏิกิริยา เมื่อได้ปริมาณของตัวเร่งปฏิกิริยาที่เหมาะสมแล้วจะทำการศึกษาผลของเบอร์เซ่นโดยนำหัวนักของฟอสฟอทั่งสติก แอซิด บนอะลูมิเนียมออกไซด์ กำหนดให้อัตราส่วนเชิงโน้มของน้ำมันปาล์มดิบ (CPO) ต่อมีโซฮอล (MeOH) อุณหภูมิ และปริมาณของตัวเร่งปฏิกิริยาคงที่ ทำการเปลี่ยนเบอร์เซ่นโดยนำหัวนักของฟอสฟอทั่งสติก แอซิด บนอะลูมิเนียมออกไซด์ หลังจากนั้นทำการทดลองเพื่อคุณลักษณะของอัตราส่วนเชิงโน้มของน้ำมันปาล์มดิบ ต่อมีโซฮอล โดยใช้ปริมาณตัวเร่งปฏิกิริยา เบอร์เซ่นโดยนำหัวนักของฟอสฟอทั่งสติก แอซิด บนอะลูมิเนียมออกไซด์ ในการทดลองที่ผ่านมา และใช้อุณหภูมิกองที่ทำการทดลองโดยเปลี่ยนอัตราส่วนเชิงโน้มของน้ำมันปาล์มดิบต่อมีโซฮอล เมื่อได้ผลของอัตราส่วนที่เหมาะสมแล้วก็จะทำการทดลองขึ้นต่อไป คือ ทำการศึกษาผลของอุณหภูมิ โดยจะใช้ข้อมูลจากผลการทดลองที่ผ่านมา ทำการเปลี่ยนแปลงอุณหภูมิในการทดลอง ซึ่งกระบวนการทดลองแสดงได้ดังตารางที่ 4

ตารางที่ 3 แสดงกระบวนการทดลอง

อัตราส่วนเชิงโน้ม (CPO/MeOH)	อุณหภูมิ (°C)	HPW/Al ₂ O ₃ (%)	ตัวเร่งปฏิกิริยา (g/25 g CPO)
1:40	70	15	2
1:40	70	15	4
1:40	70	15	6
1:40	70	15	8
1:40	70	15	10

X_1 = จำนวน ตัวเร่งปฏิกิริยา (g) ที่เหมาะสม

อัตราส่วนเชิงโนมล (CPO/MeOH)	อุณหภูมิ (°C)	ตัวเร่งปฏิกิริยา (g/25 g CPO)	HPW/Al ₂ O ₃ (%)
1:40	70	X ₁	5
1:40	70	X ₁	10
1:40	70	X ₁	15
1:40	70	X ₁	20
1:40	70	X ₁	30

X_2 = % HPW/Al₂O₃ ที่เหมาะสม

อุณหภูมิ (°C)	ตัวเร่งปฏิกิริยา (g/25 g CPO)	HPW/Al ₂ O ₃ (%)	อัตราส่วนเชิงโนมล (CPO/MeOH)
70	X ₁	X ₂	1:1
70	X ₁	X ₂	1:5
70	X ₁	X ₂	1:10
70	X ₁	X ₂	1:15
70	X ₁	X ₂	1:20
70	X ₁	X ₂	1:40

X_3 = อัตราส่วนเชิงโนมล (CPO/MeOH) ที่เหมาะสม

ตัวเร่งปฏิกิริยา (g/25 g CPO)	HPW/Al ₂ O ₃ (%)	อัตราส่วนเชิงโนมล (CPO/MeOH)	อุณหภูมิ (°C)
X ₁	X ₂	X ₃	60
X ₁	X ₂	X ₃	70
X ₁	X ₂	X ₃	80

X_4 = อุณหภูมิ ($^{\circ}\text{C}$) ที่เหมาะสม
จะได้สภาวะที่ดีที่สุดเป็น

ตัวเร่งปฏิกิริยา (g/25 g CPO)	HPW/ Al_2O_3 (%)	อัตราส่วนเชิงโมล (CPO/MeOH)	อุณหภูมิ ($^{\circ}\text{C}$)
X_1	X_2	X_3	X_4

3.3.6 ศึกษาปัจจัยด้านจลนพลดศาสตร์ ยัตรารเร็วของปฏิกิริยาที่เกิดขึ้น

โดยปัจจัยด้านจลนพลดศาสตร์ที่ทำการศึกษา ได้แก่

- ค่าคงที่ปฏิกิริยา (Rate Constant, k) ที่อุณหภูมิต่าง ๆ
- แฟกเตอร์ความถี่ (Frequency Factor, A)
- พลังงานก่อก้มมันต์ (Activation Energy, E_a)

โดยใช้ สมการอาเรเนียส (Arrhenius Equation) และวิเคราะห์ข้อมูลด้วย

โปรแกรมสำเร็จรูป Polymath 6.0

(1) ให้ความร้อนแก่น้ำมันปาล์มดินจนถึงอุณหภูมิที่ต้องการ ใส่เมทานอล และ ตัวเร่งปฏิกิริยา

(2) เก็บตัวอย่างในช่วงเวลา 1, 3, 5,...,15, 20, 25,...40, 50, 60,..., 90, 120, 150, นาที

(3) นำตัวอย่างไปวิเคราะห์ด้วย เครื่องมือวิเคราะห์ TLC/FID เพื่อหาปริมาณ เมทิลเอสเตอร์, ไตรกลีเซอไรด์, ไดกลีเซอไรด์ และ โมโนกลีเซอไรด์

(4) วิเคราะห์หาปริมาณ FFA ด้วยการไตรเตรท

(5) วิเคราะห์หาปริมาณน้ำด้วยเครื่องมือวิเคราะห์หาปริมาณน้ำในสารตัวอย่าง (Karl Fisher)

(6) นำข้อมูลทั้งหมดจากการทดลองคำนวณค่าตัวแปร โดยใช้การวิเคราะห์ข้อมูล ด้วยโปรแกรมสำเร็จรูป Polymath 6.0 Professional

(7) วิธีวิเคราะห์และตัวอย่างการคำนวณแสดงดังภาพหน้าก

บทที่ 4

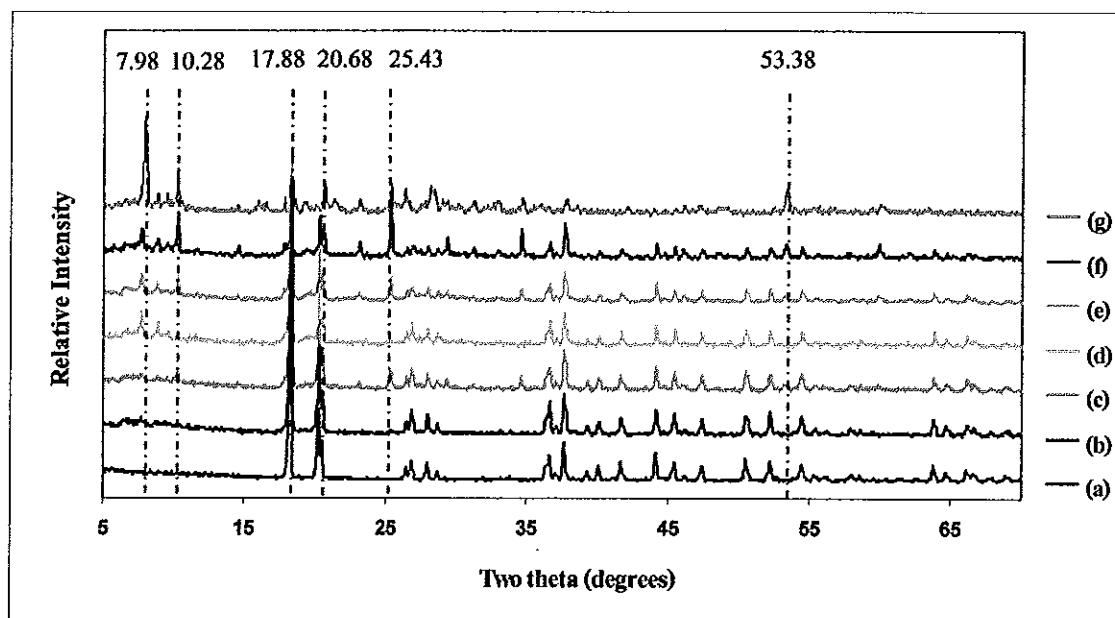
ผลการทดลองและวิจารณ์

4.1 ลักษณะและคุณสมบัติของตัวเร่งปฏิกิริยา

งานวิจัยนี้เป็นการศึกษาจนพัฒนาของปฏิกิริยาເອສເຕອຣີໄປເຂັ້ມສຳຫົວໜ້າໃນໂຄດເຫດຈາກນໍາມັນປາລົມຄົບ ໂດຍໃຊ້ຝອສໄໂຟທັງສະດິກ ແອື້ນອະລຸມີເນີຍມອກໄຊ໌ ເປັນຕົວເຮັດວຽກ ປົກລົງໂຟທັງສະດິກ ແອື້ນອະລຸມີເນີຍມອກໄຊ໌ທີ່ໃຊ້ໃນການທັງສະດິກ ໂດຍໃຊ້ຝອສໄໂຟທັງສະດິກ ແອື້ນອະລຸມີເນີຍມອກໄຊ໌ ທີ່ຈຶ່ງກຳຫານດເປົ່ອຮັບເຫັນວ່າໄດ້ມີການແພຳເຮົາຫຼັງການ HPW/ Al_2O_3 ຕ່າງໆ ດັ່ງນີ້ ຄື່ອ 5%, 10%, 15%, 20% ແລະ 30% ທຳມະນຸດສອບຕົວເຮັດວຽກໂຟທັງສະດິກ ໃຫ້ເກີດໄວ້ເຫັນວ່າ ເພື່ອຢືນຢັນໜີຂອງສາຮ ອູກກະຮະຈາຍຕົວຂອງ HPW/ Al_2O_3 ແລະ ນູ່ຝຶກໜີ້ກັບຕົວເຮັດວຽກ

4.1.1 ศຶກຍາຫນິດຕົວເຮັດວຽກໂຟທັງສະດິກໂດຍໃຊ້ X-Ray Diffraction (XRD)

X-Ray Diffraction method ເປັນວິທີການທີ່ໄປທີ່ໃຊ້ຮັງສີເອັກຊີ້ທີ່ການຄວາມຍາວຄົ່ນໄປກະທນອນຸກາກ ມີວັດຖຸທີ່ນຸ່ມຄ່າງ ຖ້າ ກັນໄດ້ມີ Detector ເປັນຕົວຮັບຂ້ອນຸດ ຜົ່ງສາຮທີ່ຕ່າງໜີກັນທຳໄໝເກີດການເລື່ອງເວັນຂອງຮັງສີຕ່າງກັນທີ່ນຸ່ມອອກຕ່າງກັນ ທຳໄໝການຮູ່ແບນໂຄຮງສ້າງຂອງພລິກ (Crystal Identification) ການຢືນຢັນໜີຂອງສາຮ ໂດຍໃຊ້ ການກະຮະຈາຍຂອງແສງ (Diffraction Pattern) ແສດກວາມສັນພັນຮ່ວາງທີ່ສາຍາການໃຫຍ່ຮັບຮູ່ແບນນຸ່ມອອກ (20) ແລະ ກວາມເຂັ້ມຂົງຂອງແສງ (Intensity) ໂດຍຕົວເຮັດວຽກທີ່ສັງເກຣະທີ່ຈຳເປັນຕ້ອງການກະຮະຈາຍຂອງສາຮເພື່ອກວາມຄຸກຕ້ອງຕາມວັດຖຸປະສົງທີ່ຈຶ່ງພົດພາກການວິຄະະທີ່ໄດ້ໃຊ້ XRD ຂອງ HPW ຂອງຕົວເຮັດວຽກ HPW, Al_2O_3 , ແລະ HPW/ Al_2O_3 ແສດງຄັ້ງກາພປະກອບທີ່ 10

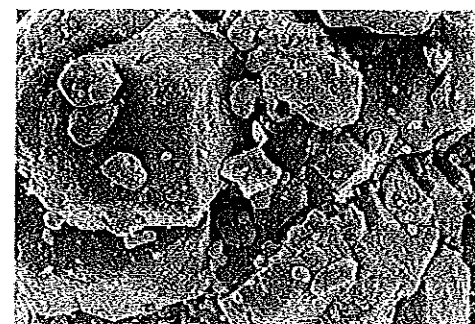


ภาพประกอบที่ 10 แสดง XRD ของตัวเร่งปฏิกิริยา Pure Al₂O₃ (a), 5% HPW/Al₂O₃ (b), 10% HPW/Al₂O₃ (c), 15% HPW/Al₂O₃ (d), 20% HPW/Al₂O₃ (e), 30% HPW/Al₂O₃ (f) และ Pure HPW (g)

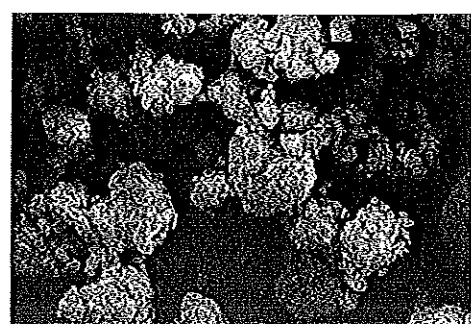
จากภาพประกอบที่ 10 พบว่าลักษณะของกราฟ (Fingerprint) ของ HPW/Al₂O₃ ที่ได้มีลักษณะคล้ายกับของ HPW โดยปรากฏจุดสูงสุด (Peak) ที่ (2θ) 7.98°, 10.28°, 17.88°, 20.68° และ 25.43° ซึ่ง 2θ ที่ 7.98°, 10.28° และ 25.43° สามารถบอกความเป็น HPW ของสารได้ชัดเจน สามารถใช้ 2θ ที่ 17.88° และ 20.68° ยืนยันได้เนื่องจากเป็น 2θ เดียวกันกับ Al₂O₃ และ ความเข้ม (Intensity) ของ 2θ ที่ 7.98°, 10.28° และ 25.43° ของ HPW/Al₂O₃ ที่ % ต่าง ๆ มีค่าสูงขึ้นตาม % การ荷载ของ HPW บน Al₂O₃ ซึ่งสามารถยืนยันได้ว่า HPW/Al₂O₃ ที่荷载ขึ้นเป็นสารชนิดเดียวกับ HPW ทางการค้า และลักษณะกราฟของ HPW/Al₂O₃ ที่เปอร์เซ็นต์โดยน้ำหนักที่ค่าต่าง ๆ มีลักษณะปรากฏจุดสูงสุด (Peak) ที่ 2θ เดียวกันกับ HPW และพบว่าที่ 30% HPW/Al₂O₃ มีความเข้ม (Intensity) สูงที่สุดเมื่อเปรียบเทียบกับที่ 2θ เดียวกันซึ่งเป็นการบ่งบอกถึงการมีปริมาณของ HPW สูงกว่าที่เปอร์เซ็นต์โดยน้ำหนักของ HPW/Al₂O₃ ที่ค่าอื่น ๆ ซึ่งเป็นไปตามที่คาดไว้ คือ ที่เปอร์เซ็นต์โดยน้ำหนักยิ่งสูงขึ้นการแสดงความเป็น HPW ก็จะสูงขึ้น

4.1.2 ศึกษาลักษณะพื้นผิวของตัวเร่งปฏิกิริยาโดยใช้ Scanning Electron Microscope (SEM)

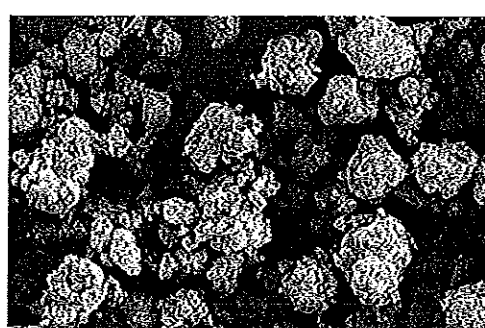
Scanning Electron Microscope เป็นเทคนิคการศึกษาลักษณะพื้นผิวของสาร จากภาพประกอบที่ 11 แสดงลักษณะพื้นผิวของ 5% HPW/Al₂O₃, 10% HPW/Al₂O₃, 15% HPW/Al₂O₃, 20% HPW/Al₂O₃ และ 30% HPW/Al₂O₃ ซึ่งพบว่ามีอนุภาคขนาดเล็กมากการบนอนุภาคของ Al₂O₃ โดยจะสังเกตได้ชัดเจนใน 20% HPW/Al₂O₃ และ 30% HPW/Al₂O₃ ดังภาพประกอบที่ 11(e) และ (f) จึงคาดว่าจะเป็นอนุภาคของ HPW ที่มีปริมาณเพิ่มขึ้นตาม % loading ของ HPW อย่างไรก็ตาม จากการวิเคราะห์คัวบิวท์ XRD สามารถยืนยันผลให้มีความถูกต้องมากยิ่งขึ้นว่าอนุภาคขนาดเล็กที่มาจากการบนอนุภาคของ Al₂O₃ ดังกล่าวจะเป็น HPW ซึ่งจะเห็นได้ว่า การเพิ่มขึ้นของปรอร์เซ็นต์ HPW/Al₂O₃ ทำให้มีอนุภาคขนาดเล็กมากที่พื้นผิว Al₂O₃ เพิ่มมากขึ้น



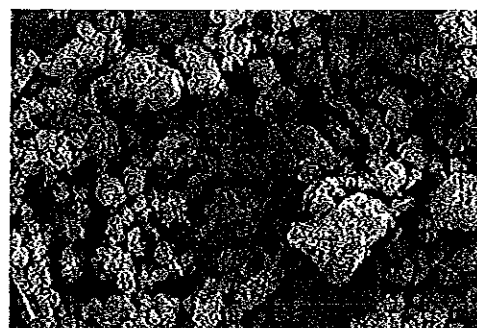
(a)



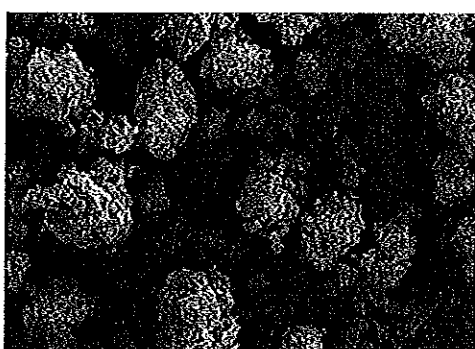
(b)



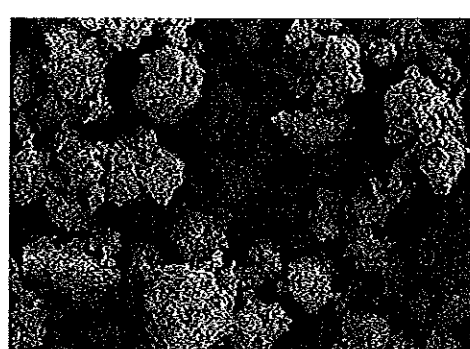
(c)



(d)



(e)



(f)

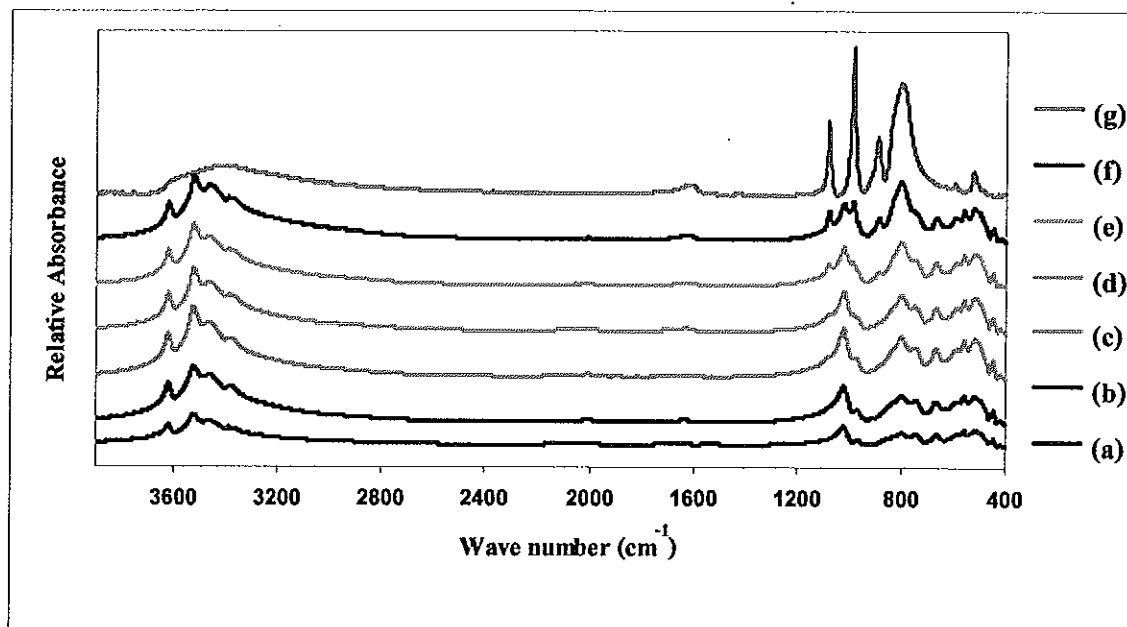
ภาพประกอบที่ 11 แสดงลักษณะพื้นผิวของตัวเร่งปฏิกิริยาโดยใช้เทคนิค SEM กำลังขยาย $\times 300$

Pure Al_2O_3 (a), 5% HPW/ Al_2O_3 (b), 10% HPW/ Al_2O_3 (c), 15% HPW/ Al_2O_3

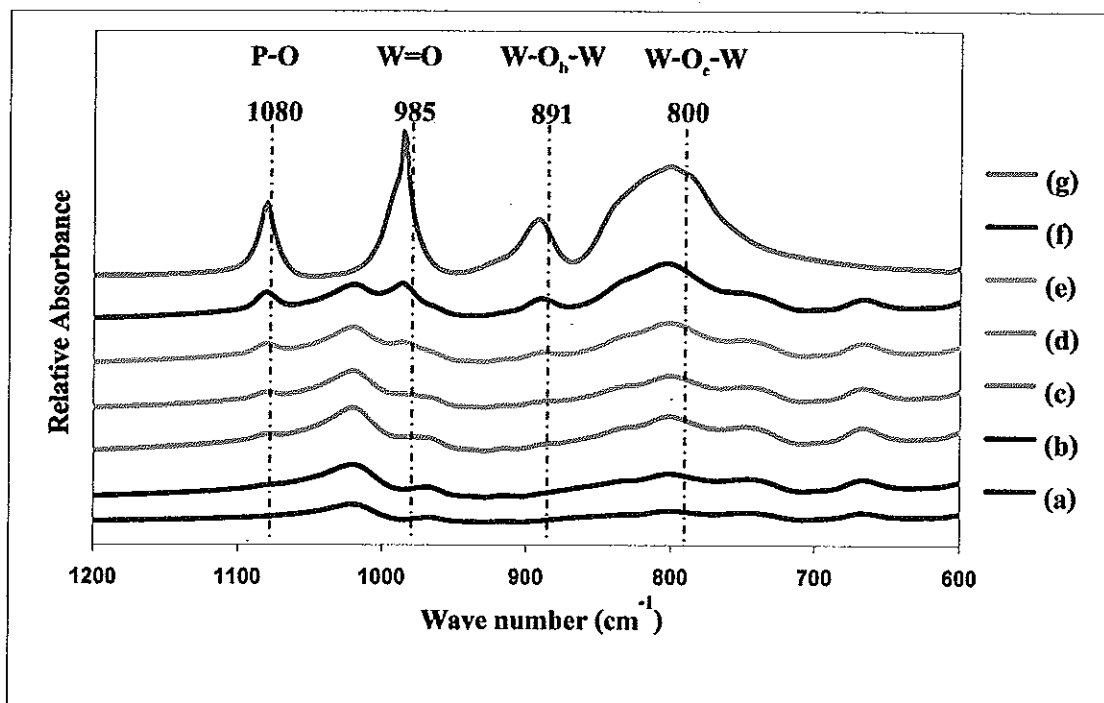
(d), 20% HPW/ Al_2O_3 (e) และ 30% HPW/ Al_2O_3 ,

4.1.3 ศึกษาหมู่ฟังก์ชันของตัวเร่งปฏิกิริยาโดยใช้ Fourier-Transformed Infrared Spectroscopy (FTIR)

Fourier-Transformed Infrared Spectroscopy เป็นเทคนิคการศึกษาหมู่ฟังก์ชันของสารประกอบ โดยทำการศึกษาในช่วงความถี่ $400 - 4000 \text{ cm}^{-1}$ และคงหมู่ฟังก์ชันของตัวเร่งปฏิกิริยาผลการวิเคราะห์แสดงดังภาพประกอบที่ 12 และ 13 ซึ่งแสดงแผนการยืดและการงอของพันธะค่า ๆ



ภาพประกอบที่ 12 แสดงหมู่ฟังก์ชันโดยใช้เทคนิค FT-IR Spectroscopy Pure Al_2O_3 (a),
5% HPW/ Al_2O_3 (b), 10% HPW/ Al_2O_3 (c), 15% HPW/ Al_2O_3 (d),
20% HPW/ Al_2O_3 (e), 30% HPW/ Al_2O_3 (f) และ Pure HPW (g)



ภาพประกอบที่ 13 แสดงหมู่ฟังก์ชันโดยใช้เทคนิค FT-IR Spectroscopy Pure Al_2O_3 (a), 5% HPW/ Al_2O_3 (b), 10% HPW/ Al_2O_3 (c), 15% HPW/ Al_2O_3 (d), 20% HPW/ Al_2O_3 (e), 30% HPW/ Al_2O_3 (f) และ Pure HPW(g)

จากภาพประกอบที่ 13 ที่เลขคลื่นเท่ากับ 1080 cm^{-1} , 985 cm^{-1} , 891 cm^{-1} และ 800 cm^{-1} แสดงถึงหมู่ฟังก์ชันของ P-O, W=O, $\text{W-O}_b\text{-W}$ และ $\text{W-O}_c\text{-W}$ ตามลำดับ (Yu Seng Kim และคณะ, 2002) และจากผลการวิเคราะห์พบว่าเลขคลื่นที่ได้ของ HPW มีความสอดคล้องกับงานวิจัยอื่น ๆ ซึ่งแสดงข้อมูลดังตารางที่ 5

จากการศึกษาตัวเร่งปฏิกิริยาสามารถยืนยันการเพิ่มขึ้นของเปอร์เซ็นต์ HPW/ Al_2O_3 ได้จากการทดสอบด้วยเทคนิคการวิเคราะห์ โดยเฉพาะ FTIR นั้นก็อ เมื่อเปอร์เซ็นต์ของ HPW/ Al_2O_3 มากขึ้นจะปรากฏจุดยอด (Peak) ดังกล่าวชัดเจนมากยิ่งขึ้น ซึ่งแสดงว่ามีเปอร์เซ็นต์ของ HPW เพิ่มขึ้นตามต้องการ โดยตัวเร่งปฏิกิริยาเหล่านี้จะใช้ในการเร่งปฏิกิริยาเอกสารวิพากษ์เพื่อช่วยในการผลิตไบโอดีเซลและลดกรดไขมันอิสระก่อนเข้าสู่ขั้นตอนที่สอง

ตารางที่ 4 แสดงเลขค่าต่อไปนี้จากการวิเคราะห์ด้วยเทคนิค FTIR ของ Pure HPW

Band/Wave number (cm^{-1})				Reference
P-O	W=O	W-O _b -W	W-O _c -W	
1080	985	891	800	งานวิจัยฉบับนี้
1080	na	814	887	Kim และคณะ, 2003
1079	980	902	765	Lin และคณะ, 2005
1080	985	893	812	Sepulveda และคณะ, 2005
1083	982	na	808	Yang และคณะ, 2005

na คือ ไม่รายงานข้อมูล

4.2 การผลิตเมทิลเอสเทอร์จากน้ำมันปาล์มดิน

4.2.1 การศึกษาองค์ประกอบของน้ำมันปาล์มดินที่ใช้ในการผลิตเมทิลเอสเทอร์

ทำการศึกษาองค์ประกอบของน้ำมันปาล์มดินโดยการวิเคราะห์ด้วยเทคนิค TLC และ GC-MS ผลการวิเคราะห์แสดงดังตารางที่ 6 และ 7

ตารางที่ 5 องค์ประกอบน้ำมันปาล์มดินจากการวิเคราะห์ด้วยเทคนิค TLC

องค์ประกอบน้ำมันปาล์มดิน	ร้อยละโดยน้ำหนัก
กรดไขมันอิสระ	13.20
โมโนกลีเซอไรด์	0.43
ไดกเลอไรด์	8.83
ไตรกลีเซอไรด์	77.54

ตารางที่ 6 องค์ประกอบน้ำมันปาล์มดินจากการวิเคราะห์ด้วยเทคนิค GC-MS

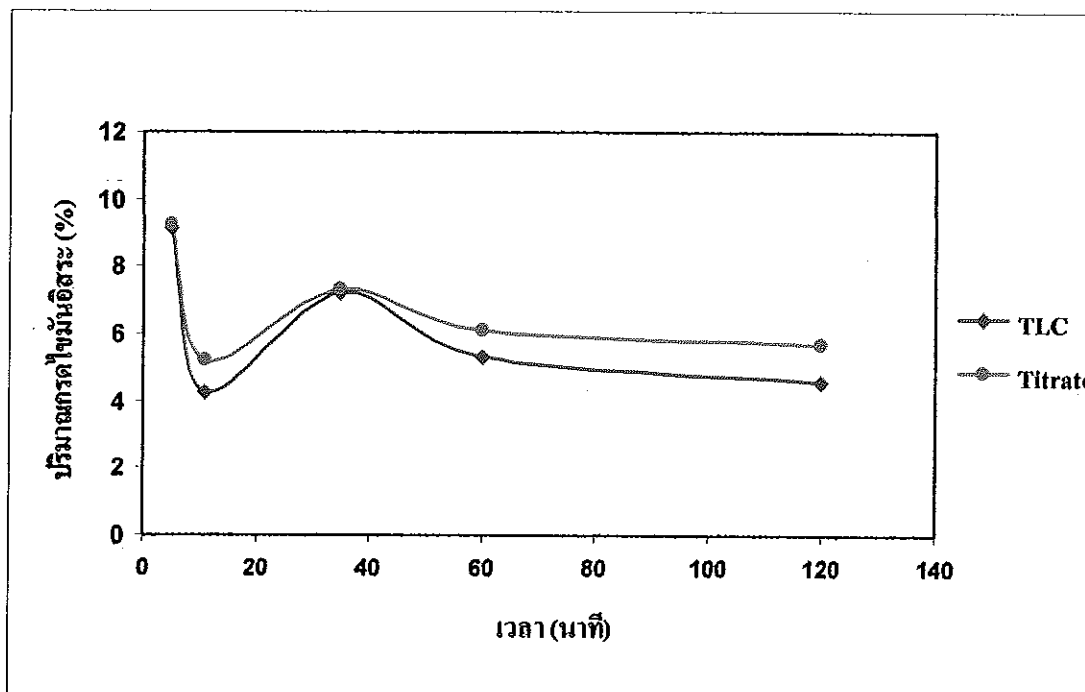
องค์ประกอบน้ำมันปาล์มดิน	ร้อยละโดยน้ำหนัก
Methyl palmitate, ester of C16:0	46.69
Stearic of C18:0	3.24
Oleic acid methyl ester , ester of C18:1	42.36
Linoleic of C18:2	7.71

**4.2.2 การศึกษาปัจจัยที่มีต่อการผลิตเมทิลเอสเทอร์จากน้ำมันปาล์มดินโดยใช้ปฏิกิริยา
เอสเตอเรติกเคนต์ด้วยตัวเร่งปฏิกิริยาไฮโซฟังสติก แซดิค**

ในการทดลองจะทำการวิเคราะห์ข้อมูลเพื่อหาความเข้มข้นของสารในปฏิกิริยา โดยจะวิเคราะห์คร่าวๆ ไม้นอิสระด้วยการ ไถเตรท จากการเปรียบเทียบผลการวิเคราะห์ปริมาณกรดไขมันอิสระ (FFA) ด้วยการ ไถเตรท กับการวิเคราะห์ด้วย TLC โดยใช้ที่ภาควิชาวิศวกรรมเครื่องกล คณะวิศวกรรมศาสตร์ มหาวิทยาลัยเทคโนโลยีราชมงคลเชียงใหม่ สำหรับการวิเคราะห์ FFA ให้ผลลัพธ์ที่ดีที่สุด เมื่อต้องการตัดต่อเมืองที่ต้องการได้ 1:15 อัตราส่วนของตัวเร่งปฏิกิริยาต่อน้ำมันปาล์มดินเป็น 1:6.25 กรัม เผอร์เซ็นต์โดยน้ำหนักของ HPW บน Al_2O_3 เป็น 30% และใช้อุณหภูมิเป็น 70 °C ได้ผลลัพธ์ดังตารางที่ 7 และภาพประกอบที่ 14

ตารางที่ 7 การเปรียบเทียบผลการวิเคราะห์ปริมาณกรดไขมันอิสระ (FFA) ด้วยการ ไถเตรท กับการวิเคราะห์ด้วย TLC

ตัวอย่างที่	เวลา (นาที)	FFA (%)		ความแตกต่าง (%)
		TLC	การ ไถเตรท	
1	5	9.11	9.23	1.30
2	11	4.23	5.23	19.12
3	35	7.23	7.32	1.23
4	60	5.32	6.11	12.93
5	120	4.56	5.67	19.58



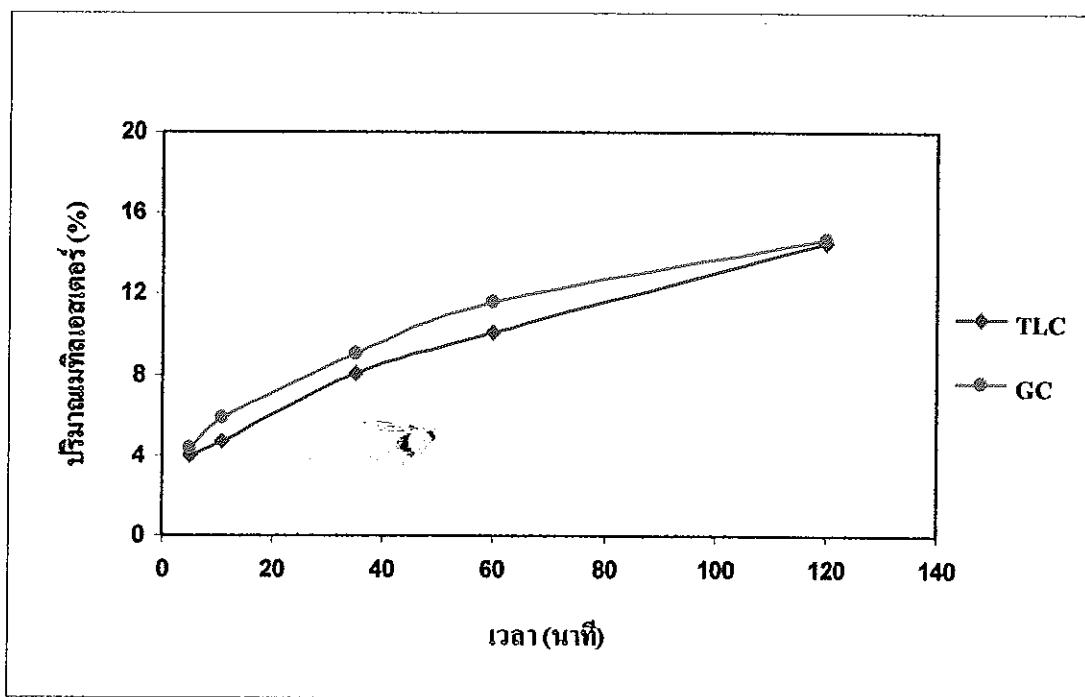
ภาพประกอบที่ 14 แสดงผลการเปรียบเทียบผลการวิเคราะห์ปริมาณกรดไขมันอิสระ (FFA) ด้วย การไถเตรทกับการวิเคราะห์ด้วย TLC

จากการเปรียบเทียบพบว่าค่าจากการวิเคราะห์ด้วย TLC สูงกว่าการไถเตรಥต่อจากทั้งสองวิธีค่าที่วิเคราะห์ได้มีแนวโน้มไปทางเดียวกันและแตกต่างกันไม่เกิน 20% ดังนั้นสามารถเลือกการไถเตรทในการวิเคราะห์หน้าปริมาณกรดไขมันอิสระได้โดยไม่ต้องส่งวิเคราะห์ และการไถเตรทยังเป็นวิธีการที่มีการยอมรับกันอย่างแพร่หลาย ซึ่งเป็นวิธีที่ประยุกต์กว่าและผลที่ได้สามารถยอมรับได้

การวิเคราะห์ความเข้มข้นของเมทิลเอสเตอร์ที่เกิดขึ้นจะวิเคราะห์ด้วย TLC จากการเปรียบเทียบผลการวิเคราะห์ปริมาณเมทิลเอสเตอร์ด้วย TLC โดยใช้ที่ภาควิชา วิศวกรรมเครื่องกล คณะวิศวกรรมศาสตร์ มหาวิทยาลัยเทคโนโลยีราชมงคลรัตนโกสินทร์ กับการวิเคราะห์ด้วย GC โดยส่งวิเคราะห์ที่ศูนย์เครื่องมือวิทยาศาสตร์ มหาวิทยาลัยเทคโนโลยีราชมงคลรัตนโกสินทร์ โดยใช้สภาวะที่อัตราส่วนเชิงโมลของน้ำมันปาล์มคิดต่อเมทานอลเป็น 1:20 อัตราส่วนของตัวเร่งปฏิกิริยาต่อน้ำมันปาล์มคิดเป็น 1:6.25 กรัม เปอร์เซ็นต์โดยน้ำหนักของ HPW บน Al_2O_3 เป็น 30% และใช้อุณหภูมิเป็น 70 °C ได้ผลแสดงดังตารางที่ 8 และภาพประกอบที่ 15

ตารางที่ 8 การเปรียบเทียบผลการวิเคราะห์ปริมาณเมทิลเอสเตอร์ด้วยการวิเคราะห์ด้วย TLC กับการวิเคราะห์ด้วย GC

ตัวอย่างที่	เวลา (นาที)	เมทิลเอสเตอร์ (%)		ความแตกต่าง (%)
		TLC	GC (EN 14103)	
1	5	3.97	4.3	7.67
2	11	4.69	5.8	19.14
3	35	8.01	8.99	10.90
4	60	10.08	11.59	13.03
5	120	14.5	14.72	1.49



ภาพประกอบที่ 15 แสดงผลการเปรียบเทียบผลการวิเคราะห์ปริมาณเมทิลเอสเตอร์ด้วยการวิเคราะห์ด้วย TLC กับการวิเคราะห์ด้วย GC

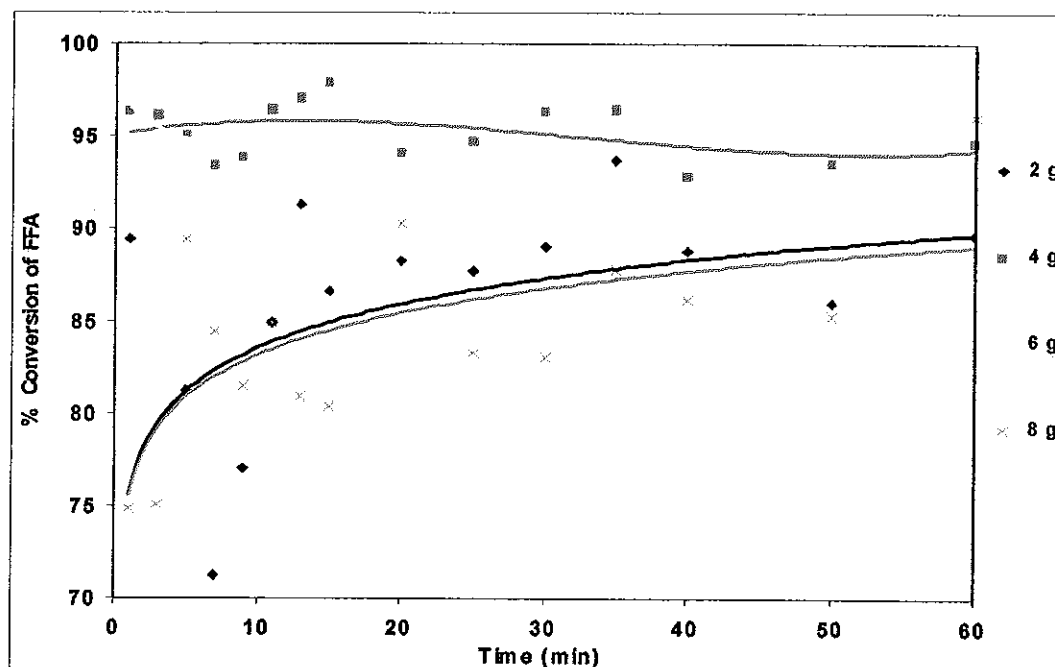
จากการเปรียบเทียบพบว่าค่าจากการวิเคราะห์ด้วย TLC สูงกว่าการวิเคราะห์ด้วย GC แต่จากทั้งสองวิธีค่าที่วิเคราะห์ได้มีแนวโน้มไปทางเดียวกันและค่าแตกต่างกันไม่เกิน 20%

ดังนั้นสามารถเลือกวิเคราะห์ด้วย TLC ในการวิเคราะห์ได้ เมื่อจากสามารถประยุกต์ใช้จ่ายในการส่งวิเคราะห์ได้ ซึ่งผลการวิเคราะห์สามารถย้อนรับได้

การวิเคราะห์ปริมาณน้ำที่ทำการวิเคราะห์ด้วยเครื่อง Karl Fisher ซึ่งจะใช้ที่ภาควิชาวิศวกรรมเคมี คณะวิศวกรรมศาสตร์ มหาวิทยาลัยสงขลานครินทร์

(1) ผลของปริมาณตัวเร่งปฏิกิริยา HPW/Al₂O₃

การทดลองเบื้องต้นเพื่อออกแบบการทดลอง ซึ่งสนใจในส่วนของน้ำหนักของตัวเร่งปฏิกิริยา โดยใช้อัตราส่วนเชิงโมลของน้ำมันปาล์มดินต่อเมทานอลเป็น 1:40 (น้ำมันปาล์มดิน 25 กรัม เมทานอล 37.25 กรัม) ใช้ตัวเร่งปฏิกิริยา 2, 4, 6 และ 8 กรัม ที่ 15% HPW/Al₂O₃ อุณหภูมิ 70 °C ความเร็วอบ 350 รอบ/นาที เก็บตัวอย่างในช่วงเวลา 1, 3, 5,...,15, 20, 25,...40, 50, 60 นาที วิเคราะห์กรดไขมันอิสระด้วย การไถเตรท ผลทดสอบคังภาพประกอบที่ 16



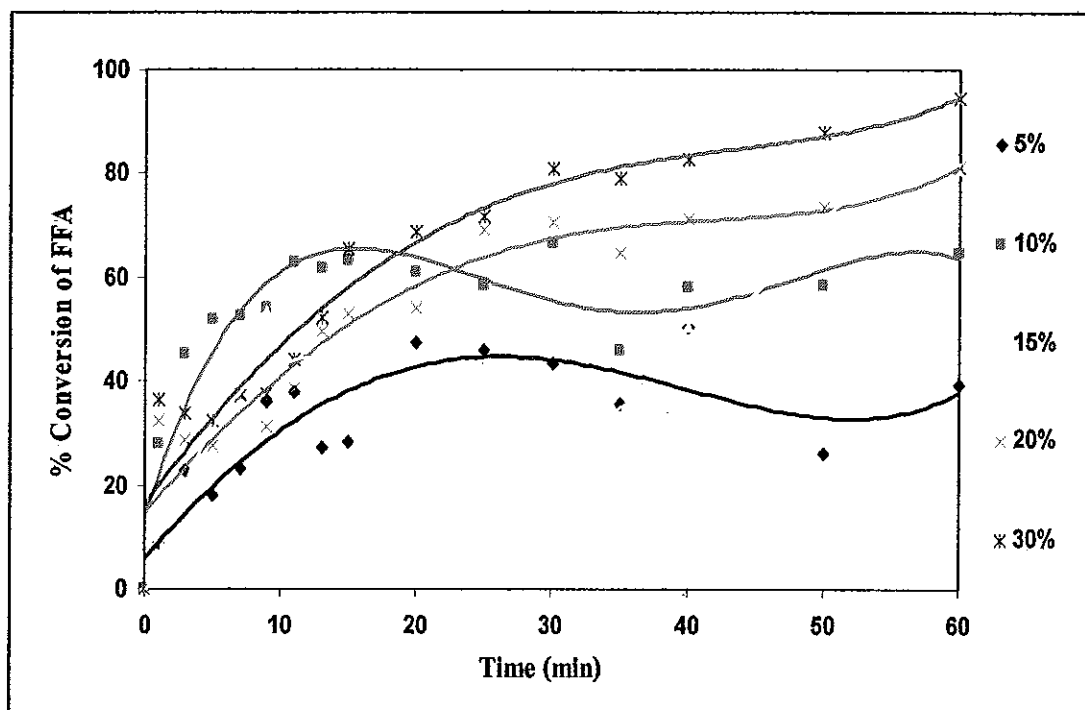
ภาพประกอบที่ 16 แสดงเปอร์เซ็นต์ Conversion ของกรดไขมันอิสระกับเวลาในการทำปฏิกิริยาที่ปริมาณตัวเร่งปฏิกิริยา 15% HPW/Al₂O₃ ต่าง ๆ

จากภาพประกอบที่ 16 พบร่ว่าในช่วงเวลา 60 นาที ที่ปริมาณตัวเร่งปฏิกิริยา 15% HPW/Al₂O₃ เท่ากับ 4 กรัม สามารถลดปริมาณกรดไขมันอิสระได้มากที่สุดซึ่งดูได้จาก

% Conversion ของกรดไฮมันอิสระเฉลี่ย แต่ในขณะที่ปริมาณตัวเร่งปฏิกิริยา 15% HPW/Al₂O₃ เท่ากับ 6 และ 8 กรัม % Conversion ของกรดไฮมันอิสระเฉลี่ยที่ได้ต่ำกว่าที่ 4 กรัม ทั้งนี้อาจจะเนื่องมาจากการออกซิไดซ์ของตัวเร่งปฏิกิริยาที่เกิดขึ้นระหว่าง HPW กับ Al₂O₃ จึงส่งผลให้ % Conversion ของกรดไฮมันอิสระเฉลี่ยต่ำลง ดังนั้นจึงเลือกปริมาณตัวเร่งปฏิกิริยาที่ 4 กรัมใช้ในการทดลองดำเนินการไปเนื่องจากได้ % Conversion ของกรดไฮมันอิสระเฉลี่ยสูงที่สุด

(2) ผลของเพอร์เซ็นต์ของ HPW บน Al₂O₃

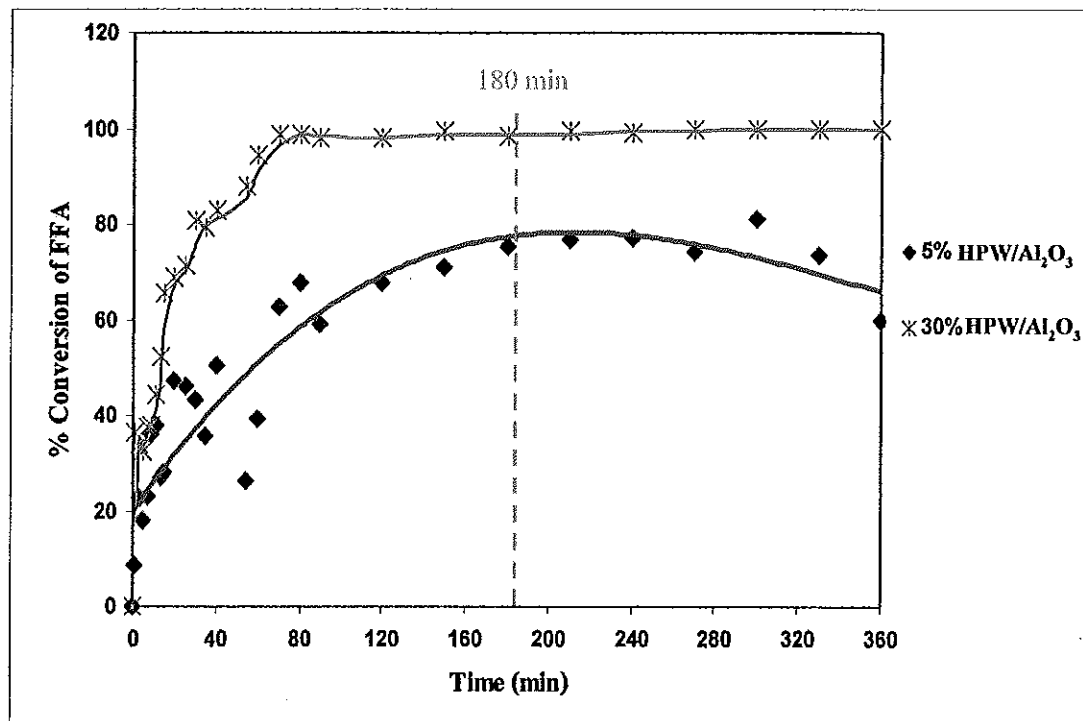
การศึกษาเพอร์เซ็นต์ HPW บน Al₂O₃ ทำที่สภาวะเดียวกับการหาหนักของตัวเร่งปฏิกิริยา คือ ทดลองโดยใช้อัตราส่วนเชิงโมลของน้ำมันปาล์มดินต่อเมทานอลเป็น 1:40 อุณหภูมิ 70 °C โดยเลือกใช้ตัวเร่งปฏิกิริยา 4 กรัม และเพอร์เซ็นต์โดยน้ำหนักของ HPW/Al₂O₃ เป็น 5%, 10%, 15%, 20% และ 30% ผลแสดงค้างภาพประกอบที่ 17 จากการทดลองพบว่าเมื่อเพอร์เซ็นต์โดยน้ำหนักของ HPW/Al₂O₃ เพิ่มขึ้น % Conversion ของกรดไฮมันอิสระก็เพิ่มขึ้นด้วยโดยที่ 30% HPW/Al₂O₃ มีแนวโน้มของ % Conversion ของกรดไฮมันอิสระเพิ่มขึ้นและได้ % Conversion สูงสุดในช่วง 60 นาที ดังนั้นเพอร์เซ็นต์ที่เหมาะสมที่จะนำไปทำการทดลองขั้นตอนต่อไปคือ 30% HPW/Al₂O₃ แต่อย่างไรก็ตาม % Conversion ของกรดไฮมันอิสระยังคงเพิ่มขึ้นเรื่อยๆ ดังนั้นจึงควรทำการทดลองโดยการเพิ่มเวลาในการทำปฏิกิริยาเพื่อคุ้มครอง % Conversion ของกรดไฮมันอิสระจนถึงจุดที่มีความเสถียรของทุกตัวเร่งปฏิกิริยา



ภาพประกอบที่ 17 แสดงเปอร์เซ็นต์ Conversion ของกรดไนมันอิสระกับเวลาในการทำปฏิกิริยาที่ เปอร์เซ็นต์ $\text{HPW}/\text{Al}_2\text{O}_3$ ต่าง ๆ

(3) ผลของการเพิ่มเวลาในการทำปฏิกิริยาเพื่อคุณภาพเปลี่ยนแปลง % Conversion ของกรดไนมันอิสระ

การศึกษาผลของการเพิ่มเวลาในการทำปฏิกิริยาเพื่อคุณภาพเปลี่ยนแปลง % Conversion ของกรดไนมันอิสระ โดยทำการทดลองที่สภาวะเดียวกับการทำปฏิกิริยาที่เปอร์เซ็นต์ของ HPW บน Al_2O_3 คือ ใช้อัตราส่วนเชิงโมลของน้ำมันปาล์มดับต่อเมทานอลเป็น 1:40 อุณหภูมิ 70°C ที่ % การโคลดของ HPW สูงสุดและต่ำสุด คือ เปอร์เซ็นต์โดยน้ำหนักของ $\text{HPW}/\text{Al}_2\text{O}_3$ เป็น 5% และ 30% โดยเพิ่มเวลาในการทดลองให้นานขึ้นเป็น 360 นาที หรือ 6 ชั่วโมง ผลแสดงดังภาพประกอบที่ 18 จากการทดลองพบว่าที่เปอร์เซ็นต์โดยน้ำหนักของ $\text{HPW}/\text{Al}_2\text{O}_3$ เป็น 30% จะได้ % Conversion ของกรดไนมันอิสระมีค่าใกล้เคียง 100% เมื่อใช้เวลา 80 นาที และมีค่าเป็น 100% เมื่อใช้เวลา 270 นาที ในขณะที่ 5% $\text{HPW}/\text{Al}_2\text{O}_3$ มีค่า % Conversion ของกรดไนมันอิสระเพิ่มขึ้น สูงสุดเทียบ 75%



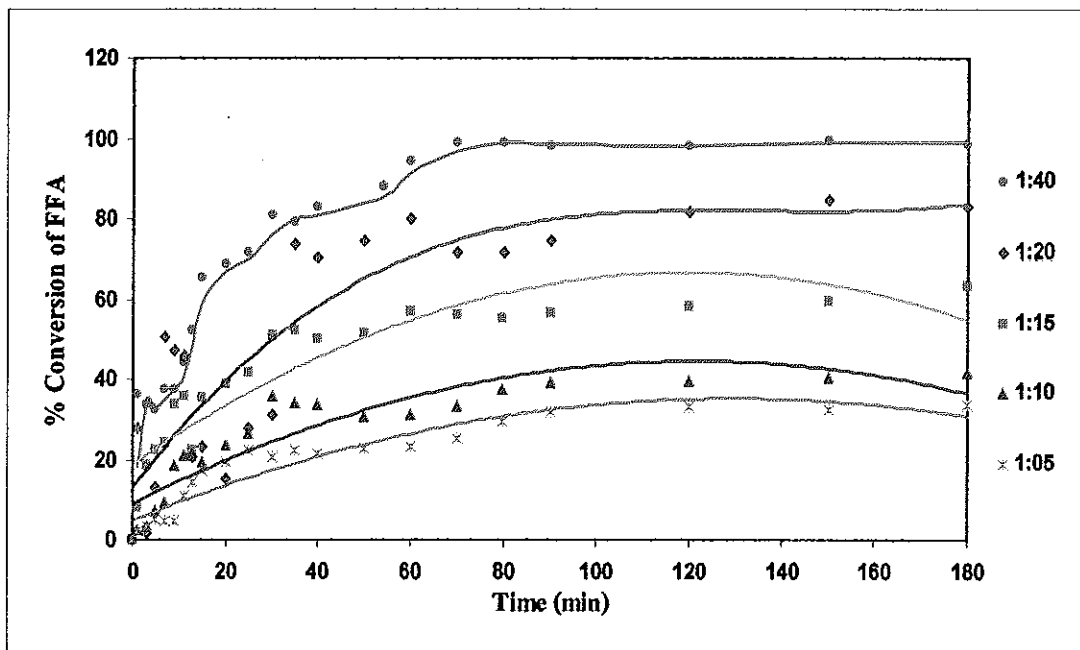
ภาพประกอบที่ 18 แสดงความสัมพันธ์ระหว่าง % Conversion ของกรดไขมันอิสระกับเวลาในการทำปฏิกิริยาที่เปอร์เซ็นต์โดยน้ำหนักของ $\text{HPW}/\text{Al}_2\text{O}_3$ เป็น 5% และ 30%

จากการทดลองจะเห็นได้ว่าที่ 30% $\text{HPW}/\text{Al}_2\text{O}_3$ มีค่า % Conversion FFA มีค่าใกล้ 100% ตั้งแต่ 80 นาทีเป็นต้นไป ดังนั้นในการทดลองต่อไปจึงใช้เวลาในการทดลองเป็น 180 นาที

(4) ผลของอัตราส่วนเชิงโน้มของน้ำมันปาล์มดิบต่อเมทานอล

จากการทดลองเพื่อหาสัดส่วนเชิงโน้มที่เหมาะสม ซึ่งทำการทดลองที่อัตราส่วนเชิงโน้มของน้ำมันปาล์มดิบต่อเมทานอลเป็น 1:5, 1:10, 1:15, 1:20 และ 1:40 อุณหภูมิ 70 °C และ เปอร์เซ็นต์ความเข้มข้นของตัวเร่งปฏิกิริยาที่โหลดบนอะลูมิเนียมออกไซด์ คือ 30% $\text{HPW}/\text{Al}_2\text{O}_3$ จำนวน 1:6.25 กรัม (30% $\text{HPW}/\text{Al}_2\text{O}_3$;CPO) โดยใช้ CPO 420 กรัม พนว่าที่อัตราส่วนเชิงโน้มระหว่างน้ำมันปาล์มดิบต่อเมทานอล 1:40 สามารถปริมาณกรดไขมันอิสระได้มากที่สุด ดังนั้น อัตราส่วนเชิงโน้มที่เหมาะสมเพื่อที่จะนำมาใช้ในการทดลองในขั้นตอนต่อไป คือ อัตราส่วน 1:40 ผลแสดงดังภาพประกอบที่ 19 ซึ่งผลการทดลองมีความสอดคล้องกับผลการทดลองของ Shashikant และคณะ (2005) และยังสอดคล้องกับการทดลองของ Crabble และคณะ (2001) คือ เมื่ออัตราส่วนเชิงโน้มของน้ำมันปาล์มดิบต่อเมทานอลในปฏิกิริยาเอสเตอราฟิเคลชันมีค่าสูงขึ้นปฏิกิริยาไปข้างหน้า

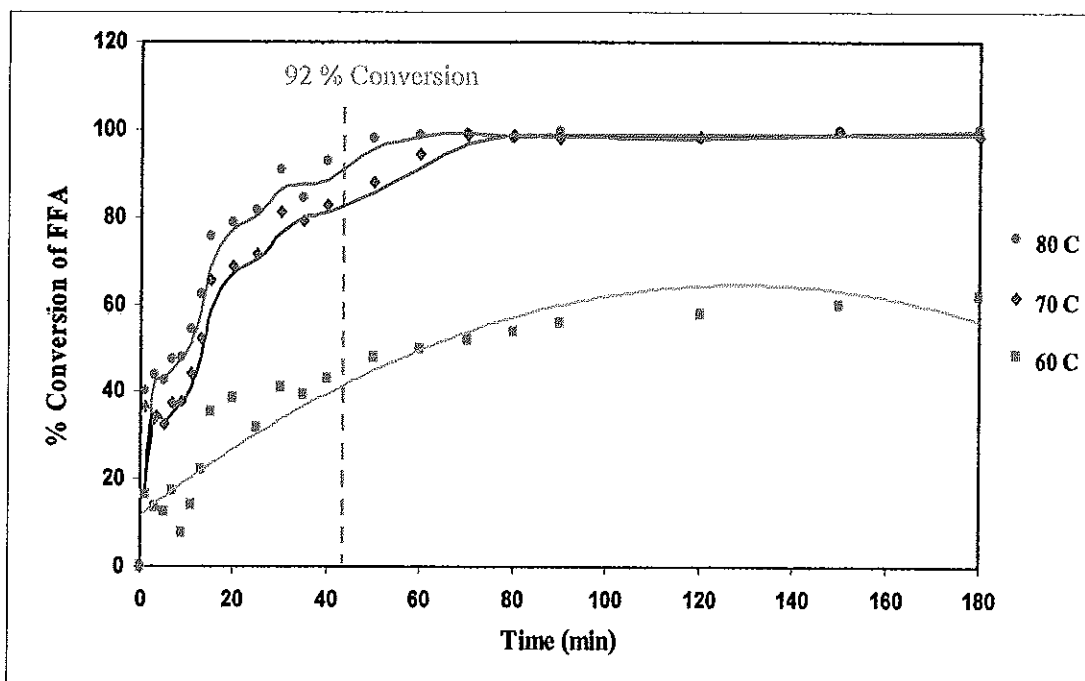
เกิดขึ้นได้ดี ซึ่งสามารถลดกรดไนโตริกได้มากกว่าและเร็วกว่าในกรณีที่อัตราส่วนเชิงโมลของน้ำมันปาล์มดิบต่อเมทานอลต่ำ



ภาพประกอบที่ 19 แสดงความสัมพันธ์ระหว่าง % Conversion ของกรดไนโตริกกับเวลาในการทำปฏิกิริยาที่อัตราส่วนเชิงโมลของน้ำมันปาล์มดิบต่อเมทานอลเป็น 1:5, 1:10, 1:15, 1:20 และ 1:40

(5) ผลของอุณหภูมิในการทำปฏิกิริยา

จากการทดลองเพื่อศึกษาผลของอุณหภูมิในการทำปฏิกิริยา ทำการทดลองที่อัตราส่วนเชิงโมลของน้ำมันปาล์มดิบต่อเมทานอลเป็น 1:40 ใช้เปอร์เซ็นต์ความเข้มข้นของตัวเร่งปฏิกิริยาที่โหลดบนอะลูมิเนียมออกไซด์ คือ 30% $\text{HPW}/\text{Al}_2\text{O}_3$ จำนวน 1:6.25 กรัม (30% $\text{HPW}/\text{Al}_2\text{O}_3$: CPO) โดยใช้ CPO 420 กรัม ทำการเปลี่ยนแปลงอุณหภูมิ โดยใช้ที่ 60 °C, 70 °C และ 80 °C ผลแสดงดังภาพประกอบที่ 20



ภาพประกอบที่ 20 แสดงความสัมพันธ์ระหว่าง % Conversion ของกรดไขมันอิสระกับในการทำปฏิกิริยาเวลาที่อุณหภูมิในการทำปฏิกิริยานี้เป็น 60 °C, 70 °C และ 80 °C

จากภาพประกอบที่ 20 จะเห็นได้ว่าที่อุณหภูมิ 70 °C และ 80 °C จะสามารถลด FFA ได้ดีกว่าที่อุณหภูมิ 60 °C แต่จะสังเกตได้ว่าที่อุณหภูมิ 70 °C และ 80 °C มี % Conversion ของ FFA ที่ไม่แตกต่างกันมากนัก ซึ่งอาจจะเกิดเนื่องจากอุณหภูมิที่ให้เกินจากอุณหภูมิจุดเดือดของ เมทานอล (67 °C) ดังนั้นความร้อนบางส่วนอาจจะแผ่อยู่ในความร้อนของการถลายน้ำ ไอของ เมทานอล แต่อ่อน弱 ไร้ความสามารถในการเริ่มต้นจะเห็นว่า % Conversion ของกรดไขมันอิสระที่อุณหภูมิ 80 °C จะสูงกว่า 70 °C เมื่อเวลาในการทำปฏิกิริยาผ่านไป 80 นาที % Conversion ของกรดไขมันอิสระที่ส่องอุณหภูมิจะใกล้เคียงกัน จากผลการทดลองพบว่าที่อุณหภูมิ 80 °C สามารถลดกรดไขมันอิสระได้เร็วกว่าที่อุณหภูมิ 70 °C ซึ่งใช้เวลาเพียง 40 นาที สามารถทำให้ได้ % Conversion ของกรดไขมันอิสระเท่ากับ 92% ดังนั้นจึงเลือกใช้ที่อุณหภูมิ 80 °C เนื่องจากใช้เวลาอ้อยกว่าที่ 70 °C เพื่อลดกรดไขมันอิสระให้ได้น้อยกว่าร้อยละ 1 โดยน้ำหนัก

จากการศึกษาปัจจัยที่มีผลต่อการผลิตเมทิโอดีเอสเตอร์จากน้ำมันปาล์มดินโดยใช้ปฏิกิริยาเอสเตอริฟิเคชันคั่วตัวเร่งปฏิกิริยาฟอสฟิทั่งสติก แอดซิด พบว่าสภาวะที่เหมาะสมในการทำปฏิกิริยา คือ ใช้ตัวเร่งปฏิกิริยาต่อน้ำมันปาล์มดินเป็น 4 กรัม ต่อ 25 กรัม หรือเท่ากับ 1:6.25 กรัม

ที่เปอร์เซ็นต์ของ HPW บน Al_2O_3 เป็น 30% โดยน้ำหนัก และอัตราส่วนเชิงโมลของน้ำมันปาล์มคิดต่อเมทานอลเป็น 1:40 ที่อุณหภูมิ 80 °C ใช้เวลา 40 นาที

4.3 การศึกษาอัตราการเกิดปฏิกิริยาของปฏิกิริยาแอลสเตอร์ฟิล์เมชัน

4.3.1 การเปลี่ยนแปลงความเข้มข้นของสารทำปฏิกิริยาและผลิตภัณฑ์

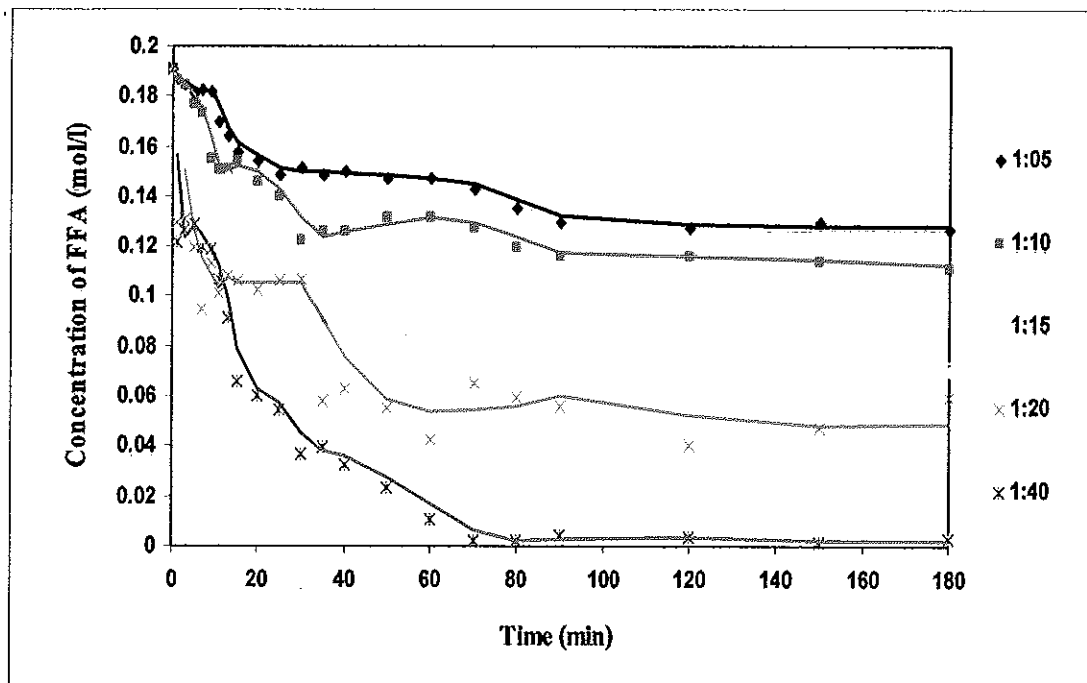
การศึกษาในงานวิจัยนี้ใช้วัตถุคืนเป็นน้ำมันปาล์มคืนทำปฏิกริยากับเมทานอล ซึ่งจะศึกษาปฏิกริยาเอสเตอเรชันโดยครดิค ไข้มันอิสระในน้ำมันปาล์มคืนเข้าทำปฏิกริยากับเมทานอล ได้ผลิตภัณฑ์เป็นเมทิโอดีเอสเตอร์และน้ำด่างสมการ



ในการวิเคราะห์ความเสี่ยงขั้นของสารองค์ประกอบต่าง ๆ จะวิเคราะห์กรดไขมันอิสระ (FFA) โดยการไถเตรท วิเคราะห์เมทิลเอสเทอร์ด้วยเครื่องมือวิเคราะห์ TLC/FID และวิเคราะห์น้ำด้วยเครื่องมือวิเคราะห์หาปริมาณน้ำในสารตัวอย่าง (Karl Fisher) ในส่วนของความเสี่ยงขั้นของเมทานอลจะไม่วิเคราะห์เนื่องจากตั้งสมมุติฐานว่าเมทานอลที่เข้าทำปฏิกิริยานากเกินพอ และเนื่องจากเมทานอลเป็นสารที่ระหว่างจ่าย ดังนั้นจึงยกต่อการวัดความเสี่ยงขั้นและควบคุมการระหว่างการเก็บตัวอย่าง

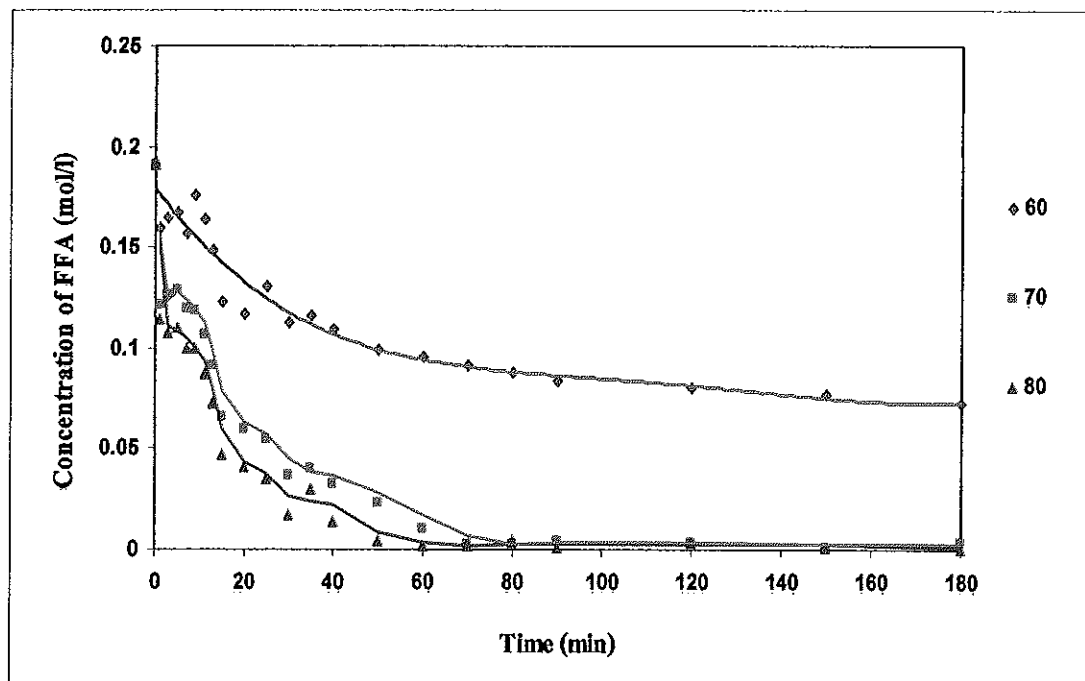
(1) การเปลี่ยนแปลงความเข้มข้นของกรดไฮมันอิสระ

กรุํไขมันอิสระเป็นสารตั้งต้นในการทำปฏิกิริยา ดังนี้เมื่อเวลาผ่านไปความเข้มข้นจะลดลง ซึ่งผลแสดงดังภาพประกอบที่ 21 และ 22



ภาพประกอบที่ 21 แสดงความสัมพันธ์ระหว่างความเข้มข้นของกรดไขมันอิสระกับเวลาในการทำปฏิกิริยาที่อัตราส่วนเชิงโมลของน้ำมันปาล์มคิดต่อเมทานอลเป็น 1:5, 1:10, 1:15, 1:20 และ 1:40 อุณหภูมิ 70 °C

จากภาพประกอบที่ 21 จะสังเกตเห็นได้ว่าที่อุณหภูมิคงที่ 70 °C เมื่อทำการเปลี่ยนแปลงอัตราส่วนเชิงโมลของน้ำมันปาล์มคิดต่อเมทานอล ที่อัตราส่วนเชิงโมลสูงความเข้มข้นของกรดไขมันอิสระลดลงรวดเร็วกว่าที่อัตราส่วนเชิงโมลต่ำ และยังสังเกตเห็นได้ว่าความเข้มข้นลดลงอย่างรวดเร็วในตอนเริ่มต้นและเมื่อเวลาผ่านไปความเข้มข้นจะค่อย ๆ คงที่

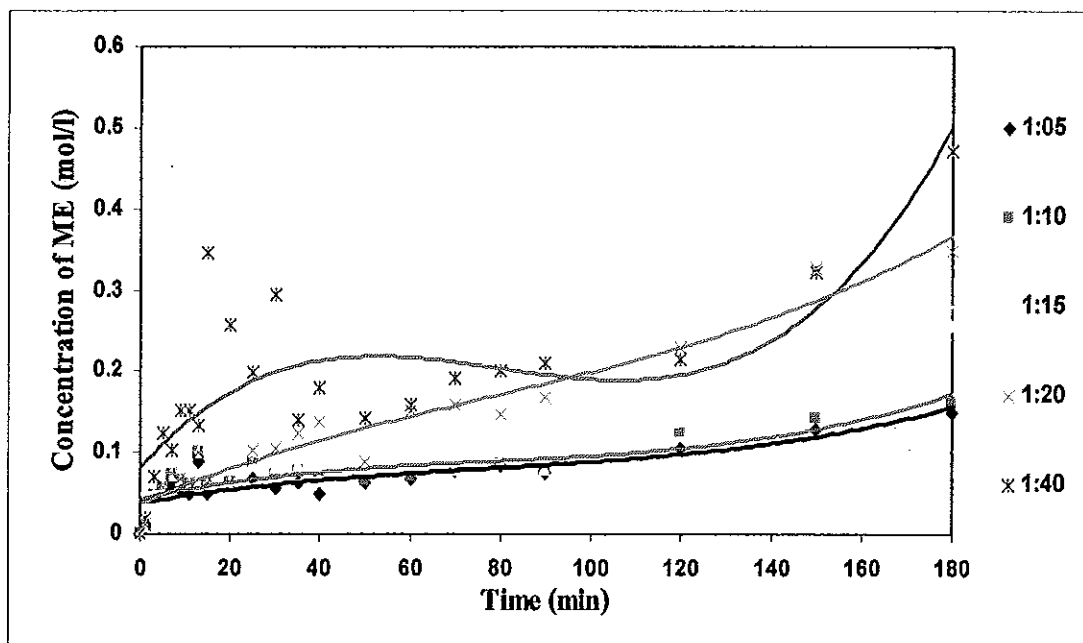


ภาพประกอบที่ 22 แสดงความสัมพันธ์ระหว่างความเข้มข้นของกรดไขมันอิสระกับเวลาในการทำปฏิกิริยาที่อุณหภูมิ 60 °C, 70 °C และ 80 °C อัตราส่วนเชิงโน้มของน้ำมันปาล์ม ต่อมีเทานอลเป็น 1:40

จากภาพประกอบที่ 22 จะสังเกตได้ว่าที่อัตราส่วนเชิงโน้มของน้ำมันปาล์มต่อมีเทานอลเป็น 1:40 ทำการเปลี่ยนอุณหภูมิ พบว่าที่อุณหภูมิ 70 °C และ 80 °C ความเข้มข้นของกรดไขมันอิสระลดลงไก้ด้วยกันและลดลงอย่างรวดเร็วในขณะที่อุณหภูมิ 60 °C ความเข้มข้นลดลงอย่างช้า ๆ ซึ่งอาจจะเกิดจากที่ 70 °C และ 80 °C เป็นอุณหภูมิที่สูงกว่าจุดเดือดของเมทานอล จึงทำให้การเปลี่ยนแปลงความเข้มข้นไม่แตกต่างกันมากนัก

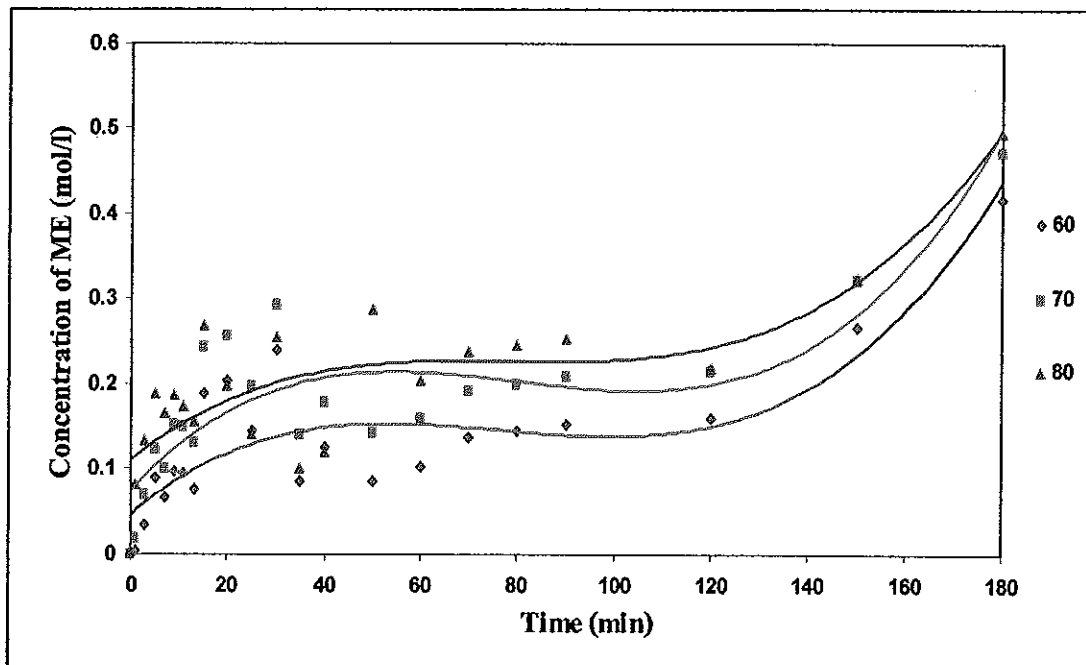
(2) การเปลี่ยนแปลงความเข้มข้นของเมทิลเอสเตอร์

เมทิลเอสเตอร์เป็นผลิตภัณฑ์ที่เกิดจากการทำปฏิกิริยาเอสเตอริฟิเคชันระหว่างกรดไขมันอิสระและเมทานอล ซึ่งผลแสดงดังภาพประกอบที่ 23 และ 24



ภาพประกอบที่ 23 แสดงความสัมพันธ์ระหว่างความเข้มข้นของเมทิลเออสเตอร์กับเวลาในการทำปฏิกิริยาที่อัตราส่วนเชิงโมลของน้ำมันปาล์มดิบต่อมีทานอลเป็น 1:5, 1:10, 1:15, 1:20 และ 1:40 อุณหภูมิ 70 °C

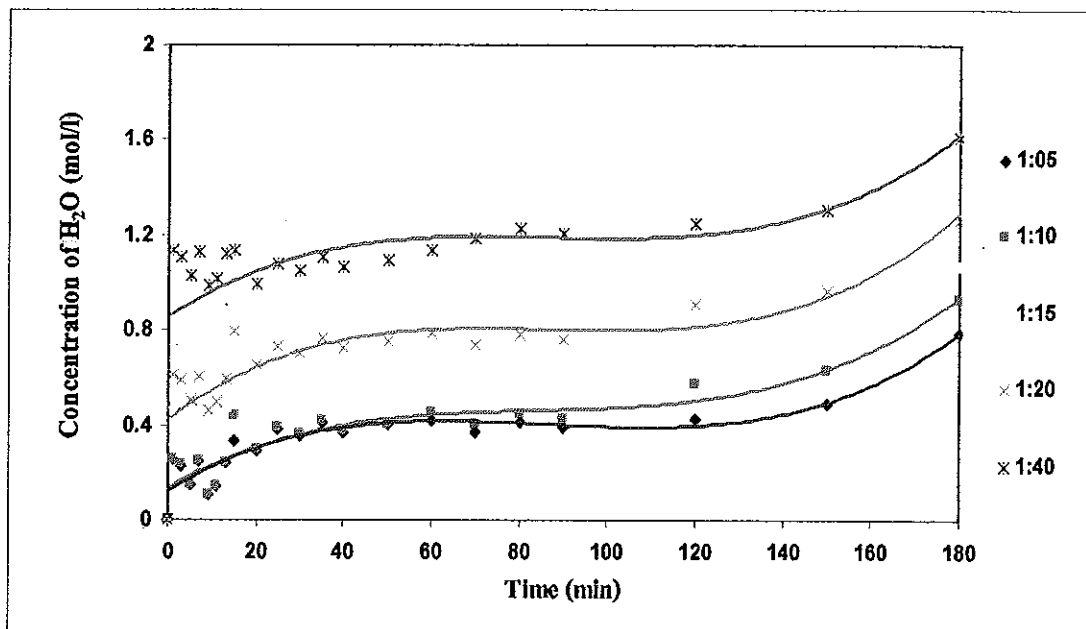
จากภาพประกอบที่ 23 จะสังเกตเห็นได้ว่าที่อุณหภูมิคงที่ 70 °C เมื่อทำการเปลี่ยนแปลงอัตราส่วนเชิงโมลของน้ำมันปาล์มดิบต่อมีทานอล ที่อัตราส่วนเชิงโมลสูงความเข้มข้นของเมทิลเออสเตอร์เพิ่มขึ้น ได้รวดเร็วกว่าที่อัตราส่วนเชิงโมลต่ำ ซึ่งที่อัตราส่วนเชิงโมลเป็น 1:5 และ 1:10 ความเข้มข้นของเมทิลเออสเตอร์เพิ่มขึ้นใกล้เคียงกัน ส่วนที่อัตราส่วนเชิงโมลเป็น 1:20 และ 1:30 ความเข้มข้นเพิ่มขึ้นอย่างรวดเร็ว ซึ่งผลการทดลองสอดคล้องกับการทดลองของ Marchetti และคณะ (2007) ซึ่งกล่าวว่าที่อัตราส่วนเชิงโมลของน้ำมันปาล์มดิบต่อมีทานอลสูงอัตราการเกิดปฏิกิริยาเริ่มต้นจะเกิดขึ้นได้เร็วกว่าที่อัตราส่วนเชิงโมลต่ำ



ภาพประกอบที่ 24 แสดงความสัมพันธ์ระหว่างความเข้มข้นของเมทิลเอสเตอร์กับเวลาในการทำปฏิกิริยาที่อุณหภูมิ 60°C , 70°C และ 80°C อัตราส่วนเชิงโมลของน้ำมันปาล์มดิบต่อเมทานอลเป็น 1:40

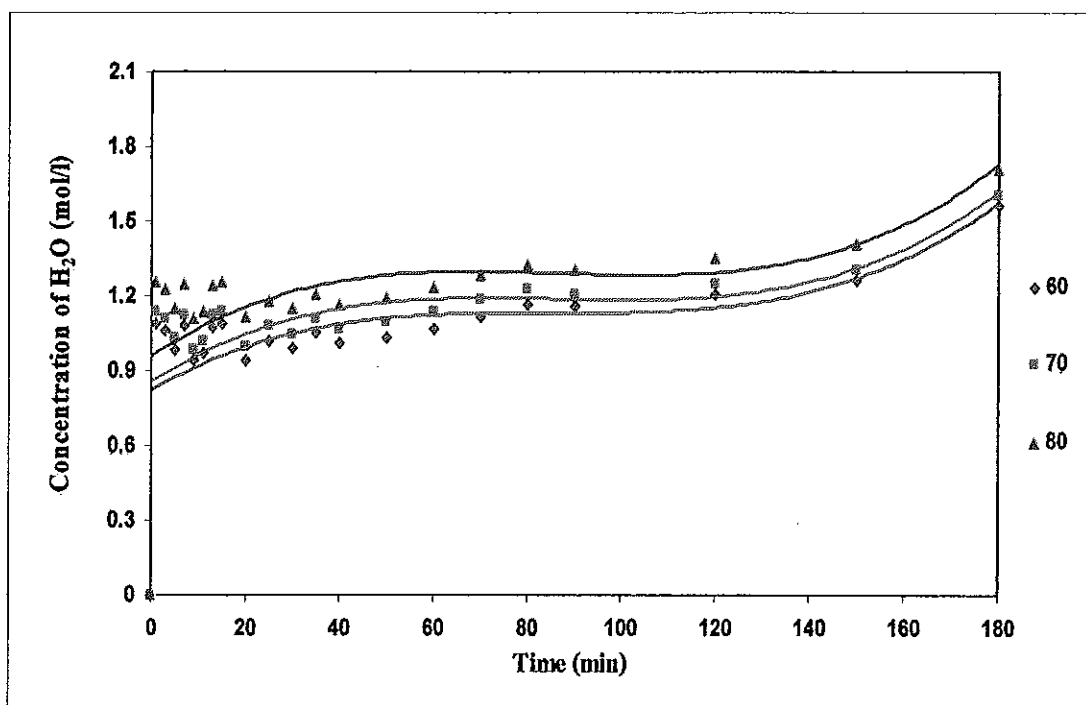
จากภาพประกอบที่ 24 จะสังเกตได้ว่าที่อัตราส่วนเชิงโมลของน้ำมันปาล์มดิบต่อเมทานอลเป็น 1:40 ทำการเปลี่ยนอุณหภูมิ พบว่าความเข้มข้นของเมทานอลเพิ่มขึ้นตามเวลาและเมื่ออุณหภูมิสูงขึ้นการเพิ่มขึ้นของเมทิลเอสเตอร์ก็เพิ่มขึ้นด้วยแต่มีแนวโน้มการเพิ่มขึ้นที่ใกล้เคียงกัน

(3) การเปลี่ยนแปลงของน้ำที่เกิดขึ้นจากปฏิกิริยา
น้ำเป็นผลิตภัณฑ์อีกตัวหนึ่งที่เกิดขึ้นจากการทำปฏิกิริยาอสเตรโรฟิลีเซ็นระหว่างกรดไขมันอิสระและเมทานอล ซึ่งผลแสดงดังภาพประกอบที่ 25 และ 26



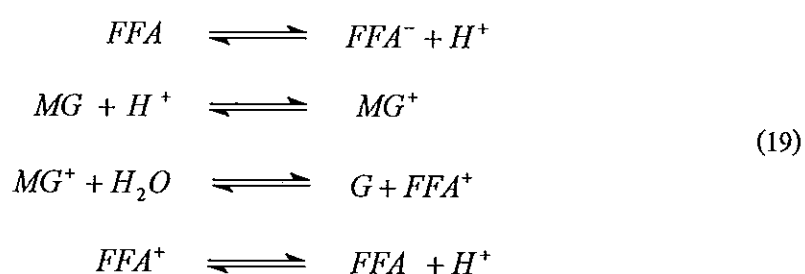
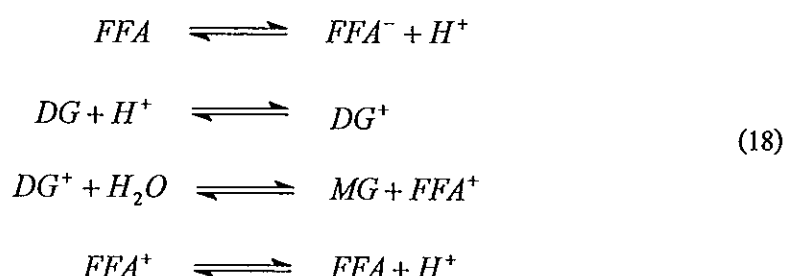
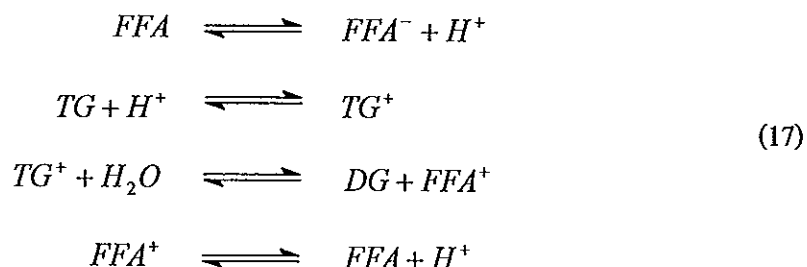
ภาพประกอบที่ 25 แสดงความสัมพันธ์ระหว่างน้ำที่เกิดขึ้นกับเวลาในการทำปฏิกิริยาที่อัตราส่วนเชิงโมลของน้ำมันปาล์มดิบต่อเมทานอลเป็น 1:5, 1:10, 1:15, 1:20 และ 1:40 อุณหภูมิ 70°C

จากภาพประกอบที่ 25 จะสังเกตเห็นได้ว่าที่อุณหภูมิคงที่ 70°C เมื่อทำการเปลี่ยนแปลงอัตราส่วนเชิงโมลของน้ำมันปาล์มดิบต่อเมทานอล พบว่านาฬิกาเพิ่มขึ้นตามเวลาและเพิ่มขึ้นตามอัตราส่วนเชิงโมลของน้ำมันปาล์มดิบต่อเมทานอล และมีแนวโน้มการเพิ่มขึ้นแบบเดียวกัน และเมื่อทำการเปลี่ยนอุณหภูมิโดยใช้อัตราส่วนเชิงโมลของน้ำมันปาล์มดิบต่อเมทานอล เป็น 1:40 ปริมาณน้ำที่ยังคงเพิ่มขึ้นตามเวลาและเพิ่มขึ้นตามอุณหภูมิ ผลแสดงดังภาพประกอบที่ 26



ภาพประกอบที่ 26 แสดงความสัมพันธ์ระหว่างความเข้มข้นของน้ำที่เกิดขึ้นกับเวลาในการทำ
ปฏิกิริยาที่อุณหภูมิ 60°C , 70°C และ 80°C อัตราส่วนเชิงไมลของน้ำมันปาล์ม
คิดต่อเมทานอลเป็น 1:40

จากการทดลองสังเกตเห็นได้ว่าในขณะที่ % Conversion ของกรดไขมันมีแนวโน้มคงที่ แต่ % Conversion ของเมทิลเอสเทอร์และน้ำมีแนวโน้มเพิ่มขึ้นทั้ง ๆ ที่ควรจะคงที่ด้วยเช่นกัน ทั้งนี้อาจจะเกิดขึ้นเนื่องจากการไฮโดรไลซิส (Hydrolysis) ของไตรกลีเซอไรด์ (TG) ไดกเลอไรด์ (DG) และโมโนกลีเซอไรด์ (MG) โดย Minami และ Saka, 2006 ได้ทำการศึกษาจนพบสาสตร์ของการไฮโดรไลซิสของเมทานอลโดยการผลิตไบโอดีเซลแบบสองขั้นตอนโดยใช้เมทานอลในสถานะวิกฤต (Supercritical Methanol) ซึ่งผลของการไฮโดรไลซิสของไตรกลีเซอไรด์ใน Subcritical ของน้ำ พบว่า การไฮโดรไลซิสของน้ำมันหรือไขมันจะประกอบด้วย 3 ขั้นตอน คือ 1. โมเลกุลของไตรกลีเซอไรด์ ถูกไฮโดรไลต์เป็น 1. โมเลกุลของไดกเลอไรด์ และ 1. โมเลกุลของกรดไขมัน (FFA) ในทำนองเดียวกัน 1 โมเลกุลของไดกเลอไรด์ ถูกไฮโดรไลต์เป็น 1 โมเลกุลของโมโนกลีเซอไรด์ และ 1 โมเลกุลของกรดไขมัน (FFA) และ 1 โมเลกุลของโมโนกลีเซอไรด์ถูกไฮโดรไลต์เป็น 1 โมเลกุลของกลีเซอไรด์ และ 1 โมเลกุลของกรดไขมัน (FFA) ดังสมการที่ 17, 18 และ 19



ที่มา : Minami และ Saka (2006)

อย่างก็ตามถ้าเกิดปฏิกิริยาขึ้นกับจัลก์จะเกิดนำเข้าได้ในระบบ ซึ่งปฏิกิริยาไฮโคลีไซด์เกิดขึ้นได้โดยไม่ต้องใช้ตัวเร่งปฏิกิริยา ดังนั้นจึงมีความเป็นไปได้ที่ทำให้ % Conversion ของเมทิลเอสเทอร์และนำมีแนวโน้มไม่คงที่

4.3.2 อัตราการเกิดปฏิกิริยา

(1) ข้อสมนคัญของการทำปฏิกิริยา

- (1.1) ปฏิกิริยาเอสเทอโรฟิเคลชันเป็นแบบข้อนกลับได้
- (1.2) สารมีการผสมกันได้ดี (Well Mix) และเหมือนกันทุกจุด

(1.3) อัตราส่วนของน้ำมันปาล์มดินต่อเมทานอลสูงพอที่จะทำให้เมทานอลมากเกินพอด้วยกำหนดให้ความเข้มข้นของเมทานอลคงที่ตลอดกระบวนการ

(1.4) กำหนดให้ในกระบวนการมีเพียงปฏิกิริยาเอสเตอเรชันเที่ยงอย่างเดียวไม่มีปฏิกิริยาข้างเคียงหรือปฏิกิริยาอื่น ๆ

(1.5) การคำนวณอัตราการเกิดปฏิกิริยาจะคิดโดยคิดเป็นปฏิกิริยาโดยรวม (Overall reaction)

(2) ค่าคงที่ของอัตราการเกิดปฏิกิริยา

การศึกษาอัตราการเกิดปฏิกิริยาจะสนใจอัตราการหายไปของกรดไขมันอิสระ (FFA) ซึ่งอัตราการหายไปของกรดไขมันอิสระจากสมการที่ 16 สามารถเขียนได้เป็น

$$-r_{RCOOH} = -\frac{d[RCOOH]}{dt} = k_{fw}[RCOOH]^{\alpha}[CH_3OH]^{\beta} - k_{bw}[RCOOCH_3]^{\gamma}[H_2O]^{\lambda} \quad (9)$$

เนื่องจากความเข้มข้นของเมทานอลมากเกินพอดังนั้นสมการ (9) สามารถเขียนใหม่ได้เป็น

$$-r_{RCOOH} = K[RCOOH]^{\alpha} - k_{bw}[RCOOCH_3]^{\gamma}[H_2O]^{\lambda} \quad (20)$$

$$-r_{FFA} = K[FFA]^{\alpha} - k_{bw}[ME]^{\gamma}[H_2O]^{\lambda} \quad (21)$$

โดยที่ $[FFA]$ คือ $[RCOOH]$ ความเข้มข้นของกรดไขมันอิสระ (mol/l)

$[ME]$ คือ $[RCOOCH_3]$ ความเข้มข้นของเมทิลเอสเตอร์ (mol/l)

K คือ $k_{fw}[RCOOH]^{\alpha}$ ค่าคงที่

k_{bw} คือ ค่าคงที่ของปฏิกิริยาข้อกลับ

$-r_{FFA}$ คือ อัตราการหายไปของ FFA ($\text{mol/l}\cdot\text{min}$)

จากสมการค่า K เป็นค่าคงที่เกิดจากผลคูณของ ค่าคงที่ปฏิกิริยาไปข้างหน้ากับความเข้มข้นของเมทานอลโดยกำหนดให้เมทานอลเข้าสู่กระบวนการมากเกินพอด้วยกำหนดให้ความเข้มข้นของเมทานอลคงที่ตลอดกระบวนการ

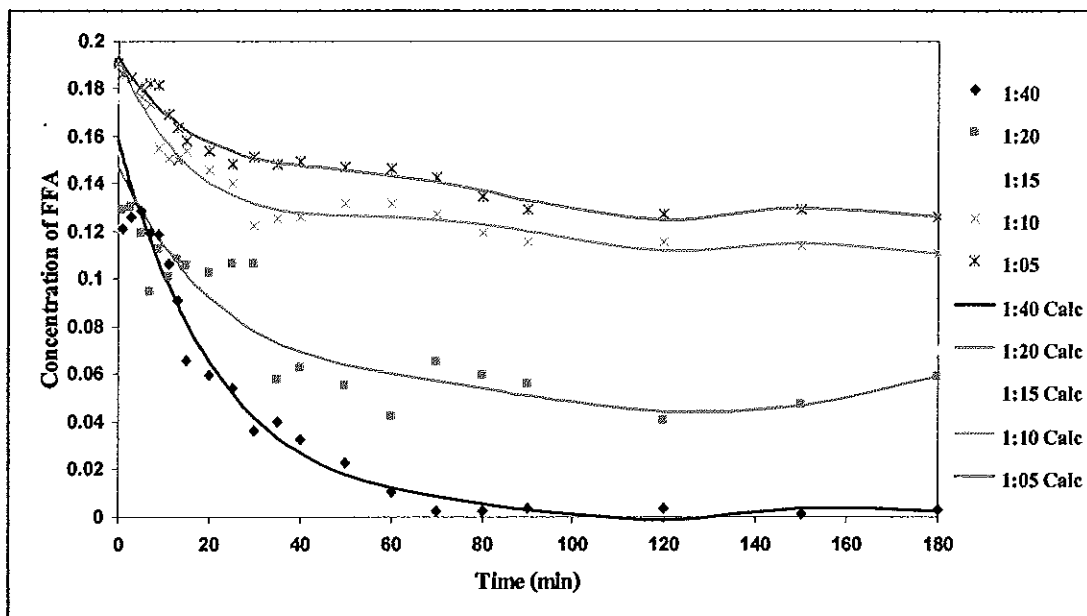
จากการเก็บข้อมูลจะใช้วิธีการหาสมการ Polynomial กำลัง 5 รูปแบบสมการคือ

$$C_{FFA} = a_0 + a_1 t + a_2 t^2 + a_3 t^3 + a_4 t^4 + a_5 t^5$$

โดยใช้โปรแกรม Polymath 6.0 professional ในส่วนของ Regression งานนี้ทำการหาค่า Polynomial Derivative เทียบกับเวลา $\left(\frac{dC_{FFA}}{dt} \right)$ ผลแสดงดังตารางที่ 9 และ 10 ภาพประกอบที่ 27 และ 28

ตารางที่ 9 แสดงผลที่ได้จากการทำ Polynomial Regression ที่อุณหภูมิ 70 °C อัตราส่วนเชิงโมลของ CPO:MeOH ต่างๆ

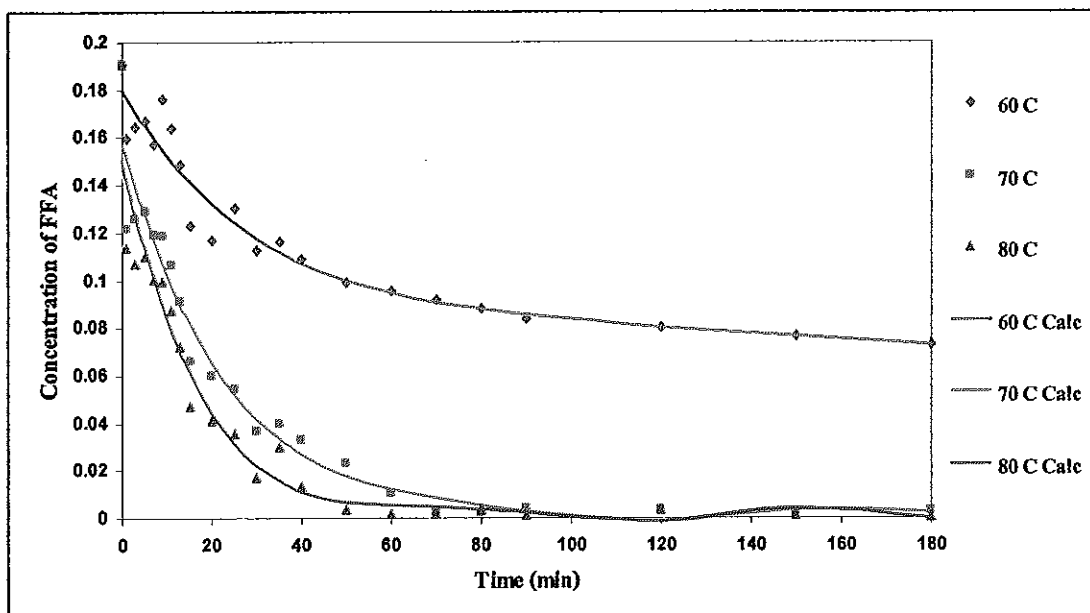
ค่าคงที่	อัตราส่วนเชิงโมลของ CPO:MeOH				
	1:5	1:10	1:15	1:20	1:40
a ₀	1.93E-01	1.93E-01	1.78E-01	1.48E-01	1.58E-01
a ₁	-3.04E-03	-4.37E-03	-5.15E-03	-4.07E-03	-6.78E-03
a ₂	8.06E-05	1.12E-04	1.17E-04	7.89E-05	1.30E-04
a ₃	-1.05E-06	-1.35E-06	-1.29E-06	-7.98E-07	-1.30E-06
a ₄	6.17E-09	7.40E-09	6.74E-09	3.86E-09	6.41E-09
a ₅	-1.31E-11	-1.50E-11	-1.33E-11	-6.94E-12	-1.22E-11
R ²	9.70E-01	9.68E-01	9.52E-01	8.19E-01	9.56E-01



ภาพประกอบที่ 27 แสดงความเข้มข้นของกรดไขมันอิสระที่ได้จากการวัดจริงและการใช้ Polynomial Regression กับเวลาที่อุณหภูมิ 70°C อัตราส่วนเชิงโมลของ CPO:MeOH ต่าง ๆ

ตารางที่ 10 แสดงผลที่ได้จากการทำ Polynomial Regression ที่อัตราส่วนเชิงโมลของน้ำมันปาล์มคิดต่อเมทานอลเป็น 1:40 ที่อุณหภูมิต่าง ๆ

ค่าคงที่	อุณหภูมิ		
	60°C	70°C	80°C
a_0	1.80E-01	1.58E-01	1.50E-01
a_1	-3.22E-03	-6.78E-03	-8.26E-03
a_2	4.83E-05	1.30E-04	1.84E-04
a_3	-3.93E-07	-1.30E-06	-1.96E-06
a_4	1.63E-09	6.41E-09	9.98E-09
a_5	-2.69E-12	-1.22E-11	-1.92E-11
R^2	9.37E-01	9.56E-01	9.39E-01



ภาพประกอบที่ 28 แสดงความเข้มข้นของกรดไขมันอิสระที่ได้จากการวัดจริงและการการใช้ Polynomial Regression กับเวลา ที่อัตราส่วนเชิงโน้มของน้ำมันปาล์มคิดต่อ เมทานอลเป็น 1:40 ที่อุณหภูมิต่าง ๆ

จากนั้นนำผลที่ได้หาค่าอัตราการหายไปของกรดไขมันอิสระ $\left(-\frac{dC_{FFA}}{dt} \right)$ และใช้โปรแกรม Polymath 6.0 professional ในส่วนของ Regression เพื่อคำนวณหาอัตราการหายไปของกรดไขมันอิสระ และค่าคงที่ของปฏิกิริยา ผลแสดงดังตารางที่ 11 และ 12 โดยในโปรแกรม Polymath 6.0 professional ข้อมูลคิดที่จะต้องใช้คือ ค่าอัตราการหายไปของกรดไขมันอิสระ $\left(-\frac{dC_{FFA}}{dt} \right)$ ความเข้มข้นของกรดไขมันอิสระ (C_{FFA}) ความเข้มข้นของเมทิลเอสเทอร์ที่เกิดขึ้น (C_{ME}) และ ความเข้มข้นน้ำ (C_{H_2O}) ที่เวลาต่าง ๆ

ตารางที่ 11 แสดงค่าคงที่ของอัตราการเกิดปฏิกิริยาที่อุณหภูมิ 70 °C อัตราส่วนเชิงโมลของ

CPO:MeOH ต่าง ๆ

ค่าคงที่	อัตราส่วนเชิงโมลของน้ำมันปาล์มดินต่อเมทานอล (CPO:MeOH)				
	1:5	1:10	1:15	1:20	1:40
K	1.254	0.186	0.114	0.039	0.042
α	3.572	2.010	1.621	0.963	0.936
k_{bw}	2.212E-03	2.158E-03	1.990E-03	3.036E-03	8.759E-04
γ	0.164	-0.071	-0.199	-0.069	0.140
λ	0.556	0.090	1.330	0.425	-8.336
R^2	0.939	0.903	0.991	0.986	0.976

ตารางที่ 12 แสดงค่าคงที่ของอัตราการเกิดปฏิกิริยาที่อัตราส่วนเชิงโมลของน้ำมันปาล์มดินต่อเมทานอลเป็น 1:40 ที่อุณหภูมิต่าง ๆ

ค่าคงที่	อุณหภูมิ (°C)		
	60	70	80
K	0.017	0.042	0.045
α	1.000	0.936	0.833
k_{bw}	4.171E-04	8.759E-04	1.138E-03
γ	-0.001	0.140	0.209
λ	2.780	-8.336	-1.792
R^2	0.764	0.976	0.957

จากตารางที่ 11 และ 12 พบว่าอันดับปฏิกิริยาไม่ได้เป็นจำนวนเต็ม ซึ่งอาจจะเกิดขึ้นได้และพบว่าค่า K มากกว่า k_{bw} ซึ่งสามารถกล่าวได้ว่าปฏิกิริยาไปข้างหน้าเกิดขึ้นได้ดีกว่าปฏิกิริยาข้อนกลับ ซึ่ง $K = k_{fw} [RCOOH]^{\alpha}$ จากสมมติฐานได้กำหนดให้เมทานอลมากเกินพอ

(Excess) จนทำให้ความเข้มข้นของเมทานอลคงที่ต่อก่อกระบวนการ แต่ในทางปฏิบัติริง ๆ เมทานอลมีโอกาสเกิดการระเหยได้

จากตารางที่ 11 พบว่าที่อัตราส่วนเชิงโมลของ CPO:MeOH เป็น 1:5, 1:10 และ 1:15 ค่าคงที่ปฏิกริยาไปข้างหน้ามีค่าลดลง ซึ่งในทางปฏิบัติเมื่ออัตราส่วนเชิงโมลของ CPO:MeOH สูงขึ้นปฏิกริยาไปข้างหน้าก็ดีขึ้นได้ดี นั่นหมายความว่าค่าคงที่ปฏิกริยาไปข้างหน้าจะต้องเพิ่มขึ้นตามอัตราส่วนเชิงโมลของ CPO:MeOH แต่ผลที่ได้จากการ Regression พบว่าค่าคงที่ปฏิกริยาไปข้างหน้ามีค่าลดลง ทั้งนี้อาจเนื่องมาจากการอัตราส่วนเชิงโมลของ CPO:MeOH ไม่สูงมากเกินพอนสามารถกำหนดค่าให้ความเข้มข้นของเมทานอลคงที่ แต่ที่อัตราส่วนเชิงโมลของ CPO:MeOH เท่ากับ 1:20 และ 1:40 ค่าคงที่ปฏิกริยาไปข้างหน้าเพิ่มขึ้นตามอัตราส่วนเชิงโมลที่เพิ่มขึ้นซึ่งสอดคล้องกันทั้งในทางทฤษฎีและทางปฏิบัติ ดังนั้นจึงมีความเป็นไปได้ที่จะกำหนดค่าให้ที่อัตราส่วนเชิงโมลนี้สูงพอดังที่ได้กำหนดในกระบวนการมากเกินพอด้วย

จากการ Regression เพื่อหาสมการในการเกิดปฏิกริยาพบว่า R^2 มีค่าเข้าใกล้ 1 แต่ในบางชุดข้อมูลค่า R^2 ไม่เข้าใกล้ 1 ทั้งนี้อาจเนื่องมาจากในข้อมูลนั้นได้กำหนดให้ในกระบวนการมีเพียงปฏิกริยาเอกสาริฟิเกชันเพียงอย่างเดียว ไม่มีปฏิกริยาข้างเคียงหรือปฏิกริยาอื่น ๆ ซึ่งในความเป็นจริงแล้วในระบบอาจมีปฏิกริยาอื่น ๆ เกิดขึ้นได้ เนื่องจากในระบบยังมีไตรก๊ลิเซอไรค์ ไอก๊ลิเซอไรค์และโนโนก๊ลิเซอไรค์ที่สามารถทำปฏิกริยาได้ ความเข้มข้นที่วัดได้จึงอาจมากจากการทำปฏิกริยาอื่น ๆ ด้วยเช่นกัน โดยเฉพาะความเข้มข้นของน้ำที่เกิดในระบบไม่ได้เกิดจากปฏิกริยาเอกสาริฟิเกชันอย่างเดียวแต่ยังมีปฏิกริยาการไฮโดรไลซิสดังที่ Minami และ Saka (2006) ได้ทำการศึกษาไว้

เมื่อพิจารณาค่า K พบว่าเมื่ออุณหภูมิเพิ่มขึ้น K มีค่าเพิ่มขึ้น ซึ่งเป็นไปตามทฤษฎี นั่นคือ ค่า K แปรผันตามอุณหภูมิ

(3) พลังงานก่อก้มมั่นต์ของปฏิกริยา (Energies of activation) และแฟกเตอร์

ความถี่ (Frequency Factor)

ในการหาพลังงานก่อก้มมั่นต์ของปฏิกริยา และแฟกเตอร์ความถี่จะใช้สมการของอาร์เรนนิส (Arrhenius Equation) ได้ก่อร่วมค่าคงที่ปฏิกริยาขึ้นอยู่กับอุณหภูมิ ดังสมการ

$$k = Ae^{-E_a/RT} \quad (10)$$

เมื่อ E_a คือ พลังงานก่อก้มมั่นต์ของปฏิกริยา (J/mol)

R คือ ค่าคงที่ของแก๊ส (เท่ากับ 8.314 J/K.mol)

T คือ อุณหภูมิสัมบูรณ์ (K)

e คือ ฐานของลอการิทึมธรรมชาติ

A คือ ความถี่ของการชน เรียกว่าแฟกเตอร์ความถี่ (Frequency Factor)

มีค่าคงที่ในช่วงอุณหภูมิที่กว้างพอควรสำหรับแต่ละปฏิกิริยา

เพียงสมการนี้ใหม่ในรูปของลอการิทึมธรรมชาติ ดังนี้

$$\begin{aligned}\ln k &= \ln A e^{-E_a/RT} \\ \ln k &= \ln A - \frac{E_a}{RT}\end{aligned}\quad (11)$$

สังเกตว่าสมการที่ (11) เพียงเป็นสมการเส้นตรงได้ คือ

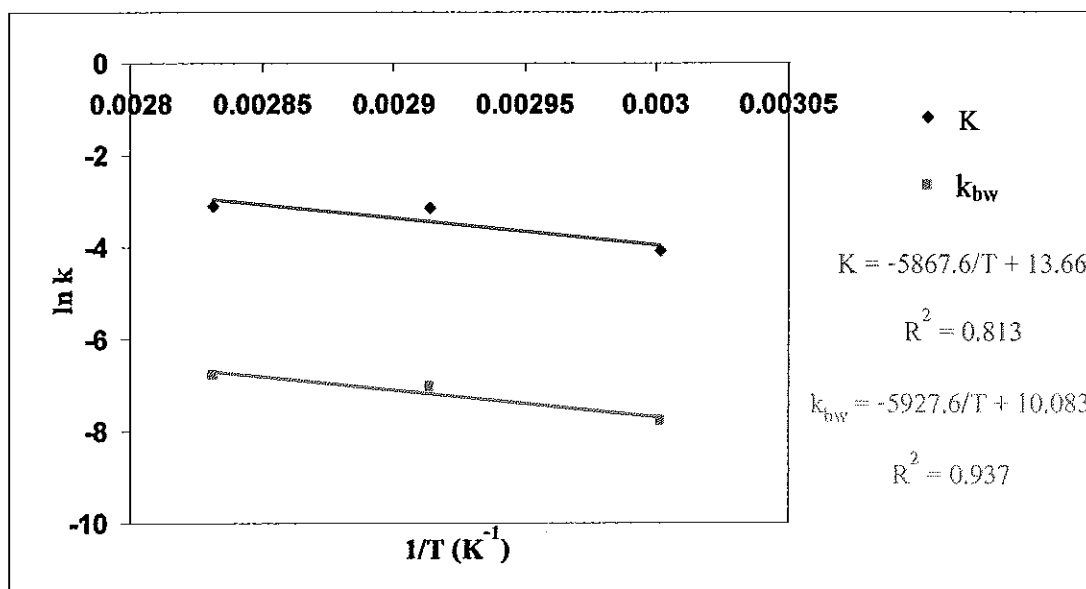
$$\ln k = \left(-\frac{E_a}{R} \right) \frac{1}{T} + \ln A \quad (12)$$

$$y = mx + b \quad (13)$$

$$\text{โดยที่ } y = \ln k, m = \left(-\frac{E_a}{R} \right), x = \frac{1}{T}, b = \ln A$$

ดังนั้น เมื่อเพียงกราฟระหว่าง $\ln k$ กับ $\frac{1}{T}$ จะได้เส้นตรงที่มีความชันเท่ากับ

$$\left(-\frac{E_a}{R} \right) \text{ และมีจุดตัดแกน } y \text{ เท่ากับ } \ln A$$



ภาพประกอบที่ 29 แสดงความสัมพันธ์ระหว่าง $\ln k$ กับ $\frac{1}{T}$ ที่อัตราส่วนเชิงโน้มของน้ำมัน

ปาล์มน้ำมันคิดต่อเมทานอลเป็น 1:40

ตารางที่ 13 แสดงค่าพลังงานก่อการมันต์ของปฏิกิริยาและแฟกเตอร์ความถี่ที่อัตราส่วนเชิงโน้มของน้ำมันปาล์มน้ำมันคิดต่อเมทานอลเป็น 1:40

ค่าคงที่	A	E_a (kJ/mol)	R^2
K	855978.04	48.78	0.813
k_{bw}	23932.68	49.28	0.937

จากตารางที่ 11 พบว่าค่าพลังงานก่อการมันต์ของปฏิกิริยาไปข้างหน้าต่ำกว่าค่าพลังงานก่อการมันต์ของปฏิกิริยาขึ้นกลับ ดังนั้นปฏิกิริยามีโอกาสไปข้างหน้ามากกว่าขึ้นกลับ เนื่องจากจะต้องใช้พลังงานสูงกว่าที่จะทำให้ปฏิกิริยาเกิดการขึ้นกลับ และจากค่าแฟกเตอร์ความถี่หรือเรียกว่า ความถี่ของการชนของปฏิกิริยาไปข้างหน้ามีค่าน้อยกว่าปฏิกิริยาขึ้นกลับซึ่งแสดงให้เห็นถึงความสามารถในการทำปฏิกิริยา คือ มีการชนกันน้อยกว่าที่มีโอกาสเกิดปฏิกิริยาได้ ดังนั้นจะพบว่าค่าของพลังงานก่อการมันต์ของปฏิกิริยาและแฟกเตอร์ความถี่มีความสอดคล้องกัน คือในปฏิกิริยาไปข้างหน้าจะมีค่าน้อยกว่าปฏิกิริยาขึ้นกลับ ซึ่งผลการทดลองมีความสอดคล้องกัน

Berrios และคณะ (2007) โดยทำการศึกษาจนผลศาสตร์ของปฏิกิริยาเอสเตอริฟิเกชันของกรดไฮมันอิสระในน้ำมันเมล็ดทานตะวัน ซึ่งใช้กรดซัลฟิวริก (H_2SO_4) เป็นตัวเร่งปฏิกิริยาพบว่าค่าผลลัพธ์งานก่อภัยมันต์และแฟกเตอร์ความถี่ของปฏิกิริยาไปข้างหน้าจะมีค่าลดลงเมื่อความเข้มข้นของปฏิกิริยาเพิ่มขึ้น ซึ่งที่ความเข้มข้นของตัวเร่งปฏิกิริยาเพิ่มขึ้นทำให้เกิดปฏิกิริยาไปข้างหน้าเพิ่มขึ้น ด้วย แสดงดังตารางที่ 14

ตารางที่ 14 แสดงค่าแฟกเตอร์ความถี่และผลลัพธ์งานก่อภัยมันต์ของปฏิกิริยาเอสเตอริฟิเกชันสำหรับ การผลิตไบโอดีเซล

k_{fw}			k_{bw}			Reference
A	E_a (kJ/mol)	R^2	A	E_a (kJ/mol)	R^2	
8.56×10^5	48.78	0.813	2.39×10^4	49.28	0.937	งานวิจัยฉบับนี้
2.87×10^6	50.75	0.999	37.07	31.01	0.932	¹ Berrios และคณะ, 2007
3.91×10^5	44.56	0.997	7.07×10^2	42.76	0.932	² Berrios และคณะ, 2007

หมายเหตุ 1 คือ การทำปฏิกิริยาที่ 5% H_2SO_4

2 คือ การทำปฏิกิริยาที่ 10% H_2SO_4

บทที่ 5

สรุปผลการทดลอง

5.1 คุณลักษณะของตัวเร่งปฏิกิริยา

จากการศึกษาการเพิ่มขึ้นของเปอร์เซ็นต์โดยน้ำหนักของ HPW บน Al_2O_3 สามารถยืนยันได้จากลักษณะทางกายภาพ โดยใช้เทคนิค XRD และ FT-IR โดยพบว่าเมื่อเปอร์เซ็นต์การโหลด (% Loading) HPW บน Al_2O_3 สูงขึ้นจะพบปริมาณ HPW มากขึ้น

5.2 การศึกษาปฏิกิริยาเօสเตรอริฟิเคลชัน

การศึกษาปฏิกิริยาเօสเตรอริฟิเคลชันของกรดไนมันอิสระกับเมทานอลโดยใช้ฟอตโฟทัชสติก แซดิค บนอะลูมิเนียมออกไซด์เป็นตัวเร่งปฏิกิริยา พบว่าประสิทธิภาพของตัวเร่งปฏิกิริยาเพิ่มขึ้นตามเปอร์เซ็นต์โดยน้ำหนักของ HPW บน Al_2O_3 ซึ่งเมื่อตัวแปรอื่นคงที่ ทำการเปลี่ยนแปลงอัตราส่วนเชิงโมลของน้ำมันปาล์มดีบต่อเมทานอล พบว่าเมทิลเอสเตอร์เพิ่มขึ้นตามอัตราส่วนเชิงโมลและพบว่าที่อัตราส่วนเชิงโมลเดียวกันเมื่ออุณหภูมิเพิ่มขึ้นทำให้ปฏิกิริยาไปข้างหน้าเกิดขึ้นได้ดีกว่าปฏิกิริยาข่อนกลับ ภาวะที่เหมาะสมต่อการทำปฏิกิริยาเօสเตรอริฟิเคลชัน คือ อัตราส่วนเชิงโมลของน้ำมันปาล์มดีบต่อเมทานอลเป็น 1:40 อัตราส่วนโดยน้ำหนักของตัวเร่งปฏิกิริยา 30% HPW/ Al_2O_3 ต่อน้ำมันปาล์มดีบเป็น 1:6.25 กรัม ทำการทดลองที่อุณหภูมิ 80 °C เป็นเวลา 40 นาที สามารถลดกรดไนมันอิสระได้ร้อยละ 92 ซึ่งทำให้กรดไนมันอิสระน้อยกว่าร้อยละ 1 โดยน้ำหนัก

การศึกษาอัตราการเกิดปฏิกิริยาโดยรวมของปฏิกิริยาเօสเตรอริฟิเคลชัน พบว่าที่อัตราส่วนเชิงโมลของน้ำมันปาล์มดีบต่อเมทานอลเป็น 1:20 และ 1:40 สามารถใช้การคิดอัตราการเกิดปฏิกิริยาโดยรวมได้ โดยอันดับปฏิกิริยาเทียบกับกรดไนมันอิสระเท่ากับ 1 ซึ่งที่อัตราส่วนเชิงโมลของน้ำมันปาล์มดีบต่อเมทานอลเป็น 1:5, 1:10 และ 1:15 อัตราการเกิดปฏิกิริยามีความแปรปรวนจำเป็นต้องมีการศึกษาเพิ่มเติม จากการทดลองพบว่าค่าพลังงานก่อการมันต์ของปฏิกิริยาไปข้างหน้าเท่ากับ 48.78 kJ/mol และค่าพลังงานก่อการมันต์ของปฏิกิริยาข่อนกลับเท่ากับ 49.28 kJ/mol ซึ่งค่าคงที่ปฏิกิริยา (K) เพิ่มขึ้นเมื่ออุณหภูมิเพิ่มขึ้น

5.3 ข้อเสนอแนะ

ในการผลิตเนทิลเอสเตอร์เชิงอุตสาหกรรมจากน้ำมันปาล์มดิบหรือน้ำมันพืชกรดไขมันสูงนี้ มีความน่าสนใจที่ศึกษาขั้นตอนเอสเตอริฟิเคชันของกรดไขมันเพื่อลดกรดไขมันอิสระให้ต่ำกว่าร้อยละ 1 โดยนำหนักด้วยตัวเร่งปฏิกิริยากรดที่เป็นของแข็งแล้วจึงทำปฏิกิริยากรานส์เอสเตอริฟิเคชันด้วยการใช้เบสเป็นตัวเร่งปฏิกิริยาต่อไป โดยในงานวิจัยนี้ได้ทำการทดลองศึกษาปฏิกิริยาเอสเตอริฟิเคชัน โดยใช้สัดส่วนเชิงโมลของน้ำมันปาล์มคิบต่อเมทานอล เท่ากับ 1:40 สัดส่วนโดยนำหนักของตัวเร่งปฏิกิริยาที่ 30% HPW/AI₂O₃ ต่อน้ำมันปาล์มคิบ เท่ากับ 1:6.25 ที่อุณหภูมิ 80 °C พบว่า ไม่เหลือกรดไขมันอิสระในผลิตภัณฑ์ โดยใช้เวลา 1.5 ชั่วโมง แนวคิดการทำปฏิกิริยาแบบ 2 ขั้นตอนนี้ มีความต้องการเพียงลดกรดไขมันอิสระให้มีค่าน้อยกว่าร้อยละ 1 เท่านั้น ซึ่งไม่มีความจำเป็นต้องให้ได้ % Conversion ของเนทิลเอสเตอร์สูง ดังนั้นสภาวะที่ทำการทดลองจึงมีความเป็นไปได้ที่จะลดแฟกเตอร์การผลิตให้มีต้นทุนลดลง เช่น ลดอุณหภูมิที่ใช้ในการทดลอง ลดเวลาในการทำปฏิกิริยา ลดสัดส่วนเชิงโมลของน้ำมันปาล์มคิบต่อเมทานอล ลดสัดส่วนโดยนำหนักของตัวเร่งปฏิกิริยาต่อน้ำมันปาล์มคิบ เป็นต้น

ตัวเร่งปฏิกิริยาสำหรับเอสเตอริฟิเคชันที่เป็นของแข็งซึ่งใช้ในงานวิจัย เมื่อทำการทดสอบแล้วควรเก็บไว้ในโดดเดี่ยวในชั้น เนื่องจากตัวเร่งปฏิกิริยามีความสามารถในการดูดซับน้ำที่มีอยู่ในอากาศค่อนข้างสูง และตัวเร่งปฏิกิริยาที่ใช้ควรมีความสามารถในการยึดเกาะอนุภาคซึ่งกันและกันสูง เพราะหากในขั้นตอนการทำปฏิกิริยาเอสเตอริฟิเคชันต้องใช้การวนเวียนให้เกิดการสัมผัสที่ดี จะทำให้มีตัวเร่งปฏิกิริยาบางส่วนหลุดออกเป็นอนุภาคเด็กๆ แพร่กระจายในชั้นน้ำมันซึ่งจะต้องแยกตัวเร่งปฏิกิริยาออกจากผลิตภัณฑ์เพื่อนำกลับมาใช้ใหม่ด้วย

ในการศึกษาจนผลศาสตร์ของปฏิกิริยาลิ่งสำคัญ คือ การควบคุมระบบ และความแม่นยำในการวิเคราะห์ความเข้มข้น ซึ่งในงานวิจัยนี้ระบบที่ใช้เป็นสารระเหยง่าย คือ เมทานอล ชนิด Commercial grade ในกรณีและเก็บตัวอย่างอาจจะทำให้เกิดการระเหยของเมทานอล ดังนั้นควรเก็บสารไว้ในที่อุณหภูมิค่า และในการวิเคราะห์ปริมาณน้ำถ้าใช้เมทานอลชนิด Commercial grade จะมีน้ำปมนากับระบบ ดังนั้นในการคำนวณจะต้องคำนึงถึงทุกนี้ด้วย

การทำปฏิกิริยาที่อุณหภูมิสูงกว่าจุดเดือดของเมทานอล โดยให้ความร้อนแก่น้ำมันปาล์มคิบจนถึงอุณหภูมิที่ต้องการก่อนระยะเวลาหนึ่ง เมื่อทำการใส่เมทานอลลงในระบบจะพบว่า อุณหภูมิเริ่มต้นจะลดต่ำลงเนื่องจากการถ่ายเทความร้อนของเมทานอลและต้านอุณหภูมิสูงกว่าจุดเดือดของเมทานอลมากเกินไปจะทำให้ความร้อนส่วนหนึ่งกลายเป็นความร้อนของการถ่ายเทเป็นไอของเมทานอล ดังนั้นระบบการเป็นระบบปิดที่สมบูรณ์ และจะต้องระวังถึงความดันไอที่เกิดขึ้น

เอกสารอ้างอิง

กลุ่มสื่อส่งเสริมการเกษตร สำนักพัฒนาการถ่ายทอดเทคโนโลยีการส่งเสริมการเกษตร. 2547.

ใน โอดีเซล น้ำมันเชื้อเพลิงจากพืช. energy plus ฉบับที่ 1 ประจำเดือนมกราคม – มีนาคม.

คณะกรรมการพัฒนา สถาบันเทคโนโลยีราชภัฏ. 2545. พัฒนาทคแทน เอทานอล และ ไบโอดีเซล.

ชาคริต ทองอุไร, สันต์ชัย กลินพิกุล, จรัญ บุญกาลเจน์ และพิมพวรรณ กีเบรติซึมกุล. 2544. การผลิต
ไบโอดีเซลจากผลปาล์มน้ำมัน, ว. สงขลานครินทร์ วทท. 23(ฉบับพิเศษ): 831-841.

แสง เรียมอน. 2544. เคมี เล่ม 1.สำนักพิมพ์แม่กรองอิว, กรุงเทพฯ.

วีโรวน์ บุญอ่อนวิทยา. 2544. ผลงานศาสตร์และการออกแบบเครื่องปฏิกรณ์. สมาคมส่งเสริม
เทคโนโลยี (ไทย-ญี่ปุ่น), กรุงเทพฯ.

ศิริพร ค่านคร. 2544. ใน โอดีเซล พัฒนาเพื่อทางเลือกของชาติ, วิศวกรรมศาสตร์. 110-116.

เอกสารประกอบการประชุมสัมมนาเชิงปฏิบัติการแผนยุทธศาสตร์ป้าล์มน้ำมัน(ปี2545-2549),
สำนักงานเศรษฐกิจ การเกษตร, 2545.

Angelo C. Pinto *et al.* 2005. Biodiesel : An Overview. J.Braz.Chem.Soc. 16 : 1313-1330.

A.S., Ramadhas, S., Jayaraj. 2005. Biodiesel production from FFA rubber seed oil. Fuel, 84 : 335-
340.

Cheng sit foon, Choo yuen may, Ma ah ngan and Chuah cheng hock. 2004. Kinetics study on
transesterification of palm oil. J. Oil Palm Research, 16(2) : 19-29.

D. Darnoko and Munir Cheryan, 2000. Kinetics of Palm Oil Transesterification in a Batch
Reactor. JAACS 19574 (77) : 1263-1267.

Edward C.*et al.* 2001. Biodiesel production from crude palm oil and evaluation of butanol extraction and fuel properties. *Process Biochemistry*. 37 : 65-71.

Eiji Minami, Shiro Saka. 2006. Kinetics of hydrolysis and methyl esterification for biodiesel production in two-step supercritical methanol process. *Fuel* 85:2479–2483.

Fogler, Scott H. 1999. *Elementarys of Chemical Reaction Engineering*. 3rd ed; Prentice Hall International Series.

H.Noureidium and D. Zhu.1997. Kinetics of Transesterification of Soybean Oil.Biocatalysis,74 : 1457-1463.

J.M. Marchetti, V.U. Miguel, A.F. Errazu. 2007. Heterogeneous esterification of oil with high amount of free fatty acids. *Fuel*. 86 : 906-910.

José A. Dias, Ednéia Caliman, Sílvia C.L. Dias, Mônica Paulo, Antonio Thyrso C.P. de Souza. 2003. Preparation and characterization of supported $H_3PW_{12}O_{40}$ on silica gel: a potential catalyst for green chemistry processes. *Catalysis Today* 85 : 39–48.

Lina, Y., Yutai, Qi, Xingdng, Y., Jian S., and Jiman, K. 2005. Direct synthesis characterization and catalytic application of SBA-15 containing heteropolyacid $H_3PW_{12}O_{40}$. *J, Molecular Catalysis.*, 229 : 199–205.

M. Di Serio , R. Tesser, M. Dimiccoli, F. Cammarot,M. Nastasi and E.2005. Santacesaria. Synthesis of biodiesel via homogeneous Lewis acid catalyst. *J. Molecular Catalysis*, 239 : 111–115.

M. Berrios J. Siles M.A. Martín and A. Martín. 2007. A kinetic study of the esterification of free fatty acids (FFA) in sunflower oil, *Fuel*.

Marchetti J.M. , Miguel V.U., Errazu A.F. 2007. Heterogeneous esterification of oil with high amount of free fatty acids. Fuel 86 : 906–910.

Mizuno and Misono. 1998. Heterogeneous Catalysis. Chemical Reviews, 98(1) : 200-201.

Oluwaniyi, O O, Ibiyemi, S A. 2003. Efficacy of Catalysts in the Batch Esterification of the Fatty Acids of *Thevetia Peruviana* Seed Oil. J. Appl. Sci. Environ. Mgt, 7(1) : 15-17.

Richard M. Felder and Ronald W. Rousseau. 1986. Elementaly Principles of Chemical Process.
2nd ed; North Carolina USA.

Shanmugam, S., Viswanathan, B. and Varadarajan ,T.K. 2004. Esterification by solid acid catalysts—a comparison. J. Molecular Catalysis , 223 : 143-147 .

Tang, T S, 2002. Fatty acid composition of edible oils in the mala Malaysian market with special reference to trans –fatty acids. J,Oil Palm Research, 14 (1): 1-8.

Thijs, A., Peters, Nieck E. Benes, Anders, H. and Jos T.F. Keurentjes.2006. Comparison of commercial solid acid catalysts for the esterification of acetic acid with butanol . Applied Catalysis , 297 :182-188.

Xin, C., Zheng, X., and Toshio, O.1999. Liquid phase esterification of acrylic acid with 1-butanol catalyzed by solid acid catalysts. Applied Catalysis.,180 : 261-269.

Yu Seung Kim *et al*. 2003. Fabrication and characterization of heteropolyacid ($H_3PW_{12}O_{40}$) / directly sulfonatedpoly (arylene ether sulfone) copolymer composite membranes for higher temperature fuel cell application. J.Mem Sci. 212 : 263-282.

Chemexper. "Aluminium oxide". Available online:

<http://www.chemexper.com/chemicals/supplier/cas/1344-28-1.html> Feb. 15, 06.

Mallinckrodt Baker, Inc. "MSDS Material Safety Data Sheet". Available online:

<http://www.jtbaker.com/msds/englishhtml/p4182.htm>. Nov. 29, 06.

National Metal and Materials Technology Center. "X-ray Diffraction Technique". Available

online: http://www.mtec.or.th/th/labs/xrd&xrf/xrd_tech.html Mar. 7, 06.

The national science foundation. "acid catalyst". Available online:

<http://www.people.virginia.edu/~davis/acid%20catalysis.htm> Nov. 12, 06.

ภาคผนวก

ภาคผนวก ก

วิธีการวิเคราะห์

1. การวิเคราะห์ปริมาณน้ำในน้ำมันด้วยวิธี Karl Fisher

Karl Fisher เป็นชื่อนักวิทยาศาสตร์ชาวเยอรมันที่เป็นผู้คิดค้นวิธีวิเคราะห์หาความชื้นขึ้นจึงได้รับเกียรติให้เป็นชื่อเครื่องมือ สามารถหาความชื้นได้ทั้งตัวอย่างที่เป็นของเหลวของแข็งและแก๊ส ได้ เป็นวิธีที่สะดวกและใช้เวลาในการวิเคราะห์สั้น จึงได้รับความนิยมมากในปัจุบัน เช่น งานทางค้าน้ำมัน เกสซ์ค่าสตร์ ทางปิโตรเลียม เป็นต้น

Karl Fisher เป็นเครื่องวัดปริมาณน้ำตัวอย่าง โดยมีค่าสารตัวอย่างลงไปในสารละลายไอโซไอล์ต์ ทำให้ไอโซไอล์ต์เกิดการสูญเสียอิเล็กตรอนให้แก่สารละลายแคโทไอล์ต์ ซึ่งในสารละลายแคโทไอล์ต์จะมีไซโตรเจนไอออนอยู่ ทำให้เมื่อไซโตรเจนไอออนรับอิเล็กตรอนจะถูกยับ เป็นแก๊สไไซโตรเจน ซึ่งเครื่อง Karl Fisher นี้ จะวัดปริมาณน้ำจากปริมาณอิเล็กตรอนที่ไอโซไอล์ต์สูญเสียไป

Karl Fischer Titration เป็นหลักการวิเคราะห์หาปริมาณน้ำในตัวอย่าง โดยเริ่มต้นจากการนับการทำงานต้องໄไตเตรตน้ำในตัวทำละลายให้หมดไปก่อน (Pretitration) จากนั้นหาอัตราการเพริ่งของน้ำในอากาศว่าเข้าสู่ระบบปริมาณเท่าไหร่ (Drift หรือ Blank ของระบบ) และสุดท้ายถึงทำการฉีดตัวอย่าง ผลการวิเคราะห์เป็นที่น่าเชื่อถือ เมื่อจาก

1. ได้ทำการหาค่า Drift หรือ Blank ของระบบ
2. นำสารมาตรฐานมาทดสอบหาปริมาณน้ำที่แน่นอนแล้ว

ขั้นตอนการทำงาน

1. การเตรียมสารละลายใน Titration Beaker

1.1 การเติมน้ำยา Karl Fischer ในส่วนที่เป็น Anolyte และ Catholyte

- ตวงน้ำยา Karl Fischer ที่ใช้สำหรับ Anode ลงในส่วนของ Vessel ภายนอกประมาณ 100 มิลลิลิตร
- ตวงน้ำยา Karl Fischer ที่ใช้สำหรับ Cathode ลงในส่วนของ Cell ภายในประมาณ 5 มิลลิลิตร

- ปีกช่องต่างๆให้สนิทด้วย Desiccator Tube หรือฝาจุกสำหรับใส่สารตัวอย่าง

1.2 ถ้าต้องการเอาสารละลายออกจาก Titration Beaker

- กด Pump Key
- เปิดฝาจุกที่ปีกบน Vessel ออก แล้วสอดสาย Suction Tube ลงไปใน Titration Beaker
- กด F3 เพื่อสั่งการทำงานของ Pump, เมื่อ Pump ดูดสารละลายออกจาก Titration Beaker หมดแล้ว ให้ดึงสาย Suction Tube ขึ้น แล้วกด F3 หยุดการทำงานของ Pump

2. เริ่มการไคเตรท

การหาปริมาณน้ำในตัวอย่างด้วยเทคนิค Karl Fischer มีขั้นตอนการทำงาน 2 ขั้นตอน คือ

1. Pretitration เป็นการทำให้น้ำใน Titration Beaker หมดไป
2. การหาปริมาณน้ำในตัวอย่าง

โดยมีขั้นตอนการทำงานดังนี้

- กด RUN Key
- กด F3, OK เครื่องจะเริ่มทำ Pretitration โดยอัตโนมัติ สังเกตหน้าจอจะแสดง Bar Graph เมื่อ Bar Graph เข้าใกล้เส้นแบ่งที่กลางหน้าจอ แสดงว่า น้ำที่มีอยู่ใน Titration Beaker หมดแล้ว และเครื่องจะเข้าสู่ Standby Mode และพร้อมทำงานในขั้นตอนอันต่อไป
- ในขณะที่เครื่องอยู่ใน Standby Mode เครื่องจะหาค่า Online Drift ตลอดเวลา โดยสามารถทราบค่า Drift จากค่าล่างของหน้าจอ จะแสดงค่า Drift ในหน่วย $\mu\text{g}/\text{min}$ โดยทั่วไป จะรอให้ค่า Drift คงที่ก่อน จึงจะเริ่มทำงานในขั้นตอนต่อไป
- สามารถสังเกตค่า Drift ว่าคงที่หรือไม่ ได้จากคุณครื่อที่อยู่ด้านล่างค่า Drift
- → แสดงว่าค่า Drift คงที่ สามารถเริ่มการทำงานขั้นตอนต่อไปได้
- → แสดงว่าค่า Drift "ไม่คงที่" และกำลังลดลง "ไม่ควรเริ่มการทำงานขั้นตอนต่อไป"
- → แสดงว่าค่า Drift "ไม่คงที่" และกำลังเพิ่มขึ้น "ไม่ควรเริ่มการทำงานขั้นตอนต่อไป"

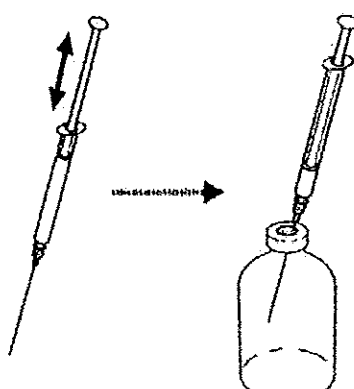
- ขั้นตอนการหาค่าปริมาณน้ำในตัวอย่าง (Sample Mode)

(เครื่องจะต้องอยู่ใน Standby Mode เท่านั้น จึงจะทำงานใน Sample Mode ได้)

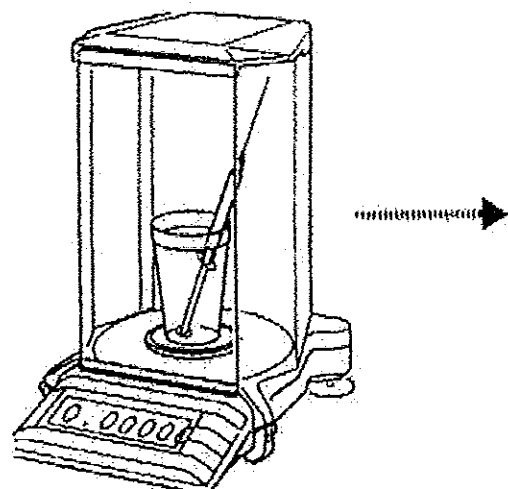
1. กด F3 Sample เดือกดหาค่าปริมาณน้ำในตัวอย่าง
2. กด แป้นตัวเลข เพื่อตั้งเวลา Mix Time ก่อนเริ่มไถเตรทเพื่อให้สารตัวอย่างละลาย
3. กด F3 OK เพื่อยืนยันการตั้งค่า Mix Time
4. กด F3 OK หน้าจอปรากฏข้อความ Please add sample min-max g
5. เติมตัวอย่างลงใน Titration Beaker

5.1 ดึง Syringe ด้วยตัวอย่างที่จะวิเคราะห์ 2-3 ครั้ง

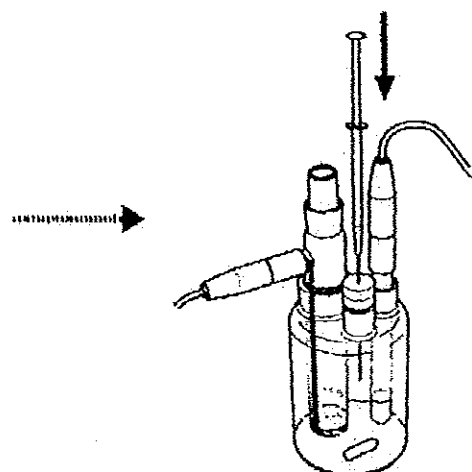
5.2 คุณตัวอย่างเข้า Syringe เชือดปลายเข็มให้แน่นด้วยกระดาษทิชชู



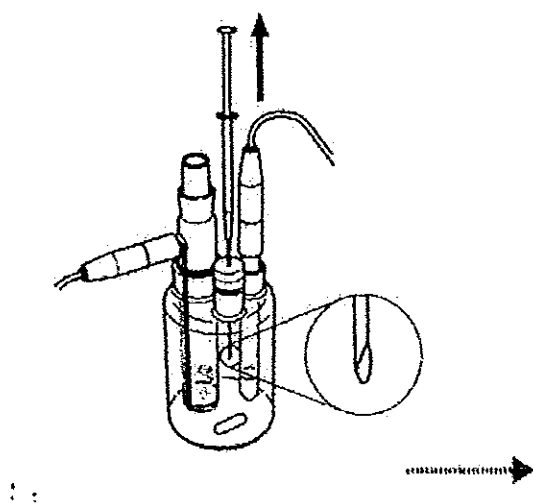
5.3 ซั่ง Syringe ในข้อ 5.2 ด้วยเครื่องซั่งละเอียด 4 ตำแหน่ง โดยการกลับด้านของ Syringe วางในบีกเกอร์ ตามรูป และกดปุ่ม Tare ที่เครื่องซั่ง ให้หน้าปัดเครื่องซั่งปรากฏเลข 0



5.4 นิคตัวอย่างลงใน Titration Cell ผ่าน Septum Stopper



5.5 ขบวนีคสารตัวอย่าง พยายามอย่าให้มีหยดของตัวอย่างทึ่งที่ป้ายเข้ม ถ้ามี หยดตัวอย่างทึ่งที่ป้ายเข้มให้ฉีดลงใน Titration Cell ให้หมด แล้วคงทิ้ก ขึ้นมาเด็กน้อย ดูในรูป



5.6 ดึง Syringe ออก แล้วนำไปปั๊งใหม่จะได้น้ำหนักสารที่ฉีดลงใน Titration Cell

6. กด F3 OK เครื่องจะเริ่มไประท เพื่อหาค่าน้ำ

7. กด F1 Sample

8. กด แป้นตัวเลข เพื่อใส่น้ำหนักตัวอย่างตามที่ชั่งได้ในข้อ 5.6

9. กด F3 OK เพื่อ Confirm ค่าน้ำหนักของสารตัวอย่าง

เครื่องจะเริ่มไประท ขณะที่เครื่องกำลังทำงานอยู่นั้น สามารถกดเปลี่ยน F1/F2 หรือ F3 เพื่อขอข้อมูลในการ ไประท ได้ เช่น ค่า Drift/ค่า mg น้ำ/เวลาที่ใช้ในการ ไประท เป็นต้น
เมื่อเครื่อง ไประทเสร็จ จะคำนวณค่าปริมาณน้ำในตัวอย่าง และแสดงผลที่หน้าจอ ถ้าต้องการหาค่าตัวอย่างต่อไป ให้กด F3 OK เครื่องจะกลับไปที่ Standby Mode และสามารถเริ่ม การหาค่าตัวอย่างต่อไปได้ทันที

2. การวิเคราะห์เมทิลอะเสตอร์

สารเคมีที่ใช้ในการวิเคราะห์

- สารละลายนมของ เออกเซน : ไคลอฟิลลีเทอร์ : กรดฟอร์มิก ในอัตราส่วน 50 : 20 : 0.3 (ปริมาตรต่อปริมาตรต่อปริมาตร)
- สารละลายนมของ เออกเซน : แบนชีน ในอัตราส่วน 1 : 1 (ปริมาตรต่อปริมาตร)

วิธีวิเคราะห์

- คุณตัวอย่างละลายนมทิลอะสเตอร์ 150 มิลลิกรัม ละลายด้วยเออกเซน 0.75 มิลลิลิตร
- เตรียม Quartz rods (silica gel pore coated Chromarod S-III) นำไปอบที่อุณหภูมิ 105 องศา เชลเซียสเป็นเวลา 5 นาที แล้วนำไป Blank Scan ด้วย TLC/FID Analyzer ภายใต้สภาวะ 30 วินาทีต่อสแกนอัตราการไหลของแก๊สไฮโดรเจน 160 มิลลิลิตรต่อนาที และอัตราการไหลของอากาศ 2000 มิลลิลิตรต่อนาที
- หยดสารละลายน้ำ (1) ลงไปประมาณ 1 ใบในโกรลิตร์ นำ Quartz rods ไปเชื่อมสารละลายน้ำ ประกอบด้วย เออกเซน : ไคลอฟิลลีเทอร์ : กรดฟอร์มิก ในอัตราส่วน 50 : 20 : 0.3 (ปริมาตรต่อปริมาตรต่อปริมาตร) จนกระทั้งสารละลายเคลื่อนที่สูงประมาณ 8 เซนติเมตร (ประมาณ 20 นาที) หลังจากนั้นนำไปเชื่อมสารละลายน้ำ ประกอบด้วย เออกเซน : แบนชีน ในอัตราส่วน 1 : 1 (ปริมาตรต่อปริมาตร) จนกระทั้งสารละลายเคลื่อนที่สูงประมาณ 10 เซนติเมตร (ประมาณ 30 นาที)
- นำ Quartz rods ไปอบที่อุณหภูมิ 105 องศาเชลเซียส เป็นเวลา 10 นาที แล้วนำมาสแกนภายใต้ สภาวะเดียวกันกับ Blank Scan
- อ่านผลการวิเคราะห์จากโปรแกรม ChromStar Light โดยผลการทดลองแสดงในรูปเบอร์เข็นต์ ของพื้นที่

3. การหาค่า Free Fatty Acid (FFA) ของน้ำมัน

1. ชั่งน้ำหนักภาชนะ (ขวดนมพู่) แทร็ซีโรที่เครื่องชั่ง
2. นำน้ำมันใส่ภาชนะ ชั่งน้ำหนัก โดยใช้ตัวอย่างน้ำมันประมาณ 5.00-6.00 กรัม และบันทึกน้ำหนัก
3. เติมเอทานอล (C_2H_5OH) 50 มิลลิลิตร
4. นำไปตั้งบน Water Bath จนน้ำมันก้นขวดละลาย เผย่าให้เข้ากัน
5. หยดพิโนปราดีน อินดิกेटอร์ 5-7 หยด

การเตรียมพิโนปราดีน อินดิกेटอร์

ละลายพิโนปราดีน 1 กรัมลงในเอทานอล 95% จำนวน 100 มิลลิลิตร เติมน้ำกลัน 100 มิลลิลิตรแล้วควรหยด 0.02 นอร์มอลของโซเดียมไฮดรอกไซด์ (Sodium hydroxide, NaOH) ลงที่ละหมาดจนสีเข้มมุจางเกิดขึ้นในสารละลาย

6. นำไปไตรเตรท์กับ Sodium hydroxide (NaOH) โดยการค่อย ๆ ปล่อย NaOH จากหลอดบวบเรตลงในขวดอย่างช้า ๆ และแกะงวยขวดตัวอย่าง เพื่อให้ตัวอย่างภายในขวดกับ NaOH ทำปฏิกิริยา กัน จนกว่าน้ำมันที่เป็นสีเหลืองกล้ายเป็นสีแดงอมส้ม

การเตรียมโซเดียมไฮดรอกไซด์ 0.1 นอร์มอล

ละลายโซเดียมไฮดรอกไซด์ 4 กรัมในน้ำกลันที่ปราศจากการรับอนุโถกไซด์ จนได้ปริมาณ 1000 มิลลิลิตร แสดงค่าคงไดซ์ โปแตสเซียมไฮโภเจนพาทาเลท

การเตรียมน้ำกลันที่ปราศจากการรับอนุโถกไซด์

ต้มน้ำกลันให้เดือด 15 นาที แล้วทำการเย็นให้เย็นเท่ากับอุณหภูมิห้องอย่างรวดเร็วเพื่อป้องกันการละลายของแก๊สคาร์บอนไดออกไซด์จากบรรยายกาศขณะทำให้เย็น

7. อ่านปริมาณ NaOH จากหลอดบวบ บันทึกปริมาณ NaOH ที่ใช้ไป

วิธีการแสดงค่าคงไดซ์ 0.1 นอร์มอล โซเดียมไฮดรอกไซด์

ชั่งโปแตสเซียมไฮโภเจนพาทาเลท (KPH) ประมาณ 2.5 กรัม นำไปอบที่ 120 °C นาน 2 ชั่วโมง ทิ้งให้เย็นในเดสสิเกเตอร์ (M.W. KHP = 204.23 $C_8H_5KO_4$)

- ทดลองโดยชั่ง KHP ประมาณ 400 มิลลิกรัม หรือ 0.4 กรัม ใส่ Flask ขนาด 250 มิลลิลิตร เติมน้ำกลั่น 75 มิลลิลิตร แล้วนำมาไตรเตอร์กับ NaOH 0.1 N ใช้พิโนป่าเดิน เป็นอินดิเคเตอร์ และ Point สี Rose Pink (NaOH ประมาณ 20 มิลลิลิตร)

$$\text{การคำนวณ} = \frac{\text{mgKHP}}{\text{ml.NaOH} \times 204.23}$$

$$204.23 \text{ mg Potassium Biphthalate} = 1 \text{ ml } 1 \text{ N NaOH}$$

โดยที่ mgKHP คือ ปริมาณของโซเดียมไฮroxเจน พาลาแอล (มิลลิกรัม)

ml.NaOH คือ ปริมาณของโซเดียมไฮดรอกไซด์ (มิลลิลิตร)

204.23 คือ น้ำหนักโมเลกุลของโซเดียมไฮroxเจน
พาลาแอล

8. การคำนวณหาค่า FFA

$$\text{FFA} = \frac{\text{ปริมาณ NaOH} \times 25.6 \times \text{ความเข้มข้นของ NaOH}}{\text{ปริมาณตัวอย่างน้ำมัน}}$$

ที่มา : บริษัท หักมูลค่าทางกรรมน้ำมันปาล์ม (1993) จำกัด, สุราษฎร์ธานี.

ภาคผนวก ข

วิธีการคำนวณ

1. การคำนวณมวลโมเลกุลของ Free Fatty Acid (FFA)

จากการทดสอบหาปริมาณกรดไขมันอิสระของน้ำมันปาล์มคิดด้วยเทคนิคการทดสอบด้วย Gas Chromatography-Mass Spectrometry ได้ผลดังตาราง

Fatty acid	Systematic name	Structure ^a	Formula	Ratio (wt%)
Palmitic	Hexadecanoic	16:0	C ₁₆ H ₃₂ O ₂	46.695
Oleic	cis-9-Octadecanoic	18:1	C ₁₈ H ₃₄ O ₂	42.358
Stearic	Octadecanoic	18:0	C ₁₈ H ₃₆ O ₂	3.243
Linoleic	cis-9,cis-12-Octadecadienoic	18:2	C ₁₈ H ₃₂ O ₂	7.704

$$\begin{aligned}\text{มวลโมเลกุลของ Palmitic} &= (12 \times 16) + (1 \times 32) + (16 \times 2) \\ &= 192 + 32 + 32 \\ &= 256 \text{ g/mol}\end{aligned}$$

$$\begin{aligned}\text{มวลโมเลกุลของ Oleic} &= (12 \times 18) + (1 \times 34) + (16 \times 2) \\ &= 216 + 34 + 32 \\ &= 282 \text{ g/mol}\end{aligned}$$

$$\begin{aligned}\text{มวลโมเลกุลของ Stearic} &= (12 \times 18) + (1 \times 36) + (16 \times 2) \\ &= 216 + 36 + 32 \\ &= 284 \text{ g/mol}\end{aligned}$$

$$\text{มวลโมเลกุลของ Linoleic} = (12 \times 18) + (1 \times 32) + (16 \times 2)$$

$$\begin{aligned}
 &= 216 + 32 + 32 \\
 &= 280 \text{ g/mol}
 \end{aligned}$$

การคำนวณมวลโมเลกุลเฉลี่ยของสารผสม

$$\overline{MW} = y_1 MW_1 + y_2 MW_2 + \cdots + y_n MW_n = \sum_{i=1}^n y_i MW_i$$

โดยที่	\overline{MW}	คือ มวลโมเลกุลเฉลี่ยของสารผสม
MW		คือ มวลโมเลกุลของสารองค์ประกอบ
y		คือ อัตราส่วนเชิงโมล (Mole Fraction)

ซึ่งหาค่า y ได้จาก

$$y = \frac{\text{จำนวน โมลของสารองค์ประกอบนั้น}}{\text{จำนวน โมลของสารทั้งหมด}}$$

ฐานการคำนวณ 100 กรัมของ FFA

Basis 100 g of FFA						
Fatty acid	Formula	Ratio (wt%)	MW	M	n	y
Palmitic	C ₁₆ H ₃₂ O ₂	46.695	256	46.695	0.182	0.491
Oleic	C ₁₈ H ₃₄ O ₂	42.358	282	42.358	0.150	0.404
Stearic	C ₁₈ H ₃₆ O ₂	3.243	284	3.243	0.011	0.031
Linoleic	C ₁₈ H ₃₂ O ₂	7.704	280	7.704	0.028	0.074
Total				100	0.372	1.000

โดยที่ M คือ น้ำหนักสาร
n คือ จำนวน โมลของสารองค์ประกอบ

$$\begin{aligned}
 \text{มวลโมเลกุลของ FFA} &= (y_{\text{Palmitic}})(\text{มวลโมเลกุลของ Palmitic}) + (y_{\text{Oleic}})(\text{มวลโมเลกุลของ Oleic}) \\
 &\quad + (y_{\text{Stearic}})(\text{มวลโมเลกุลของ Stearic}) + (y_{\text{Linoleic}})(\text{มวลโมเลกุลของ Linoleic}) \\
 &= (0.491)(256) + (0.404)(282) + (0.031)(284) \\
 &\quad + (0.074)(280) \\
 &= 125.696 + 113.928 + 8.804 + 20.72 \\
 &= 269.148 \text{ g/mol}
 \end{aligned}$$

∴ มวลโมเลกุลของ FFA เท่ากับ 269.148 g/mol

2. การคำนวณมวลโมเลกุลของ Methyl Ester (ME)

จากสมการของปฏิกิริยาเอสเตอร์ฟิล์เคลชัน พนว่า FFA ทำปฏิกิริยากับเมทานอลได้ เมทิลเอสเตอร์และน้ำ โดยที่ FFA เปลี่ยนไปเป็นเมทิลเอสเตอร์ โดย H ถูกแทนที่ด้วย CH₃, ดังสมการ



กรด เมทานอล เมทิลเอสเตอร์ น้ำ

C ₁₆ H ₃₂ O ₂ (Palmitic)	เปลี่ยนไปเป็น	C ₁₇ H ₃₄ O ₂
C ₁₈ H ₃₄ O ₂ (Oleic)	เปลี่ยนไปเป็น	C ₁₉ H ₃₆ O ₂
C ₁₈ H ₃₆ O ₂ (Stearic)	เปลี่ยนไปเป็น	C ₁₉ H ₃₈ O ₂
C ₁₈ H ₃₂ O ₂ (Linoleic)	เปลี่ยนไปเป็น	C ₁₉ H ₃₄ O ₂

ถ้าปฏิกิริยาเกิดขึ้น 100 % และการแทนที่ H ด้วย OH เกิดขึ้นกับกรดไขมันอิสระ (FFA) เท่าเทียม กับ ดังนั้นอัตราส่วนเชิงโมลยังคงเท่าเดิม จะสามารถคำนวณมวลโมเลกุลของ ME ได้ดังนี้

$$\begin{aligned}
 \text{มวลโมเลกุลของ C}_{17}\text{H}_{34}\text{O}_2 &= (12 \times 17) + (1 \times 34) + (16 \times 2) \\
 &= 204 + 34 + 32
 \end{aligned}$$

$$= 270 \text{ g/mol}$$

$$\begin{aligned}\text{มวลโมเลกุลของ } C_{19}H_{36}O_2 &= (12 \times 19) + (1 \times 36) + (16 \times 2) \\ &= 228 + 36 + 32 \\ &= 296 \text{ g/mol}\end{aligned}$$

$$\begin{aligned}\text{มวลโมเลกุลของ } C_{19}H_{38}O_2 &= (12 \times 19) + (1 \times 38) + (16 \times 2) \\ &= 228 + 38 + 32 \\ &= 298 \text{ g/mol}\end{aligned}$$

$$\begin{aligned}\text{มวลโมเลกุลของ } C_{19}H_{34}O_2 &= (12 \times 19) + (1 \times 34) + (16 \times 2) \\ &= 228 + 34 + 32 \\ &= 294 \text{ g/mol}\end{aligned}$$

ขั้นการคำนวณ 100 กรัมของ ME

$$\begin{aligned}\text{มวลโมเลกุลของ ME} &= (0.491)(270) + (0.404)(296) + (0.031)(298) \\ &\quad + (0.074)(294) \\ &= 132.57 + 119.584 + 9.238 + 21.756 \\ &= 283.148 \text{ g/mol}\end{aligned}$$

\therefore มวลโมเลกุลของ ME เท่ากับ 283.148 g/mol

3. การวิเคราะห์ข้อมูลอัตราเร็วของปฏิกิริยา

จากการเก็บข้อมูลจะใช้วิธีการหาสมการ polynomial กำลัง 5 รูปแบบสมการคือ

$$C_{FFA} = a_0 + a_1 t + a_2 t^2 + a_3 t^3 + a_4 t^4 + a_5 t^5$$

โดยใช้โปรแกรม Polymath 6.0 professional จากนั้นทำการหาค่า Polynomial Derivative เทียบกับเวลา

ตัวอย่าง ผลของการใช้โปรแกรม Polymath 6.0 professional ในการหาสมการความเข้มข้นของกรดไนมันอิสระ และการหาค่า Polynomial Derivative เทียบกับเวลา ที่อุณหภูมิ 70°C อัตราส่วนเชิงโมลของ CPO:MeOH เท่ากับ 1:40

โดยกำหนดให้ CF1_40 คือ ความเข้มข้นของกรดไนมันอิสระที่อุณหภูมิ 70°C
อัตราส่วนเชิงโมลของ CPO:MeOH เท่ากับ 1:40
t คือ เวลา (นาที)

Model: CF1_40 = a0 + a1*t + a2*t^2 + a3*t^3 + a4*t^4 + a5*t^5

Variable	Value	95% confidence
a0	0.158411	0.016633
a1	-0.0067778	0.0026428
a2	0.0001296	0.0001128
a3	-1.295E-06	1.827E-06
a4	6.409E-09	1.219E-08
a5	-1.224E-11	2.831E-11

Analytical polynomial derivative

$$CF1_40 = 0.158411 - 0.0067778*t + 0.0001296*t^2 - 1.295E-06*t^3 + 6.409E-09*t^4 - 1.224E-11*t^5$$

$$d(CF1_40)/d(t) = -0.0067778 + 0.0002593*t - 3.885E-06*t^2 + 2.564E-08*t^3 - 6.12E-11*t^4$$

t	$a(t)/a(40)/a(0)$
0	-0.0067778
1	-0.0065223
3	-0.0060341
5	-0.0055752
7	-0.0051444
9	-0.0047405
11	-0.0043623
13	-0.0040089
15	-0.003679
20	-0.0029504
25	-0.0023466
30	-0.0018524
35	-0.0014537
40	-0.0011372
50	-0.0007024
60	-0.0004602
70	-0.0003376
80	-0.0002762
90	-0.0002325
120	9.528E-06
150	0.0002548
180	-0.0006972

General

Degree of polynomial = 5

Regression including a free parameter

Number of observations = 22

Statistics

R^2	0.9563995
R^2adj	0.9427744
Rmsd	0.0024263
Variance	0.0001781

Source data points and calculated data points

		CET-40	CET-40 calc	Delta CET-40
0	0	.190707816	0.158411	0.0322968
1	1	.121409368	0.1517616	-0.0303522
3	3	.126299563	0.1392101	-0.0129105
5	5	.128883363	0.1276055	0.0012779
7	7	.11927342	0.1168904	0.002383
9	9	.118886953	0.10701	0.011877
11	11	.106505825	0.0979113	0.0085945
13	13	.091228355	0.0895442	0.0016842
15	15	.065940914	0.0818602	-0.0159193
20	20	.059771616	0.065342	-0.0055704
25	25	.054291783	0.0521483	0.0021435
30	30	.036463872	0.0416933	-0.0052294
35	35	.039775334	0.0334648	0.0063105

14	40	.032765765	0.027019	0.0057467
15	50	.023008941	0.0180158	0.0049931
16	60	.010507898	0.0123308	-0.0018229
17	70	.002324818	0.0084152	-0.0060904
18	80	.002306263	0.0053769	-0.0030707
19	90	.003983843	0.002834	0.0011499
20	120	.003509056	-0.0010771	0.0045862
21	150	.001260641	0.0038354	-0.0025747
22	180	.003132501	0.0026352	0.0004974

4. การคำนวณค่าพลังงานก่อภัยมันต์

ในการหาพลังงานก่อภัยมันต์ของปฏิกิริยา และแฟกเตอร์ความถี่จะใช้สมการของอาร์เรเนียส (Arrhenius Equation) ได้ก่อ Lawrence ค่าคงที่ปฏิกิริยาขึ้นอยู่กับอุณหภูมิ ดังสมการ

$$k = Ae^{-E_a/RT} \quad (10)$$

เมื่อ E_a คือ พลังงานก่อภัยมันต์ของปฏิกิริยา (J/mol)

R คือ ค่าคงที่ของแก๊ส (เท่ากับ 8.314 J/K.mol)

T คือ อุณหภูมิสัมบูรณ์ (K)

e คือ ฐานของลอการิทึมธรรมชาติ

A คือ ความถี่ของการชน เรียกว่าแฟกเตอร์ความถี่ (Frequency Factor)

มีค่าคงที่ในช่วงอุณหภูมิที่กว้างพอควรสำหรับแต่ละปฏิกิริยา

เขียนสมการนี้ใหม่ในรูปของลอการิทึมธรรมชาติ ดังนี้

$$\begin{aligned} \ln k &= \ln A e^{-E_a/RT} \\ \ln k &= \ln A - \frac{E_a}{RT} \end{aligned} \quad (11)$$

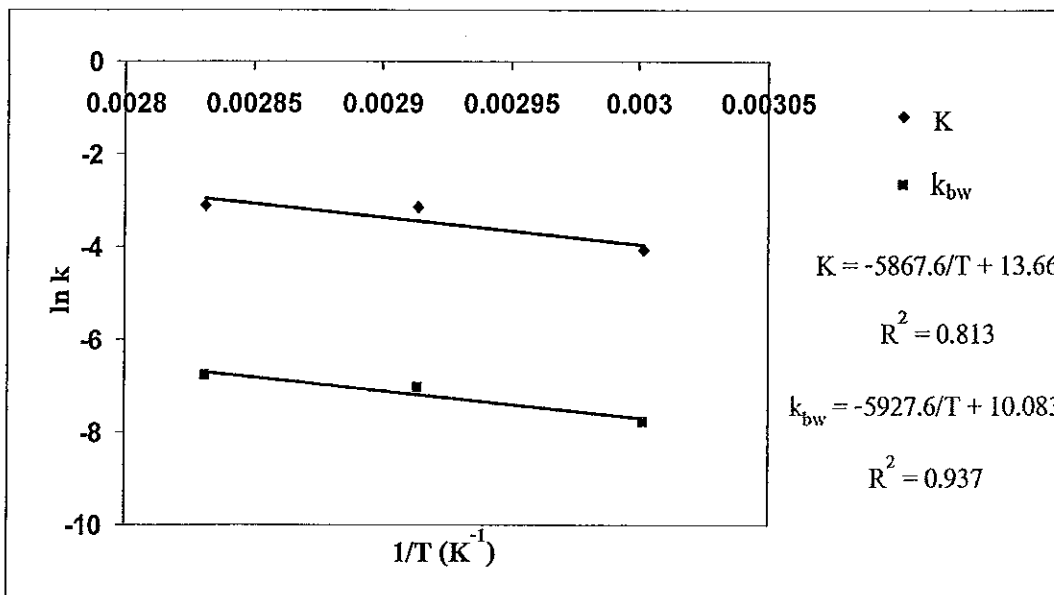
สังเกตว่าสมการที่ (11) เขียนเป็นสมการเด่นตรงได้ คือ

$$\ln k = \left(-\frac{E_a}{R} \right) \frac{1}{T} + \ln A \quad (12)$$

$$y = mx + b \quad (13)$$

$$\text{โดยที่ } y = \ln k, m = \left(-\frac{E_a}{R} \right), x = \frac{1}{T}, b = \ln A$$

ดังนั้น เมื่อเขียนกราฟระหว่าง $\ln k$ กับ $\frac{1}{T}$ จะได้เส้นตรงที่มีความชันเท่ากับ $\left(-\frac{E_a}{R} \right)$ และมีจุดตัดแกน y เท่ากับ $\ln A$



ค่าคงที่	A	E_a (kJ/mol)	R^2
K	855,978	48.78	0.813
k_{bw}	23,933	49.28	0.937

ตัวอย่างการคำนวณของค่า E ของปฏิกิริยาไปข้างหน้า

$$-\frac{E_a}{R} = -5867.6$$

$$E_a = (-5867.6) \times 8.314$$

$$= 48783.226 \text{ J/mol}$$

$$= 48.78 \text{ kJ/mol}$$

แต่ $K = k_{fw}[\text{RCOOH}]^\alpha$ เมื่อลองทำการคำนวณเพื่อหาความเข้มข้นของเมทานอลโดยกำหนดให้ความเข้มข้นของเมทานอลเท่ากับความเข้มข้นเริ่มต้นของเมทานอลลบกับความเข้มข้นของกรดไฮมันอิสระที่ใช้ไปทั้งหมดที่เวลาเริ่มต้นจนถึงสุดท้ายผลเป็นดังแสดง

สาร	ความหนาแน่น (g/ml)	จำนวนที่ใช้ (g)	จำนวนโมล (mol)	ปริมาตร v (l)	ความเข้มข้น (mol/l)
MeOH	0.791	320.4	10	0.405	14.024
CPO	0.698	215	0.25	0.308	0.432
รวม				0.713	

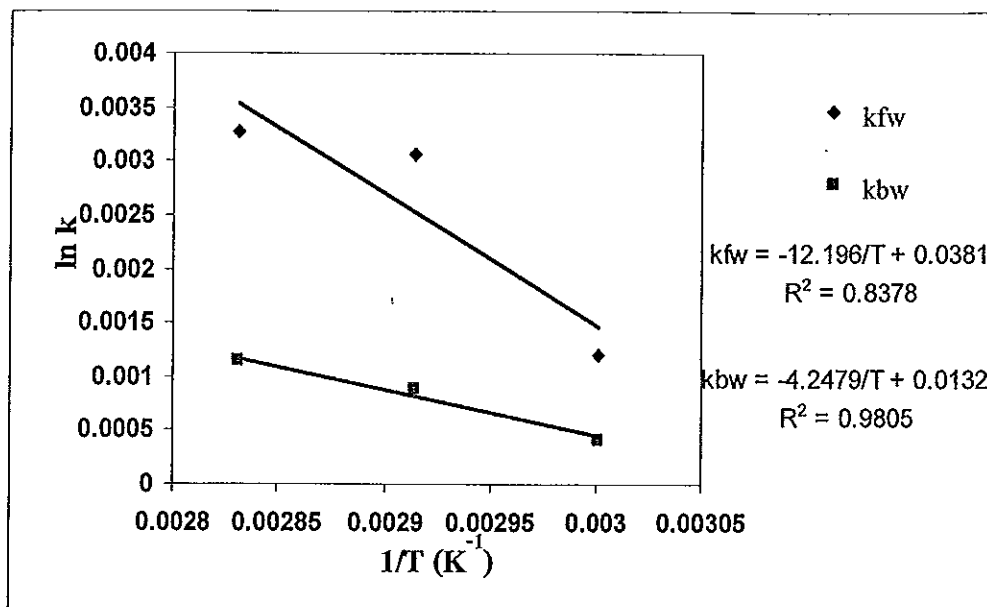
ความเข้มข้นของกรดไฮมันอิสระ (C_{FFA} , Mol/l)				ความเข้มข้นของเมทานอล (C_{MeOH} , mol/l)		
อุณหภูมิ (C)	เริ่มต้น	สุดท้าย	ที่ใช้ไป	เริ่มต้น	ที่ใช้ไป	สุดท้าย
60	0.191	0.073	0.118	14.024	0.118	13.906
70	0.191	0.003	0.188	14.024	0.188	13.836
80	0.191	0.000	0.190	14.024	0.190	13.833

คำนวณค่า k_{fw} จาก

$$K = k_{fw}[\text{MeOH}]^\alpha$$

$$k_{fw} = \frac{K}{[\text{MeOH}]^\alpha}$$

โดยกำหนดให้ $[\text{MeOH}]^\alpha$ เป็นค่าคงที่ซึ่งให้เท่ากับความเข้มข้นของเมทานอลเริ่มต้นลบกับความเข้มข้นที่ใช้ไป และคำนวณค่าของพลังงานก่อการมันต์โดยใช้สมการอาร์เรนียส ผลการคำนวณแสดงดังในภาพและตาราง



จากการคำนวณพบว่าค่าพลังงานก่อการมันต์ของปฏิกิริยาไปข้างหน้ามีค่ามากกว่าค่าพลังงานก่อการมันต์ของปฏิกิริยาขอนกลับ แสดงว่าปฏิกิริยาขอนกลับเกิดได้ดีกว่าหรืออปปิกิริยาไปข้างหน้าเกิดขึ้นได้มากกว่า ซึ่งมีความขัดแย้งกับความเป็นจริง ดังนั้นเราไม่สามารถใช้วิธีนี้ในการคำนวณได้ เนื่องจากขัดแย้งกับสิ่งที่เกิดขึ้น อีกเหตุผลหนึ่ง คือในทางปฏิบัติจริง ๆ เมทานอลนีการระเหยทำให้ความเข้มข้นของเมทานอลไม่คงที่ตลอดเวลาและสภาวะที่ใช้มีอุณหภูมิสูงกว่าจุดเดือดของเมทานอลทำให้เมทานอลลายเป็นไอ ดังนั้นการทำปฏิกิริยาอาจเกิดได้ไม่เต็มที่เนื่องจากน้ำมันปาล์มดินเป็นของเหลว และตัวเร่งปฏิกิริยาเป็นของแข็งทำให้เกิดการทำปฏิกิริยาต่างสถานะอาจทำให้การสัมผัสระหว่างสารทำปฏิกิริยานิดขึ้น ให้ไม่ 100%

ภาคผนวก ก

ลักษณะและคุณภาพของใบโอดีเซลประเภทเมทิลเอสเตอร์ของกรดไขมัน

ประกาศกรมธุรกิจพลังงาน

เรื่อง กำหนดลักษณะและคุณภาพของใบโอดีเซลประเภทเมทิลเอสเตอร์ของกรดไขมัน พ.ศ. 2548

โดยที่ เป็นการสมควรกำหนดลักษณะและคุณภาพของของใบโอดีเซลประเภทเมทิลเอสเตอร์ของกรดไขมันเพื่อเป็นการส่งเสริมให้มีการใช้ใบโอดีเซลเป็นเชื้อเพลิงในเชิงพาณิชย์ และสร้างความเชื่อมั่นให้แก่ผู้บริโภคอาชีวานาจตามความในมาตรา 25 วรรคหนึ่งแห่งพระราชบัญญัติการค้าน้ำมันเชื้อเพลิง พ.ศ. 2548 อธิบดีกรมธุรกิจพลังงานออกประกาศไว้ดังต่อไปนี้

ข้อ 1 ประกาศนี้เรียกว่า “ประกาศกรมธุรกิจพลังงาน เรื่องกำหนดลักษณะและคุณภาพของใบโอดีเซลประเภทเมทิลเอสเตอร์ของกรดไขมัน พ.ศ. 2548”

ข้อ 2 ประกาศนี้ให้ใช้บังคับเมื่อพ้นสามสิบวันนับตั้งแต่วันประกาศในราชกิจจานุเบกษาเป็นต้นไป

ข้อ 3 ประกาศฉบับนี้ให้ใช้บังคับกับของใบโอดีเซลประเภทเมทิลเอสเตอร์ของกรดไขมันที่จำหน่ายหรือมีไว้เพื่อจำหน่ายไปประกอบอาหาร โดยการขนส่งทางทะเล

ข้อ 4 ภายใต้บังคับของข้อ 5 ลักษณะและคุณภาพของใบโอดีเซลประเภทเมทิลเอสเตอร์ของกรดไขมันให้เป็นไปตามละเอียดแนบท้ายประกาศนี้

การเติมสารเติมแต่งในใบโอดีเซลประเภทเมทิลเอสเตอร์ของกรดไขมันให้ผู้ค้านำมันแจ้งขอความเห็นชอบและต้องได้รับความเห็นชอบจากอธิบดีกรมธุรกิจพลังงานก่อน จึงจะสามารถดำเนินการได้

ข้อ 5 ลักษณะและคุณภาพ ใบโอดีเซลประเภทเมทิลเอสเตอร์ของกรดไขมันที่ผู้ค้านำมันจำหน่ายหรือมีไว้เพื่อจำหน่ายดังต่อไปนี้จะไม่เป็นตามที่กำหนดในรายละเอียดแนบท้ายประกาศนี้ ถ้าได้แก่ผู้ค้านำมันต้องแจ้งลักษณะและคุณภาพของนำมันดังกล่าวเฉพาะส่วนที่ไม่เป็นไปตามที่กำหนดในรายละเอียดแนบท้าย เพื่อขอความเห็นชอบและต้องได้รับความเห็นชอบจากอธิบดีกรมธุรกิจพลังงานก่อน

(1) ใบโอดีเซลประเภทเมทิลเอสเตอร์ของกรดไขมันสำหรับการส่งออกไปนอกราชอาณาจักรนอกจากการขนส่งทางทะเล

(2) ในโอดีเซลประเภทเมทิลเอสเตอร์ของกรดไขมันสำหรับการนำไปใช้กับงานพาหนะที่ส่งออกไปยังราชอาณาจักร

(3) ในโอดีเซลประเภทเมทิลเอสเตอร์ของกรดไขมันสำหรับการนำไปใช้ตามโครงการหรือนโยบายของรัฐบาล หรืองานวิจัย

(4) ในโอดีเซลประเภทเมทิลเอสเตอร์ของกรดไขมันที่นำเข้ามาในราชอาณาจักรสำหรับใช้เป็นวัตถุคิดในการผลิตใบโอดีเซล

(5) ในโอดีเซลประเภทเมทิลเอสเตอร์ของกรดไขมันสำหรับการจำหน่ายให้แก่ผู้ค้าน้ำมันซึ่งเป็นผู้ผลิตใบโอดีเซล เพื่อนำไปใช้เป็นวัตถุคิดในการผลิตใบโอดีเซล

(6) ในโอดีเซลประเภทเมทิลเอสเตอร์ของกรดไขมันสำหรับการจำหน่ายให้แก่ผู้ค้าน้ำมันเพื่อวัตถุประสงค์ตาม (1)

(7) ในโอดีเซลประเภทเมทิลเอสเตอร์ของกรดไขมันสำหรับการจำหน่ายให้แก่ผู้ผลิตใบโอดีเซลหรือผู้ค้าน้ำมันตามมาตรา 7 เพื่อวัตถุประสงค์ตาม (2) และ (3)

ข้อ 6 การขอและการให้ความเห็นชอบตามข้อ 4 วรรคสอง และข้อ 5 ให้เป็นไปตามหลักเกณฑ์วิธีการ และเงื่อนไขที่อธิบดีกรมธุรกิจพลังงานกำหนด

ประกาศ วันที่ 11 กรกฎาคม พ.ศ. 2548

วิろจน์ คลังนุญครอง

อธิบดีกรมธุรกิจพลังงาน

**รายละเอียดแนบท้ายประกาศกรมธุรกิจพลังงาน
เรื่อง กำหนดค่าคุณภาพของไนโตรเจลประเภทเนทิลเอสเทอร์ของกรดไขมัน**

พ.ศ. 2548

รายการ	ข้อกำหนด	อัตราสูงที่		วิธีทดสอบ ¹¹
1.	เมทิลเอสเทอร์, ร้อยละ โดยน้ำหนัก (Methyl Ester, % wt.)	ไม่ต่ำกว่า	96.5	EN 14103
2.	ความหนาแน่น ณ อุณหภูมิ 15°ช, กิโลกรัม/ ลูกบาศก์เมตร (Density at 15 °C, kg/m3)	ไม่ต่ำกว่า ^{และ} ไม่สูงกว่า	860 900	ASTM D 1298
3.	ความหนืด ณ อุณหภูมิ 40 °ช, เซนติสโตกส์ (Viscosity at 40 °C, cSt)	ไม่ต่ำกว่า ^{และ} ไม่สูงกว่า	3.5 5.0	ASTM D 445
4.	จุดควบไฟ, องศาเซลเซียส (Flash Point, °C)	ไม่ต่ำกว่า	120	ASTM D 93
5.	จำนวน ร้อยละ โดยน้ำหนัก (Sulphur, %wt.)	ไม่สูงกว่า	0.0010	ASTM D 2622
6.	ภาคถ่าน, ร้อยละ โดยน้ำหนัก (ร้อยละ 10 ของภาคที่เหลือจากการกลั่น) (Carbon Residue, on 10 % distillation residue, %wt.)	ไม่สูงกว่า	0.30	ASTM D 4530
7.	จำนวนเซเทน (Cetane Number)	ไม่ต่ำกว่า	51	ASTM D 613
8.	ถ้าซัลเฟต, ร้อยละ โดยน้ำหนัก (Sulfated Ash, %wt.)	ไม่สูงกว่า	0.02	ASTM D 874

รายการ	ข้อกำหนด	อัตราสูงที่		วิธีทดสอบ ⁱⁱ
		ไม่สูงกว่า	0.050	
9.	น้ำ, ร้อยละ โดยน้ำหนัก (Water, %wt.)	ไม่สูงกว่า	0.050	ASTM D 2709
10.	สิ่งปนเปื้อนทั้งหมด, ร้อยละ โดยน้ำหนัก (Total Contaminant, %wt.)	ไม่สูงกว่า	0.0024	ASTM D 5452
11.	การกัดกร่อนแห่นทองแดง (Copper Strip Corrosion)	ไม่สูงกว่า	หมายเลขอุตสาหกรรม 1	ASTM D 130
12.	เสถียรภาพต่อการเกิดปฏิกิริยาออกซิเดชัน ณ อุณหภูมิ 110 องศาเซลเซียส, ชั่วโมง (Oxidation Stability at 110 °C, hours)	ไม่ต่ำกว่า	6	EN 14112
13.	ค่าความเป็นกรด, มิลลิกรัม โซโนเตสเซี่ยม ไฮดรอกไซด์/กรัม (Acid Value , mg KOH/g)	ไม่สูงกว่า	0.50	ASTM D 664
14.	ค่าไอโอดีน, กรัม ไอโอดีน/100 กรัม (Iodine Value , g Iodine/100 g)	ไม่สูงกว่า	120	EN 14111
15.	กรดลิโนแลนิก เมทิลเอสเตอร์, ร้อยละ โดยน้ำหนัก (Linolenic Acid Methyl Ester, %wt.)	ไม่สูงกว่า	12.0	EN 14103
16.	เมทานอล, ร้อยละ โดยน้ำหนัก (Methanol, %wt.)	ไม่สูงกว่า	0.20	EN 14110
17.	ไขมันกลีเซอไรค์, ร้อยละ โดยน้ำหนัก (Monoglyceride, %wt.)	ไม่สูงกว่า	0.80	EN 14105
18.	ไดกีลีเซอไรค์, ร้อยละ โดยน้ำหนัก (Diglyceride, %wt.)	ไม่สูงกว่า	0.20	EN 14105

รายการ	ข้อกำหนด	อัตราสูงสุด		วิธีทดสอบ ⁱⁱ
19.	ไตรกลีเซอไรค์, ร้อยละโดยน้ำหนัก (Triglyceride, %wt.)	ไม่สูงกว่า	0.20	EN 14105
20.	กลีเซอรีนอิสระ, ร้อยละโดยน้ำหนัก (Free glycerin, %wt.)	ไม่สูงกว่า	0.02	EN 14105
21.	กลีเซอรีนทั้งหมด, ร้อยละโดยน้ำหนัก (Total glycerin, %wt.)	ไม่สูงกว่า	0.25	EN 14105
22.	โลหะกลุ่ม 1 (โซเดียมและโพแทสเซียม), มิลลิกรัม/กิโลกรัม (Group I metals (Na+K) mg/kg)	ไม่สูงกว่า	5.0	EN 14108 และ EN 14109
	โลหะกลุ่ม 2 (แคลเซียมและแมกนีเซียม), มิลลิกรัม/กิโลกรัม (Group II metals (Ca+Mg) mg/kg)	ไม่สูงกว่า	5.0	prEN 14538
23.	ฟอสฟอรัส, ร้อยละโดยน้ำหนัก (Phosphorus, %wt.)	ไม่สูงกว่า	0.0010	ASTM D 4951
24.	สารเติมแต่ง (ถ้ามี) (Additive)	ให้เป็นไปตามที่ได้รับความเห็นชอบจาก อธิบดีกรมธุรกิจพลังงาน		

หมายเหตุ 1/ วิธีทดสอบอาจใช้วิธีอื่นที่เทียบเท่าก็ได้ แต่ในกรณีที่มีข้อโต้แย้งให้ใช้วิธีที่กำหนดใน
รายละเอียดแนบท้ายนี้

ภาคผนวก จ

ข้อมูลดิบ

1. ความเข้มข้นของกรดไขมันอิสระ (FFA) ที่อุณหภูมิ 70 °C

เวลา (นาที)	ความเข้มข้นของกรดไขมันอิสระ (mol/l) $\times 10^3$				
	1:05	1:10	1:15	1:20	1:40
0	190.71	190.71	190.71	190.71	190.71
1	186.46	186.24	175.77	129.21	121.41
3	184.33	184.33	155.72	130.71	126.30
5	181.17	176.70	148.09	119.68	128.88
7	182.21	173.44	144.83	94.80	119.27
9	181.82	155.07	126.46	112.81	118.89
11	169.44	150.81	122.21	101.18	106.51
13	163.70	150.21	148.44	108.26	91.23
15	157.86	153.81	123.15	106.02	65.94
20	153.82	145.59	116.98	102.59	59.77
25	148.31	140.11	111.50	106.27	54.29
30	151.48	122.28	93.68	106.43	36.46
35	148.30	125.59	90.88	57.94	39.78
40	149.58	126.08	94.91	62.80	32.77
50	147.02	131.76	92.79	55.14	23.01

ความเข้มข้นของกรดไฮมันอิสระ ($\text{mol/l} \times 10^3$)

เวลา (นาที)	อัตราส่วนเชิงโมลของน้ำมันปาล์มดินต่อเมกานอล (CPO : MeOH)				
	1:05	1:10	1:15	1:20	1:40
60	146.66	131.40	82.41	42.73	10.51
70	142.58	127.33	84.00	65.10	2.32
80	134.72	119.47	85.15	59.48	2.31
90	129.49	115.67	83.36	56.01	3.98
120	127.13	115.59	79.79	40.62	3.51
150	129.02	113.76	77.54	47.20	1.26
180	126.27	110.82	69.90	59.20	3.13

2. ความเข้มข้นของเมทิลเอสเทอร์ (ME) ที่อุณหภูมิ 70 °C

เวลา (นาที)	ความเข้มข้นของเมทิลเอสเทอร์ (mol/l) $\times 10^3$				
	1:05	1:10	1:15	1:20	1:40
0	0.00	0.00	0.00	0.00	0.00
1	9.92	10.12	10.35	11.58	19.02
3	47.13	47.33	47.56	48.79	70.02
5	56.55	56.75	56.98	58.21	124.46
7	60.33	72.23	72.46	73.69	101.89
9	53.60	65.50	65.73	66.96	152.61
11	48.95	60.85	61.08	62.31	150.61
13	87.72	99.62	99.85	101.08	132.37
15	49.79	61.69	61.92	63.15	344.67
20	59.96	62.35	62.58	63.81	256.74
25	67.45	86.20	86.43	101.89	198.77
30	55.78	71.40	81.34	105.75	293.68
35	62.18	77.80	84.54	124.46	140.10
40	49.79	65.41	66.61	137.91	178.95
50	63.40	65.74	43.26	88.94	142.18
60	67.49	69.83	46.86	152.61	159.20
70	76.18	78.52	79.75	158.97	192.09
80	84.50	86.84	88.07	146.87	200.41
90	74.84	77.18	78.41	168.41	209.03
120	105.69	125.10	139.03	229.03	215.67
150	129.43	141.73	236.97	326.97	321.12
180	149.90	162.20	257.44	347.44	472.31

3. ปริมาณน้ำที่เกิดขึ้นที่อุณหภูมิ 70 °C

เวลา (นาที)	ปริมาณน้ำที่เกิดขึ้น ($\text{mol/l} \times 10^3$)				
	1:05	1:10	1:15	1:20	1:40
0	0.00	0.00	0.00	0.00	0.00
1	254.92	256.12	487.12	610.58	1134.09
3	229.58	230.78	461.78	585.24	1108.75
5	151.13	152.33	383.33	506.79	1030.30
7	245.44	246.64	477.64	601.10	1124.61
9	109.04	109.17	340.17	463.63	987.14
11	139.17	139.29	370.29	493.75	1017.26
13	242.57	242.69	473.69	597.15	1120.66
15	336.55	437.78	668.78	792.24	1137.36
20	290.75	296.37	527.37	650.83	995.95
25	385.00	390.63	621.63	732.86	1077.98
30	354.72	360.34	591.34	702.57	1047.69
35	414.70	420.32	651.32	762.55	1107.67
40	372.19	377.82	608.82	720.05	1065.17
50	400.80	406.42	637.42	748.65	1093.77
60	421.62	455.82	678.85	790.08	1135.20
70	369.30	403.50	648.37	737.75	1182.87
80	412.97	447.17	692.05	781.43	1226.55
90	390.63	424.83	669.70	759.08	1204.20
120	429.00	570.98	715.85	905.23	1250.35
150	486.14	628.12	773.00	962.38	1307.50
180	786.32	928.30	1073.17	1262.55	1607.67

4. อัตราการเกิดปฏิกิริยา $\left(-\frac{dFFA}{dt} \right)$ ที่อุณหภูมิ 70 °C จากการทดลอง

เวลา (นาที)	อัตราส่วนเชิงโน้มของน้ำมันปาล์มดิบต่อเมกานอล (CPO : MeOH)				
	1:05	1:10	1:15	1:20	1:40
0	30.42	43.67	51.51	40.68	67.78
1	28.84	41.47	49.21	39.13	65.22
3	25.86	37.32	44.85	36.16	60.34
5	23.12	33.47	40.77	33.38	55.75
7	20.60	29.90	36.98	30.76	51.44
9	18.30	26.62	33.45	28.32	47.41
11	16.19	23.59	30.17	26.03	43.62
13	14.28	20.82	27.13	23.90	40.09
15	12.55	18.28	24.33	21.91	36.79
20	8.94	12.89	18.26	17.54	29.50
25	6.25	8.72	13.39	13.94	23.47
30	4.34	5.61	9.57	11.03	18.52
35	3.08	3.39	6.66	8.71	14.54
40	2.33	1.91	4.51	6.91	11.37
50	1.98	0.64	2.01	4.55	7.02
60	2.51	0.84	1.17	3.39	4.60
70	3.31	1.71	1.25	2.96	3.38
80	3.91	2.64	1.67	2.88	2.76
90	4.01	3.21	2.02	2.85	2.33
120	0.66	1.16	0.80	1.23	-0.10
150	-3.00	-2.36	-0.92	-2.90	-2.55
180	10.32	10.18	11.37	-4.23	6.97

5. ความเข้มข้นของกรดไขมันอิสระ (FFA) ที่อัตราส่วนเมชิงโนลของ CPO:MeOH = 1:40

ความเข้มข้นของกรดไขมันอิสระ (mol/l) $\times 10^3$			
เวลา (นาที)	อุณหภูมิ ($^{\circ}\text{C}$)		
	60	70	80
0	190.71	190.71	190.71
1	159.55	121.41	113.98
3	164.44	126.30	107.23
5	167.02	128.88	109.81
7	157.41	119.27	100.20
9	176.10	118.89	99.82
11	163.72	106.51	87.44
13	148.44	91.23	72.16
15	123.15	65.94	46.87
20	116.98	59.77	40.70
25	130.57	54.29	35.22
30	112.75	36.46	17.39
35	116.06	39.78	30.24
40	109.05	32.77	13.69
50	99.29	23.01	3.94
60	95.48	10.51	2.10
70	91.66	2.32	1.93
80	87.85	2.31	3.84
90	84.04	3.98	1.25
120	80.22	3.51	3.63
150	76.41	1.26	1.25
180	72.59	3.13	0.41

6. ความเข้มข้นของเมทิลออกไซด์เตอร์ (ME) ที่ อัตราส่วนเชิงโมลของ CPO:MeOH = 1:40

ความเข้มข้นของเมทิลออกไซด์เตอร์ (mol/l) $\times 10^3$			
เวลา (นาที)	อุณหภูมิ ($^{\circ}\text{C}$)		
	60	70	80
0	0.00	0.00	0.00
1	3.46	19.02	82.37
3	34.46	70.02	133.37
5	88.90	124.46	187.81
7	66.33	101.89	165.24
9	97.05	152.61	185.95
11	95.05	150.61	173.95
13	76.81	132.37	155.72
15	189.11	244.67	268.02
20	203.29	256.74	197.97
25	145.32	198.77	140.00
30	240.23	293.68	254.91
35	86.65	140.10	101.33
40	125.50	178.95	120.18
50	86.46	142.18	287.30
60	103.48	159.20	204.32
70	136.37	192.09	237.21
80	144.69	200.41	245.53
90	153.31	209.03	254.15
120	160.69	215.67	219.07
150	266.14	321.12	324.52
180	417.33	472.31	495.71

7. ปริมาณน้ำที่เกิดขึ้นที่อัตราส่วนเชิงโมลของ CPO:MeOH = 1:40

ปริมาณน้ำที่เกิดขึ้น ($\text{mol/l} \times 10^3$)			
เวลา (นาที)	อุณหภูมิ ($^{\circ}\text{C}$)		
	60	70	80
0	0.00	1134.09	0.00
1	1088.47	1108.75	1256.44
3	1063.13	1030.30	1231.10
5	984.68	1124.61	1152.64
7	1078.99	987.14	1246.95
9	941.52	1017.26	1109.48
11	971.64	1120.66	1139.61
13	1075.04	1137.36	1243.00
15	1091.74	995.95	1258.59
20	939.23	1077.98	1117.19
25	1021.25	1047.69	1179.21
30	990.97	1107.67	1148.92
35	1050.95	1065.17	1208.91
40	1008.44	1093.77	1166.28
50	1029.42	1135.20	1194.89
60	1070.84	1182.87	1236.31
70	1118.52	1226.55	1283.99
80	1162.19	1204.20	1327.66
90	1158.53	1250.35	1307.32
120	1204.68	1307.50	1353.47
150	1261.82	1607.67	1410.61
180	1562.00	0.00	1710.79

8. อัตราการคิดปฏิกริยา ที่อัตราส่วนเชิงวัสดุของ CPO:MeOH = 1:40 จากการทดลอง

เวลา (นาที)	อุณหภูมิ (°C)		
	60	70	80
0	32.20	67.78	82.65
1	31.24	65.22	79.03
3	29.40	60.34	72.15
5	27.66	55.75	65.71
7	26.00	51.44	59.70
9	24.42	47.41	54.09
11	22.92	43.62	48.87
13	21.50	40.09	44.03
15	20.16	36.79	39.54
20	17.11	29.50	29.75
25	14.47	23.47	21.83
30	12.20	18.52	15.54
35	10.27	14.54	10.67
40	8.63	11.37	6.99
50	6.11	7.02	2.52
60	4.41	4.60	0.75
70	3.30	3.38	0.57
80	2.61	2.76	1.08
90	2.19	2.33	1.62
120	1.53	-0.10	0.13
150	1.02	-2.55	-3.04
180	1.86	6.97	11.40

9. ความเข้มข้นของกรดไขมันอิสระในรูปแบบสมการ polynomial กำลัง 5

$$C_{FPA} = a_0 + a_1 t + a_2 t^2 + a_3 t^3 + a_4 t^4 + a_5 t^5$$

ที่อุณหภูมิ 70°C อัตราส่วนเชิงโมลของ CPO:MeOH ต่าง ๆ

ค่าคงที่	อัตราส่วนเชิงโมลของ CPO:MeOH				
	1:05	1:10	1:15	1:20	1:40
a_0	1.93E-01	1.93E-01	1.78E-01	1.48E-01	1.58E-01
a_1	-3.04E-03	-4.37E-03	-5.15E-03	-4.07E-03	-6.78E-03
a_2	8.06E-05	1.12E-04	1.17E-04	7.89E-05	1.30E-04
a_3	-1.05E-06	-1.35E-06	-1.29E-06	-7.98E-07	-1.30E-06
a_4	6.17E-09	7.40E-09	6.74E-09	3.86E-09	6.41E-09
a_5	-1.31E-11	-1.50E-11	-1.33E-11	-6.94E-12	-1.22E-11
R^2	9.70E-01	9.68E-01	9.52E-01	8.19E-01	9.56E-01

ที่อัตราส่วนเชิงโมลของน้ำมันปาล์มคิดต่อเมทานอลเป็น 1:40 ที่อุณหภูมิต่าง ๆ

ค่าคงที่	อุณหภูมิ		
	60 °C	70 °C	80 °C
a_0	1.80E-01	1.58E-01	1.50E-01
a_1	-3.22E-03	-6.78E-03	-8.26E-03
a_2	4.83E-05	1.30E-04	1.84E-04
a_3	-3.93E-07	-1.30E-06	-1.96E-06
a_4	1.63E-09	6.41E-09	9.98E-09
a_5	-2.69E-12	-1.22E-11	-1.92E-11
R^2	9.37E-01	9.56E-01	9.39E-01

ภาคผนวก จ

ผลจากการใช้โปรแกรม Polymath 6.0 professional

1. การหาสมการความเข้มข้นและอัตราการหายไปของกรดไฮมันอิสระเมื่อใช้สมการ polynomial กำลัง 5 ที่เวลาต่างๆ

รูปแบบสมการคือ

$$C_{FFA} = a_0 + a_1 t + a_2 t^2 + a_3 t^3 + a_4 t^4 + a_5 t^5$$

โดยกำหนดให้ t คือ เวลา (นาที)

CF1_5 คือ ความเข้มข้นของกรดไฮมันอิสระที่อุณหภูมิ 70°C

อัตราส่วนเชิงโมลของ CPO:MeOH เท่ากับ 1:5

CF1_10 คือ ความเข้มข้นของกรดไฮมันอิสระที่อุณหภูมิ 70°C

อัตราส่วนเชิงโมลของ CPO:MeOH เท่ากับ 1:10

CF1_15 คือ ความเข้มข้นของกรดไฮมันอิสระที่อุณหภูมิ 70°C

อัตราส่วนเชิงโมลของ CPO:MeOH เท่ากับ 1:15

CF1_20 คือ ความเข้มข้นของกรดไฮมันอิสระที่อุณหภูมิ 70°C

อัตราส่วนเชิงโมลของ CPO:MeOH เท่ากับ 1:20

CF1_40 คือ ความเข้มข้นของกรดไฮมันอิสระที่อุณหภูมิ 70°C

อัตราส่วนเชิงโมลของ CPO:MeOH เท่ากับ 1:40

CF1_60 คือ ความเข้มข้นของกรดไฮมันอิสระที่อุณหภูมิ 60°C

อัตราส่วนเชิงโมลของ CPO:MeOH เท่ากับ 1:40

CF1_80 คือ ความเข้มข้นของกรดไฮมันอิสระที่อุณหภูมิ 80°C

อัตราส่วนเชิงโมลของ CPO:MeOH เท่ากับ 1:40

1.1 ความเข้มข้นของกรดไขมันอิสระที่อุณหภูมิ 70°C อัตราส่วนเทิงโนมของ CPO:MeOH ท่ากับ 1:5

Model: CF1_5 = a0 + a1*t + a2*t^2 + a3*t^3 + a4*t^4 + a5*t^5

Variable	Value	95% confidence
a0	0.1934051	0.0051804
a1	-0.003042	0.0008231
a2	8.059E-05	3.514E-05
a3	-1.052E-06	5.69E-07
a4	6.174E-09	3.797E-09
a5	-1.31E-11	8.817E-12

Analytical polynomial derivative

$$\begin{aligned} \text{CF1_5} &= 0.1934051 - 0.003042 * t + 8.059E-05*t^2 - 1.052E-06*t^3 + 6.174E-09*t^4 - 1.31E-11 \\ &\quad * T^5 \end{aligned}$$

$$d(\text{CF1_5})/d(t) = -0.003042 + 0.0001612*t - 3.157E-06*t^2 + 2.47E-08 *t^3 - 6.548E-11*t^4$$

t	d(CF1_5)/dt
0	-0.003042
1	-0.002884
3	-0.0025862
5	-0.002312
7	-0.0020601
9	-0.0018295
11	-0.0016191
13	-0.0014278

15	-0.0012546
20	-0.0008941
25	-0.0006253
30	-0.0004342
35	-0.0003075
40	-0.0002332
50	-0.000198
60	-0.000251
70	-0.0003306
80	-0.0003908
90	-0.0004011
120	-6.605E-05
150	0.0002997
180	-0.0010315

General

Degree of polynomial = 5

Regression including a free parameter

Number of observations = 22

Statistics

R^2	0.9702748
R^2adj	0.9609857
Rmsd	0.0007557
Variance	1.727E-05

Source data points and calculated data points

		CFI-S	CFI-S calc	Delta CFI-S
0		.190707816	0.1934051	-0.0026973
1		.186455032	0.1904426	-0.0039876
3		.18432864	0.1849764	-0.0006477
5		.181166345	0.180082	0.0010844
7		.182206999	0.1757135	0.0064935
9		.181820532	0.1718273	0.0099932
11		.169439405	0.168382	0.0010575
13		.163697325	0.1653382	-0.0016408
15		.157862209	0.1626587	-0.0047965
20		.153824925	0.1573283	-0.0035034
25		.148313469	0.1535649	-0.0052515
30		.151483414	0.1509457	0.0005377
35		.148298593	0.1491158	-0.0008172
40		.149576336	0.1477835	0.0017929
50		.147020851	0.1457312	0.0012896
60		.146658392	0.1435318	0.0031266
70		.142583652	0.140624	0.0019597
80		.134723058	0.1369856	-0.0022625
90		.129492999	0.132976	-0.003483
120		.12712583	0.12474	0.0023858
150		.129018033	0.129744	-0.000726
180		.126269552	0.1261768	9.277E-05

1.2 ความเข้มข้นของกรดไขมันอิสระที่อุณหภูมิ 70°C อัตราส่วนเชิงโมลของ

CPO:MeOH ที่ต่อกัน 1:10

Model: CF1_10 = a0 + a1*t + a2*t^2 + a3*t^3 + a4*t^4 + a5*t^5

Variable	Value	95% confidence
a0	0.1928772	0.0065037
a1	-0.0043666	0.0010333
a2	0.0001117	4.412E-05
a3	-1.347E-06	7.144E-07
a4	7.4E-09	4.766E-09
a5	-1.497E-11	1.107E-11

Analytical polynomial derivative

$$CF1_10 = 0.1928772 - 0.0043666*t + 0.0001117*t^2 - 1.347E-06*t^3 + 7.4E-09 *t^4 - 1.497E-11*t^5$$

$$d(CF1_10)/d(t) = -0.0043666 + 0.0002235*t - 4.041E-06*t^2 + 2.96E-08 *t^3 - 7.483E-11*t^4$$

t	d(CF1_10)/d(t)
0	-0.0043666
1	-0.0041472
3	-0.0037318
5	-0.0033466
7	-0.0029904
9	-0.0026616
11	-0.0023591
13	-0.0020816

15	-0.0018277
20	-0.0012889
25	-0.0008724
30	-0.0005611
35	-0.000339
40	-0.0001911
50	-6.423E-05
60	-8.363E-05
70	-0.0001705
80	-0.0002641
90	-0.0003213
120	-0.000116
150	0.0002358
180	-0.0010175

General

Degree of polynomial = 5

Regression including a free parameter

Number of observations = 22

Statistics

R^2	0.9683715
R^2adj	0.9584876
Rmsd	0.0009487
Variance	2.723E-05

Source data points and calculated data points

		CFI_10	CFI_10calc	Delta_CFI_10
1	0	.190707816	0.1928772	-0.0021694
2	1	.186241248	0.1886209	-0.0023797
3	3	.184326285	0.1807471	0.0035792
4	5	.176698834	0.1736736	0.0030252
5	7	.173435924	0.1673413	0.0060946
6	9	.155066356	0.1616938	-0.0066274
7	11	.150812334	0.1566773	-0.005865
8	13	.150211011	0.1522406	-0.0020296
9	15	.153809876	0.1483352	0.0054747
10	20	.145590134	0.1405984	0.0049917
11	25	.140110301	0.1352425	0.0048678
12	30	.122282389	0.1316992	-0.0094169
13	35	.125593852	0.129483	-0.0038892
14	40	.126075869	0.1281858	-0.0021099
15	50	.131764226	0.1270685	0.0046957
16	60	.131401767	0.1264156	0.0049862
17	70	.127327027	0.1251729	0.0021541
18	80	.119466432	0.1229849	-0.0035185
19	90	.115671957	0.1200148	-0.0043428
20	120	.115588833	0.1120521	0.0035368
21	150	.113761408	0.1150058	-0.0012444
22	180	.110820941	0.1106342	0.0001867

1.3 ความเข้มข้นของกรดไฮนันอิสระที่อุณหภูมิ 70°C อัตราส่วนเชิงโมลของ
CPO:MeOH ท่ากับ 1:15

Model: CF1_15 = a0 + a1*t + a2*t^2 + a3*t^3 + a4*t^4 + a5*t^5

Variable	Value	95% confidence
a0	0.1778423	0.0107642
a1	-0.0051509	0.0017103
a2	0.0001167	7.302E-05
a3	-1.29E-06	1.182E-06
a4	6.736E-09	7.889E-09
a5	-1.329E-11	1.832E-11

Analytical polynomial derivative

$$CF1_15 = 0.1778423 - 0.0051509*t + 0.0001167*t^2 - 1.29E-06 *t^3 + 6.736E-09*t^4 - 1.329E-11*t^5$$

$$d(CF1_15)/d(t) = -0.0051509 + 0.0002334*t - 3.869E-06*t^2 + 2.694E-08*t^3 - 6.647E-11*t^4$$

t	d(CF1_15)/d(t)
0	-0.0051509
1	-0.0049214
3	-0.0044848
5	-0.0040773
7	-0.0036976
9	-0.0033445
11	-0.0030167
13	-0.0027132

15	-0.0024328
20	-0.0018255
25	-0.0013388
30	-0.0009572
35	-0.0006657
40	-0.0004508
50	-0.0002005
60	-0.0001165
70	-0.0001247
80	-0.0001674
90	-0.0002023
120	-8.028E-05
150	9.161E-05
180	-0.0011368

General

Degree of polynomial = 5

Regression including a free parameter

Number of observations = 22

Statistics

R^2	0.952134
R^2adj	0.9371759
Rmsd	0.0015702
Variance	7.459E-05

Source data points and calculated data points

		CFM15	CFM15 calc	Delta(CFM15)
1	0	.190707816	0.1778423	0.0128655
2	1	.175766812	0.1728068	0.00296
3	3	.155720112	0.1634056	-0.0076855
4	5	.148092661	0.1548482	-0.0067555
5	7	.144829752	0.1470778	-0.0022481
6	9	.126460184	0.1400401	-0.0135799
7	11	.122206162	0.1336831	-0.0114769
8	13	.1484407	0.1279571	0.0204836
9	15	.123153259	0.1228149	0.0003384
10	20	.116983961	0.1122229	0.004761
11	25	.111504128	0.104359	0.0071451
12	30	.093676217	0.0986596	-0.0049834
13	35	.09088181	0.0946369	-0.0037551
14	40	.094906622	0.0918747	0.0030319
15	50	.092785074	0.0887916	0.0039935
16	60	.082406754	0.0873118	-0.004905
17	70	.0839979	0.086156	-0.0021581
18	80	.085152819	0.0847041	0.0004487
19	90	.083357109	0.0828362	0.0005209
20	120	.079792182	0.0776833	0.0021089
21	150	.077543767	0.078949	-0.0014053
22	180	.069902672	0.0696074	0.0002953

1.4 ความเข้มข้นของกรดไฮมันอิสระที่อุณหภูมิ 70°C อัตราส่วนเชิงไมล์ของ CPO:MeOH เท่ากับ 1:20

Model: CF1_20 = a0 + a1*t + a2*t^2 + a3*t^3 + a4*t^4 + a5*t^5

Variable	Value	95% confidence
a0	0.1480716	0.0226553
a1	-0.0040682	0.0035996
a2	7.886E-05	0.0001537
a3	-7.983E-07	2.488E-06
a4	3.863E-09	1.66E-08
a5	-6.936E-12	3.856E-11

Analytical polynomial derivative

$$\text{CF1_20} = 0.1480716 - 0.0040682*t + 7.886E-05*t^2 - 7.983E-07*t^3 + 3.863E-09*t^4 - 6.936E-12*t^5$$

$$d(\text{CF1_20})/dt = -0.0040682 + 0.0001577*t - 2.395E-06*t^2 + 1.545E-08*t^3 - 3.468E-11*t^4$$

t	d(CF1_20)/dt
0	-0.0040682
1	-0.0039128
3	-0.0036162
5	-0.0033375
7	-0.0030763
9	-0.0028316
11	-0.002603
13	-0.0023896

15	-0.0021908
20	-0.0017536
25	-0.0013941
30	-0.0011029
35	-0.0008713
40	-0.0006912
50	-0.0004549
60	-0.0003389
70	-0.0002962
80	-0.0002882
90	-0.0002846
120	-0.0001226
150	0.0002904
180	0.0004233

General

Degree of polynomial = 5

Regression including a free parameter

Number of observations = 22

Statistics

R^2	0.8194833
R^2adj	0.7630718
Rmsd	0.0033048
Variance	0.0003304

Source data points and calculated data points

		CFI-20	CFI-20 calc	Delta CFI-20
0	0	.190707816	0.1480716	0.0426362
1	1	.12920536	0.1440815	-0.0148761
3	3	.130707816	0.1365556	-0.0058477
5	5	.119683503	0.1296048	-0.0099213
7	7	.094795701	0.1231939	-0.0283982
9	9	.112806659	0.1172887	-0.0044821
11	11	.101183618	0.1118568	-0.0106731
13	13	.108259575	0.1068667	0.0013928
15	15	.106017132	0.1022888	0.0037284
20	20	.102585474	0.092462	0.0101235
25	25	.106271815	0.0846231	0.0216487
30	30	.106434893	0.0784074	0.0280275
35	35	.057935701	0.073495	-0.0155593
40	40	.062800702	0.0696087	-0.006808
50	50	.055140943	0.0640003	-0.0088594
60	60	.042730758	0.0601106	-0.0173799
70	70	.065095329	0.056979	0.0081163
80	80	.059481281	0.0540722	0.0054091
90	90	.056012001	0.0512015	0.0048105
120	120	.040617072	0.0443362	-0.0037191
150	150	.047196516	0.0465803	0.0006162
180	180	.05919762	0.0591825	1.508E-05

1.5 ความเข้มข้นของกรดไขมันอิสระที่อุณหภูมิ 70°C อัตราส่วนเชิงโมลของ

CPO:MeOH เท่ากับ 1:40

Model: CF1_40 = a0 + a1*t + a2*t^2 + a3*t^3 + a4*t^4 + a5*t^5

Variable	Value	95% confidence
a0	0.158411	0.016633
a1	-0.0067778	0.0026428
a2	0.0001296	0.0001128
a3	-1.295E-06	1.827E-06
a4	6.409E-09	1.219E-08
a5	-1.224E-11	2.831E-11

Analytical polynomial derivative

$$CF1_40 = 0.158411 - 0.0067778*t + 0.0001296*t^2 - 1.295E-06*t^3 + 6.409E-09*t^4 - 1.224E-11*t^5$$

$$d(CF1_40)/d(t) = -0.0067778 + 0.0002593*t - 3.885E-06*t^2 + 2.564E-08*t^3 - 6.12E-11 *t^4$$

t	d(CF1_40)/dt
0	-0.0067778
1	-0.0065223
3	-0.0060341
5	-0.0055752
7	-0.0051444
9	-0.0047405
11	-0.0043623
13	-0.0040089

15	-0.003679
20	-0.0029504
25	-0.0023466
30	-0.0018524
35	-0.0014537
40	-0.0011372
50	-0.0007024
60	-0.0004602
70	-0.0003376
80	-0.0002762
90	-0.0002325
120	9.528E-06
150	0.0002548
180	-0.0006972

General

Degree of polynomial = 5

Regression including a free parameter

Number of observations = 22

Statistics

R^2	0.9563995
R^2adj	0.9427744
Rmsd	0.0024263
Variance	0.0001781

Source data points and calculated data points

		CFU<40	CFU<40 calc	Data CFU<40
0		.190707816	0.158411	0.0322968
1		.121409368	0.1517616	-0.0303522
3		.126299563	0.1392101	-0.0129105
5		.128883363	0.1276055	0.0012779
7		.11927342	0.1168904	0.002383
9		.118886953	0.10701	0.011877
11		.106505825	0.0979113	0.0085945
13		.091228355	0.0895442	0.0016842
15		.065940914	0.0818602	-0.0159193
20		.059771616	0.065342	-0.0055704
25		.054291783	0.0521483	0.0021435
30		.036463872	0.0416933	-0.0052294
35		.039775334	0.0334648	0.0063105
40		.032765765	0.027019	0.0057467
50		.023008941	0.0180158	0.0049931
60		.010507898	0.0123308	-0.0018229
70		.002324818	0.0084152	-0.0060904
80		.002306263	0.0053769	-0.0030707
90		.003983843	0.002834	0.0011499
120		.003509056	-0.0010771	0.0045862
150		.001260641	0.0038354	-0.0025747
180		.003132501	0.0026352	0.0004974

1.6 ความเข้มข้นของกรดไฮมันอิสระที่อุณหภูมิ 60°C อัตราส่วนเชิงโมลของ CPO:MeOH เท่ากับ 1:40

Model: CF_60 = a0 + a1*t + a2*t^2 + a3*t^3 + a4*t^4 + a5*t^5

Variable	Value	95% confidence
a0	0.179961	0.013094
a1	-0.0032196	0.0020805
a2	4.826E-05	8.883E-05
a3	-3.93E-07	1.438E-06
a4	1.627E-09	9.596E-09
a5	-2.685E-12	2.229E-11

Analytical polynomial derivative

$$CF_{60} = 0.179961 - 0.0032196*t + 4.826E-05*t^2 - 3.93E-07*t^3 + 1.627E-09*t^4 - 2.685E-12*t^5$$

$$d(CF_{60})/d(t) = -0.0032196 + 9.652E-05*t - 1.179E-06*t^2 + 6.508E-09*t^3 - 1.343E-11*t^4$$

t	d(CF_60)/d(t)
0	-0.0032196
1	-0.0031242
3	-0.0029404
5	-0.0027656
7	-0.0025995
9	-0.0024417
11	-0.002292
13	-0.0021501

15	-0.0020157
20	-0.0017108
25	-0.001447
30	-0.0012202
35	-0.0010267
40	-0.000863
50	-0.0006114
60	-0.000441
70	-0.0003303
80	-0.0002613
90	-0.0002192
120	-0.000153
150	-0.0001018
180	-0.0001857

General

Degree of polynomial = 5

Regression including a free parameter

Number of observations = 22

Statistics

R^2	0.9367304
R^2adj	0.9169586
Rmsd	0.0019101
Variance	0.0001104

Source data points and calculated data points

		CF_60	CF_60 calc	Delta CF_60
1	0	.190707816	0.179961	0.0107468
2	1	.159550931	0.1767893	-0.0172384
3	3	.164441126	0.1707262	-0.006285
4	5	.167024926	0.1650215	0.0020034
5	7	.157414983	0.1596578	-0.0022428
6	9	.176099298	0.154618	0.0214813
7	11	.16371817	0.1498855	0.0138327
8	13	.1484407	0.1454446	0.0029961
9	15	.123153259	0.14128	-0.0181267
10	20	.116983961	0.1319815	-0.0149975
11	25	.13057491	0.1241032	0.0064717
12	30	.112746998	0.1174499	-0.0047029
13	35	.116058461	0.1118457	0.0042127
14	40	.109048892	0.1071331	0.0019157
15	50	.099292068	0.0998384	-0.0005464
16	60	.095477911	0.0946347	0.0008433
17	70	.091663755	0.09082	0.0008438
18	80	.087849599	0.0878898	-4.015E-05
19	90	.084035442	0.0855042	-0.0014688
20	120	.080221286	0.0800151	0.0002062
21	150	.07640713	0.0762612	0.0001459
22	180	.072592973	0.0726439	-5.09E-05

1.7 ความเข้มข้นของกรดไฮมันอิสระที่อุณหภูมิ 80°C อัตราส่วนเชิงโมลของ

CPO:MeOH เท่ากับ 1:40

Model: CF_80 = a0 + a1*t + a2*t^2 + a3*t^3 + a4*t^4 + a5*t^5

Variable	Value	95% confidence
a0	0.1502628	0.0186046
a1	-0.0082646	0.002956
a2	0.0001836	0.0001262
a3	-1.964E-06	2.043E-06
a4	9.975E-09	1.363E-08
a5	-1.919E-11	3.167E-11

Analytical polynomial derivative

$$CF_80 = 0.1502628 - 0.0082646*t + 0.0001836*t^2 - 1.964E-06*t^3 + 9.975E-09*t^4 - 1.919E-11*t^5$$

$$d(CF_80)/d(t) = -0.0082646 + 0.0003671*t - 5.893E-06*t^2 + 3.99E-08 *t^3 - 9.596E-11*t^4$$

t	d(CF_80)/d(t)
0	-0.0082646
1	-0.0079033
3	-0.0072151
5	-0.0065713
7	-0.0059699
9	-0.0054092
11	-0.0048874
13	-0.0044027

15	-0.0039535
20	-0.002975
25	-0.0021831
30	-0.0015542
35	-0.0010665
40	-0.0006993
50	-0.0002515
60	-7.508E-05
70	-5.722E-05
80	-0.0001083
90	-0.0001615
120	-1.34E-05
150	0.0003041
180	-0.0011398

General

Degree of polynomial = 5

Regression including a free parameter

Number of observations = 22

Statistics

R^2	0.9395097
R^2adj	0.9206065
Rmsd	0.0027139
Variance	0.0002228

Source data points and calculated data points

		CF-80	CF-80:calc	Delta(CF-80)
1	0	.190707816	0.1502628	0.040445
2	1	.113976526	0.1421798	-0.0282033
3	3	.107228781	0.1270689	-0.0198402
4	5	.109812581	0.1132898	-0.0034772
5	7	.100202638	0.1007555	-0.0005529
6	9	.099816171	0.089383	0.0104331
7	11	.087435044	0.0790928	0.0083422
8	13	.072157574	0.0698088	0.0023488
9	15	.046870133	0.0614583	-0.0145882
10	20	.040700835	0.0442197	-0.0035189
11	25	.035221002	0.0313972	0.0038238
12	30	.01739309	0.0221172	-0.0047241
13	35	.030239944	0.0156197	0.0146202
14	40	.013694984	0.0112512	0.0024438
15	50	.00393816	0.0067759	-0.0028378
16	60	.002102363	0.0053184	-0.0032161
17	70	.001932633	0.0047482	-0.0028156
18	80	.003841618	0.0039469	-0.0001053
19	90	.001247229	0.0025781	-0.0013309
20	120	.003628102	-0.0014056	0.0050337
21	150	.001249136	0.0040895	-0.0028404
22	180	.000407352	-0.0001528	0.0005601

2. การหาอัตราการเกิดปฏิกิริยาและค่าคงที่ของปฏิกิริยา

รูปแบบสมการคือ

$$-r_{FFA} = K[FFA]^{\alpha} - k_{bw}[ME]^{\gamma}[H_2O]^{\lambda}$$

โดยใน Polymath 6.0 professional จะใช้สมการในรูปของ

$$dFFA = K * CF^a - k2 * CME^b * CH2O^c$$

โดยที่	$dFFA$	คือ	$-r_{FFA}$
	K	คือ	K
	CF	คือ	$[FFA]$
	a	คือ	α
	$k2$	คือ	k_{bw}
	CME	คือ	$[ME]$
	b	คือ	γ
	$CH2O$	คือ	$[H_2O]$
	c	คือ	λ

ในการคำนวณค่าอัตราการเกิดจะไม่คิดที่เวลาเป็นศูนย์ ($t=0$) เนื่องจากถือว่าเป็นเวลาที่ยังไม่เกิด ปฏิกิริยา และอาจมีการตัดข้อมูลบางจุดที่มีแนวโน้มแตกต่างจากข้อมูลอื่น โดยก่อนทำการคำนวณจะทำการพล็อตกราฟของอัตราการหายไปของกรดไขมันอิสระและค่าความเข้มข้นค่างๆ กับเวลาเพื่อคุณวนโน้ม

2.1 ឧលេអ្នកដិជ្ជ 70°C ចំនួន CPO:MeOH 1:5

Model: dFFA = K*CF^a*k2*CME^b*CH2O^c

Variable	Initial guess	Value	95% confidence
K	100.	1.254145	1.903752
a	1.	3.571741	0.9921053
k2	0.1	0.0022122	0.0043073
b	0.5	0.1637227	0.6301622
c	0.1	0.5557098	1.626915

NOTE: Calculations exceeded the maximum number of iterations.

Nonlinear regression settings

Max # iterations = 64

Precision

R ²	0.9387341
R ² adj	0.919883
Rmsd	5.453E-05
Variance	7.411E-08

General

Sample size	18
Model vars	5
Indep vars	3
Iterations	64

Source data points and calculated data points

Class	CME	CH2O	dRFA	dRFA calc	Delta dRFA	
1	.186455032	.009924573	.254920174	.002884	0.0026255	0.0002585
2	.18432864	.047132991	.22958056	.0025862	0.0023948	0.0001914
3	.181166345	.056549632	.151126034	.002312	0.0023243	-1.233E-05
4	.182206999	.06032822	.245436698	.0020601	0.002226	-0.0001659
5	.169439405	.04894525	.139167973	.0016191	0.0017598	-0.0001407
6	.157862209	.049785982	.336545833	.0012546	0.0009781	0.0002765
7	.153824925	.059956783	.290750434	.0008941	0.0008629	3.116E-05
8	.148313469	.067451223	.38500151	.0006253	0.0005371	8.823E-05
9	.151483414	.055777142	.35471634	.0004342	0.0007066	-0.0002724
10	.148298593	.062178746	.414699872	.0003075	0.0005128	-0.0002053
11	.149576336	.049785637	.372193352	.0002332	0.0006347	-0.0004015
12	.147020851	.063398092	.400799753	.000198	0.0004845	-0.0002865
13	.146658392	.067494562	.421620903	.000251	0.0004396	-0.0001886
14	.142583652	.076179883	.369297873	.0003306	0.0003594	-2.878E-05
15	.134723058	.084499347	.412972947	.0003908	7.184E-05	0.000319
16	.129492999	.074839347	.390628284	.0004011	-1.2E-05	0.0004131
17	.12712583	.105693914	.429000436	.00006605	-0.0001644	0.0002305
18	.129018033	.129432009	.486142593	-.0002997	-0.0002249	-7.478E-05

2.2 ឧបអ្នកមិ 70°C ឥតរាស់នៅបឹងនូមគុង CPO:MeOH ពោកបំ 1:10

Model: dFFA = K*CF^a*k2*CME^b*CH2O^c

Variable	Initial guess	Value	95% confidence
K	10.	0.1855021	0.0034208
a	0.01	2.00999	0.0098477
k2	0.001	0.002158	6.565E-05
b	1.0E-05	-0.070593	0.0111599
c	0.4	0.0902667	0.0256436

Nonlinear regression settings

Max # iterations = 64

Precision

R ²	0.90305
R ² adj	0.8771967
Rmsd	9.557E-05
Variance	2.435E-07

General

Sample size	20
Model vars	5
Indep vars	3
Iterations	41

Source data points and calculated data points

	GE	CME	CH20	dHFA	dHFA calc	Delta dHFA
1	.186241248	.010124573	.256120174	.0041472	0.0036881	0.0004591
2	.184326285	.047332991	.23078056	.0037318	0.0038524	-0.0001206
3	.176698834	.056749632	.152326034	.0033466	0.0034627	-0.0001161
4	.173435924	.07222822	.246636698	.0029904	0.0031936	-0.0002032
5	.155066356	.065504947	.109167184	.0026616	0.0022364	0.0004252
6	.150812334	.06084525	.139291093	.0023591	0.0019393	0.0004198
7	.150211011	.09962187	.24268995	.0020816	0.0018722	0.0002094
8	.145590134	.062350538	.296374434	.0012889	0.001505	-0.0002161
9	.140110301	.086196106	.39062551	.0008724	0.0012139	-0.0003415
10	.122282389	.071397142	.36034034	.0005611	0.0003451	0.000216
11	.125593852	.077798746	.420323872	.000339	0.0004763	-0.0001373
12	.126075869	.065405637	.377817352	.0001911	0.0004921	-0.000301
13	.131764226	.065738092	.406423753	.00006423	0.0007451	-0.0006808
14	.131401767	.069834562	.455820903	.00008363	0.0007129	-0.0006293
15	.127327027	.078519883	.403497873	.0001705	0.0005667	-0.0003962
16	.119466432	.086839347	.447172947	.0002641	0.0002073	5.677E-05
17	.115671957	.077179347	.424828284	.0003213	3.567E-05	0.0002856
18	.115588833	.125099914	.570978436	.000116	4.983E-05	6.617E-05
19	.113761408	.141732009	.628120593	-.0002358	-2.616E-05	-0.0002096
20	.110820941	.162201775	.928297872	.0010175	-0.0002085	0.001226

2.3 ອຸປະກູນ 70°C ຂໍອັດຕາສ່ວນເຊີງໂນລຂອງ CPO:MeOH ເກົ້າກັນ 1:15

Model: $dFFA = K \cdot CF^a \cdot k_2 \cdot CME^b \cdot CH_2O^c$

Variable	Initial guess	Value	95% confidence
K	10.	0.1142982	9.764E-07
a	0.1	1.6205	4.181E-06
k2	0.1	0.0019902	3.629E-08
b	0.5	-0.1985344	6.56E-06
c	0.4	1.329767	3.485E-05

Nonlinear regression settings

Max # iterations = 64

Precision

R²	0.9911632
R²adj	0.9884441
Rmsd	3.807E-05
Variance	3.613E-08

General

Sample size	18
Model vars	5
Indep. vars	3
Iterations	41

Source data points and calculated data points

	CPO	CME	CH2O	dBEA	dBEA calc	Delta dBEA
1	.175766812	.010354573	.487120174	.0049214	0.0049357	-1.428E-05
2	.155720112	.047562991	.46178056	.0044848	0.0043095	0.0001753
3	.148092661	.056979632	.383326034	.0040773	0.0041926	-0.0001153
4	.144829752	.07245822	.477636698	.0036976	0.0037367	-3.911E-05
5	.126460184	.065734947	.340167184	.0033445	0.003192	0.0001525
6	.122206162	.06107525	.370291093	.0030167	0.0028652	0.0001515
7	.116983961	.062580538	.527374434	.0018255	0.0020579	-0.0002324
8	.111504128	.086426106	.62162551	.0013388	0.0015475	-0.0002087
9	.093676217	.081338945	.59134034	.0009572	0.0008349	0.0001223
10	.09088181	.0845367	.651323872	.0006657	0.0005077	0.000158
11	.094906622	.066605637	.608817352	.0004508	0.0007547	-0.0003039
12	.092785074	.04325987	.637423753	.0002005	0.0003858	-0.0001853
13	.082406754	.046860409	.678846903	.0001165	-0.0001817	0.0002982
14	.0839979	.079753883	.648373873	.0001247	0.0002165	-9.177E-05
15	.085152819	.088073347	.692048947	.0001674	0.0001346	3.277E-05
16	.083357109	.078413347	.669704284	.0002023	0.0001032	9.908E-05
17	.079792182	.139033914	.715854436	.00008028	1.176E-05	6.852E-05
18	.077543767	.236966009	.772996593	-.00009161	-6.718E-05	-2.443E-05

2.4 อุณหภูมิ 70°C อัตราส่วนเชิงโมลของ CPO:MeOH เท่ากับ 1:20

Model: $dFFA = K \cdot CF^a \cdot k_2 \cdot CME^b \cdot CH_2O^c$

Variable	Initial guess	Value	95% confidence
K	100.	0.0390245	0.0048016
a	1.	0.9632639	0.0758648
k ₂	0.01	0.0030361	0.0005157
b	0.5	-0.0693994	0.0482799
c	0.9	0.4248946	0.2247843

Nonlinear regression settings

Max # iterations = 64

Precision

R ²	0.985956
R ² adj	0.9819434
Rmsd	3.732E-05
Variance	3.592E-08

General

Sample size	19
Model vars	5
Indep vars	3
Iterations	61

Source data points and calculated data points

	CF	CME	CH2O	alpha	DERA calc	Delta dDEA
1	.175766812	.010354573	.610580174	.0039128	0.0039307	-1.788E-05
2	.155720112	.047562991	.58524056	.0036162	0.0035194	9.68E-05
3	.148092661	.056979632	.506786034	.0033375	0.0034243	-8.684E-05
4	.144829752	.07245822	.601096698	.0030763	0.0031334	-5.706E-05
5	.126460184	.065734947	.463627184	.0028316	0.0026789	0.0001527
6	.122206162	.06107525	.493751093	.002603	0.0024207	0.0001823
7	.116983961	.062580538	.650834434	.0017536	0.0018735	-0.0001199
8	.111504128	.086426106	.73285551	.0013941	0.0015633	-0.0001692
9	.093676217	.081338945	.70257034	.0011029	0.0008776	0.0002253
10	.09088181	.0845367	.762553872	.0008713	0.0006613	0.00021
11	.094906622	.066605637	.720047352	.0006912	0.0008515	-0.0001603
12	.092785074	.04325987	.748653753	.0004549	0.0006128	-0.0001579
13	.082406754	.046860409	.790076903	.0003389	0.0001278	0.0002111
14	.0839979	.079753883	.737753873	.0002962	0.0004103	-0.0001141
15	.085152819	.088073347	.781428947	.0002882	0.0004016	-0.0001134
16	.083357109	.078413347	.759084284	.0002846	0.0003414	-5.68E-05
17	.079792182	.139033914	.905234436	.0001226	7.945E-05	4.315E-05
18	.077543767	.236966009	.962376593	-.0002904	2.315E-05	-0.0003136
19	.069902672	.257435775	1.262553872	-.0004233	-0.0006753	0.000252

2.5 គ្មានអក្សរ 70°C អត្រាសំរាប់មិនលើខាង CPO:MeOH ទៅក្នុង 1:40

Model: dFFA = K*CF^a-k₂*CME^b*CH^c

Variable	Initial guess	Value	95% confidence
K	10.	0.0422987	7.359E-06
a	0.7	0.9363509	7.693E-05
k ₂	0.01	0.0008759	1.504E-06
b	0.5	0.1402425	0.0009262
c	1.	-8.335513	0.0266992

Nonlinear regression settings

Max # iterations = 64

Precision

R ²	0.976579
R ² adj	0.9698873
Rmsd	7.987E-05
Variance	1.645E-07

General

Sample size	19
Model vars	5
Indep vars	3
Iterations	47

Source data points and calculated data points

	CIE	CME	CH	dDEA	dDEA calc	Delta dDEA
1	.121409368	.01902345	1.134090174	.0065223	0.005697	0.0008253
2	.126299563	.070020388	1.10875056	.0060341	0.0058391	0.000195
3	.128883363	.124464051	1.030296034	.0055752	0.005701	-0.0001258
4	.11927342	.101892096	1.124606698	.0051444	0.0055373	-0.0003929
5	.118886953	.152606106	.987137184	.0047405	0.0050091	-0.0002686
6	.106505825	.150606106	1.017261093	.0043623	0.0046129	-0.0002506
7	.091228355	.13237432	1.12065995	.0040089	0.0042389	-0.00023
8	.059771616	.256736783	.995954434	.0029504	0.002276	0.0006744
9	.054291783	.198766106	1.07797551	.0023466	0.0023909	-4.428E-05
10	.039775334	.140098746	1.107673872	.0014537	0.0017822	-0.0003285
11	.032765765	.178945637	1.065167352	.0011372	0.0013162	-0.000179
12	.023008941	.142179345	1.093773753	.0007024	0.0009217	-0.0002193
13	.010507898	.159200409	1.135196903	.0004602	0.0003587	0.0001015
14	.002324818	.192093883	1.182873873	.0003376	-2.674E-05	0.0003643
15	.002306263	.200413347	1.226548947	.0002762	1.613E-05	0.0002601
16	.003983843	.209033648	1.204204284	.0002325	9.009E-05	0.0001424
17	.003509056	.215670339	1.250354436	-.000009528	0.000103	-0.0001125
18	.001260641	.321123782	1.307496593	-.0002548	1.629E-06	-0.0002564
19	.003132501	.472314524	1.607673872	.0006972	0.0001762	0.000521

2.6 ອຸລະກູນີ 60°C ອັດຮາສ່ວນເຊີງໂນລຂອງ CPO:MeOH ແກ້ວກັນ 1:40

Model: dFFA = K*CF^a-k2*CME^b*CH2O^c

Variable	Initial guess	Value	95% confidence
K	100.	0.0167966	8.133E-07
a	1.0E-06	1.000101	2.366E-05
k2	0.1	0.0004171	6.645E-08
b	1.	-0.0010227	7.482E-05
c	0.07	2.779822	0.0005967

Nonlinear regression settings

Max # iterations = 64

Precision

R ²	0.7637723
R ² adj	0.6910868
Rmsd	0.0001234
Variance	3.796E-07

General

Sample size	18
Model vars	5
Indep vars	3
Iterations	32

Source data points and calculated data points

	CR	CME	CH2O	dHfA	dHfA calc	Delta dHfA
1	.159550931	.00346345	1.088470174	.0031242	0.0021484	0.0009758
2	.164441126	.034460388	1.06313056	.0029404	0.0022654	0.000675
3	.167024926	.088904051	.984676034	.0027656	0.0024044	0.0003612
4	.157414983	.066332096	1.078986698	.0025995	0.0021269	0.0004726
5	.16371817	.095046106	.971641093	.002292	0.0023635	-7.145E-05
6	.1484407	.07681432	1.07503995	.0021501	0.0019815	0.0001686
7	.123153259	.189113458	1.091737033	.0020157	0.0015349	0.0004808
8	.116983961	.203286783	.939231034	.0017108	0.0016136	9.724E-05
9	.116058461	.086648746	1.050950472	.0010267	0.0014689	-0.0004422
10	.109048892	.125495637	1.008443952	.000863	0.0014034	-0.0005404
11	.099292068	.086456345	1.029417019	.0006114	0.0012142	-0.0006028
12	.095477911	.103477409	1.070840169	.000441	0.0010977	-0.0006567
13	.091663755	.136370883	1.118517139	.0003303	0.0009687	-0.0006384
14	.087849599	.144690347	1.162192213	.0002613	0.0008406	-0.0005793
15	.084035442	.153310648	1.158529927	.0002192	0.0007821	-0.0005629
16	.080221286	.160685839	1.204680079	.000153	0.0006459	-0.0004929
17	.07640713	.266139282	1.261822236	.0001018	0.0004859	-0.0003841
18	.072592973	.417330024	1.561999516	.0001857	-0.0002231	0.0004088

2.7 ឧបអ្នកនិ 80°C តួតរាស់នឹងពិសេសនៃ CPO:MeOH ពោកំណែ 1:40

Model: dFFA = K*CF^a-k2*CME^b*CH2O^c

Variable	Initial guess	Value	95% confidence
K	10.	0.0451768	1.124E-05
a	0.7	0.8329418	0.0001034
k2	0.1	0.0011375	2.138E-06
b	0.0011	0.2094981	0.0011429
c	0.008	-1.791999	0.008467

Nonlinear regression settings

Max # iterations = 64

Precision

R ²	0.9577785
R ² adj	0.9457152
Rmsd	0.0001311
Variance	4.433E-07

General

Sample size	19
Model vars	5
Indep. vars	3
Iterations	23

Source data points and calculated data points

	CF	CME	CH2O	dREA	dREA calc	Delta dREA
1	.113976526	.08236845	1.256435174	.0079033	0.0069533	0.00095
2	.107228781	.133365388	1.23109556	.0072151	0.0065205	0.0006946
3	.109812581	.187809051	1.152641034	.0065713	0.006554	1.728E-05
4	.100202638	.165237096	1.246951698	.0059699	0.006123	-0.0001531
5	.099816171	.185951106	1.109482184	.0054092	0.0059631	-0.0005539
6	.087435044	.173951106	1.139606093	.0048874	0.0053109	-0.0004235
7	.072157574	.15571932	1.24300495	.0044027	0.0045357	-0.000133
8	.046870133	.268018458	1.258591567	.0039535	0.0029589	0.0009946
9	.035221002	.140001346	1.179210045	.0021831	0.0022221	-3.899E-05
10	.01739309	.254914185	1.148924874	.0015542	0.0008801	0.0006741
11	.013694984	.120180877	1.166279697	.0006993	0.0007131	-1.378E-05
12	.00393816	.287299345	1.194886098	.0002515	-0.000188	0.0004395
13	.002102363	.204320409	1.236309248	.00007508	-0.0002916	0.0003667
14	.001932633	.237213883	1.283986218	.00005722	-0.0002896	0.0003469
15	.003841618	.245533347	1.327661292	.0001083	-7.053E-05	0.0001788
16	.001247229	.254153648	1.307316629	.0001615	-0.000356	0.0005175
17	.003628102	.219070339	1.353466781	.0000134	-6.205E-05	7.545E-05
18	.001249136	.324523782	1.410608938	-.0003041	-0.0003127	8.564E-06
19	.000407352	.495714524	1.710786217	.0011398	-0.0003073	0.0014471

ประวัติผู้เขียน

ชื่อ สกุล	นางสาวสุภาวดี เพ็งคง	
รหัสประจำตัวนักศึกษา	4812078	
วุฒิการศึกษา		
วุฒิ	ชื่อสถาบัน	ปีที่สำเร็จการศึกษา
วิศวกรรมศาสตรบัณฑิต (วิศวกรรมเคมี)	มหาวิทยาลัยสงขลานครินทร์	2548

ทุนการศึกษา (ที่ได้รับในระหว่างการศึกษา)

1. ทุนคิมย์กันกูญี ภาควิชาวิศวกรรมเคมี คณะวิศวกรรมศาสตร์ มหาวิทยาลัยสงขลานครินทร์
2. ทุนพัฒนาบุคลากร ในระดับปริญญาโท
3. ทุนผู้ช่วยวิจัย ศูนย์เทคโนโลยีโลหะและวัสดุแห่งชาติ (National Metal and Materials Technology Center, MTEC)

การตีพิมพ์เผยแพร่ผลงาน

Supawadee Pengkong, Sukritthira B. Ratanawilai, Pakamas Jetapatananon, Chakrit Thongurai.
 2006. Feasibility of Using Phosphotungstic Acid Catalyst in Esterification for Biodiesel. Proceedings of the 13th Regional Symposium on Chemical Engineering 2006 (RSCE 2006), Nanyang Technological University, Singapore, Dec 4-5, 2006, 122-123.



► DISCUSS SCIENCE

► EXCHANGE OF IDEAS

► NETWORKING

O RSCE

O SINGAPORE

O 2008

CONFERENCE & EXHIBITION

ADVANCED POLYMER TECHNOLOGY

RSCE

ADVANCES IN CHEMICAL AND BIOMOLECULAR ENGINEERING

3 – 5 DECEMBER 2008

NANYANG TECHNOLOGICAL UNIVERSITY

Book of Abstracts

- Nanotechnology
- Energy & Environmental Technology
- Petrochemicals
- Food, Polymer, Fine Chemicals and Pharmaceuticals
- Biochemical Engineering
- Novel Materials Chemical Analysis Techniques
- Molecular Modelling and Simulation
- Chemical Engineering Fundamentals
- Chemical and Biomolecular Engineering Education

Organized by



NANYANG
TECHNOLOGICAL
UNIVERSITY

School of Chemical & Biomedical Engineering



Sponsored By



Pfizer Asia Pacific Pte Ltd



Merck Sharp & Dohme (Singapore) Ltd



Teltec Semiconductor Pacific (S)
Pte Ltd



Techcomp (Singapore) Pte Ltd



Quantachrome Instruments



Bruker Singapore

Supported By



Feasibility of Using Phosphotungstic Acid Catalyst in Esterification for Biodiesel

Supawadee Pengkong*, Sukritthira B. Ratanawilai, Pakamas Jetapatananon,
Chakrit Thongurai.

Department of Chemical Engineering, Faculty of Engineering,
Prince of Songkla University, Songkhla Thailand 90112

*Email: s4812078@psu.ac.th

Abstract

Esterification of crude palm oil having high amount of free fatty acid (FFA) with methanol has been studied in a heterogeneous solid-liquid reaction system using Al_2O_3 supported phosphotungstic acid (HPW) catalyst. The FFA content in crude palm oil is reduced from 13% to less than 1% by esterification process. The catalysts were characterized by XRD and FT-IR. The optimum operating conditions for esterification including amount of catalyst and % by weight of HPW on Al_2O_3 have been investigated while the molar ratio of crude palm oil to methanol and temperature were held constant. From the results, 4 g of catalyst with 30% HPW/ Al_2O_3 gave the highest FFA conversion.

Key words: esterification; biodiesel; phosphotungstic acid catalyst; feasibility.

Objective

To study the feasibility of esterification of crude palm oil with methanol using Al_2O_3 supported phosphotungstic acid catalyst.

Experimental Procedures

Experiments were conducted in laboratory scale which consisted of 250 ml screw-capped bottles and oil bath for temperature control. The production of biodiesel has been studied in heterogeneous solid-liquid reaction system using Al_2O_3 supported phosphotungstic acid (HPW) catalyst with different amount of catalyst of 2, 4, 6 and 8 g and % by weight of HPW on Al_2O_3 is 5, 10, 15, 20 and 30% HPW/ Al_2O_3 . The catalysts were prepared by suspending dried phosphotungstic acid powder in water support on Al_2O_3 and dried at 70 °C for 24 h. The catalysts were characterized by XRD and FT-IR. Crude palm oil-to-methanol molar ratio was studied at 1:40 and temperature held constant at 70 °C. The rotational speed of the stirrer was set at 350 rpm. The reaction mixtures contain crude palm oil (25 g), methanol and catalyst. Samples were drawn at pre-specified time intervals. Approximately 15 samples were collected during the course of each reaction (60 min). Samples were taken at 1 min and 2 min intervals, early in the reaction, and at 5 to 10 min intervals, later in the reaction. Reaction mixtures were quenched in a beaker filled with iced water. The samples were washed by water and then the percent conversion of FFA was determined by Thin Layer Chromatography (TLC).

Results and discussion

The physico-chemical properties of the catalysts were studied by the combination of XRD and FTIR spectroscopy. XRD patterns of bulk and supported HPW are shown in Fig. 1. The chromatogram of HPW is presented between 5-35 degrees. It can be seen that the HPW chromatogram of each percentage Al_2O_3 supported HPW and pure HPW are similar. The peak of 30% HPW/ Al_2O_3 chromatogram is higher than other percentages of HPW supported on Al_2O_3 which confirms our preparation. Fig. 2 shows the spectra of the sample in the region 1200-600 cm^{-1} . Bands observed at 1080, 985, 891 and 800 cm^{-1} , which are the fingerprint of the keggin structure of HPW are usually assigned to ν_{as} (P-O), ν_{as} (W=O), ν_{as} (W-O_b-W) in corner shared octahedral and ν_{as} (W-O_c-W) in edge shared octahedral respectively. These characteristic bands are regarded as experimental evidences for the existence of HPW molecules or molecular fraction such as phosphorous oxide and/or tungstate ions. There spectra are significantly different from each other, stronger characteristic peak (W=O and

W-O_c-W) of the 30% HPW/Al₂O₃ (e) indicate that the keggin structure is more retained than other sample.

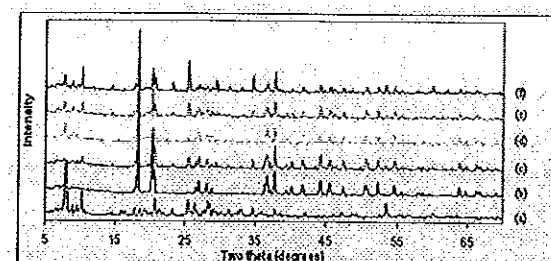


Fig. 1 Powder X-ray diffraction patterns of Pure HPW (a), 5% HPW/Al₂O₃ (b), 10% HPW/Al₂O₃ (c), 15% HPW/Al₂O₃ (d), 20% HPW/Al₂O₃ (e) and 30% HPW/Al₂O₃ (f)

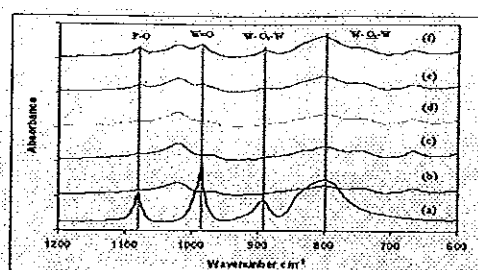


Fig. 2 Powder X-ray diffraction patterns of Pure HPW (a), 5% HPW/Al₂O₃ (b), 10% HPW/Al₂O₃ (c), 15% HPW/Al₂O₃ (d), 20% HPW/Al₂O₃ (e) and 30% HPW/Al₂O₃ (f)

Each sample taken from the reaction was analyzed for 3 times. From Fig. 3, the highest conversion of FFA (97%), was obtained with 4 g of catalyst at reaction time of 15 minutes. From Fig. 4 at 30% HPW/Al₂O₃ % conversion of FFA was highest due to at 30% HPW/Al₂O₃ had HPW more retained than other sample. However, more experiments with longer reaction times should be carried out increase to obtain equilibrium stage of the reaction.

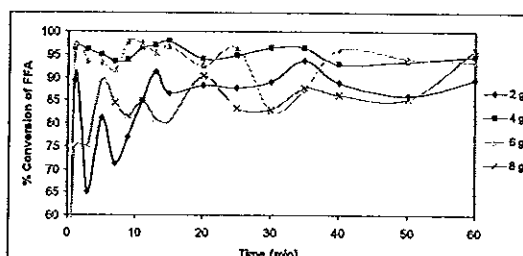


Fig. 3 The average FFA conversion from 3 replications and reaction time for each amount of catalyst at 15% HPW/Al₂O₃.

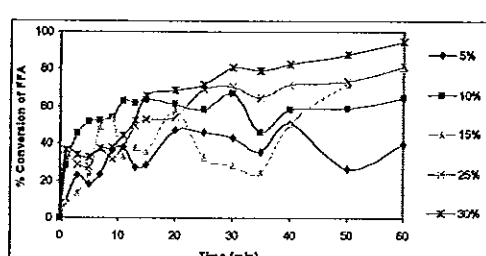


Fig. 4 The average FFA conversion from 3 replications and reaction time for each % by weight of HPW on Al₂O₃ amount of catalyst at 4 g catalyst.

Conclusions

Esterification of crude palm oil with methanol using Al₂O₃ supported HPW can reduce the amount of FFA, which can be feedstock for biodiesel production. The 30% HPW/Al₂O₃ of 4 g gave the greatest FFA conversion at 60 minutes which will be further studied.

References

- [1]. Crabbe, E. et al. (2001). *Biodiesel production from crude palm oil and evaluation of butano extraction and fuel properties*. J. Pro. Biochem. 37, 65-71.
- [2]. Jaturong, J. et al. (2006). *Transesterification of crude palm kernel oil and crude coconut oil by different solid catalyst*. J.Chem. Eng. 116, 61-66.
- [3]. Lina Y. et al. (2005). *Direct synthesis, characterization and catalytic application of SBA-15 containing heteropolyacid H₃PW₁₂O₄₀*. J. Mol. Cat, 229, 199-205.
- [4]. Nouredin, H. and Zhu, D. (1997). *Kinetics of Transesterification of Soybean Oil*. J.Biocatalysis.74, 1457-1463.
- [5]. Shanmugam, S. Viswanathan, B. and Varadarajan ,T.K. (2004). *Esterification by solid acid catalysts—a comparison*. J. Mol. Cat, 223, 143-147 .
- [6]. Shashikant, V. and Hifjur, R. (2005). *Biodiesel production from mahua (*Madhuca indica*) oil Having high free fatty acids*. J. Biomass and Bioenergy. 28, 601-605.